



This is a digital copy of a book that was preserved for generations on library shelves before it was carefully scanned by Google as part of a project to make the world's books discoverable online.

It has survived long enough for the copyright to expire and the book to enter the public domain. A public domain book is one that was never subject to copyright or whose legal copyright term has expired. Whether a book is in the public domain may vary country to country. Public domain books are our gateways to the past, representing a wealth of history, culture and knowledge that's often difficult to discover.

Marks, notations and other marginalia present in the original volume will appear in this file - a reminder of this book's long journey from the publisher to a library and finally to you.

Usage guidelines

Google is proud to partner with libraries to digitize public domain materials and make them widely accessible. Public domain books belong to the public and we are merely their custodians. Nevertheless, this work is expensive, so in order to keep providing this resource, we have taken steps to prevent abuse by commercial parties, including placing technical restrictions on automated querying.

We also ask that you:

- + *Make non-commercial use of the files* We designed Google Book Search for use by individuals, and we request that you use these files for personal, non-commercial purposes.
- + *Refrain from automated querying* Do not send automated queries of any sort to Google's system: If you are conducting research on machine translation, optical character recognition or other areas where access to a large amount of text is helpful, please contact us. We encourage the use of public domain materials for these purposes and may be able to help.
- + *Maintain attribution* The Google "watermark" you see on each file is essential for informing people about this project and helping them find additional materials through Google Book Search. Please do not remove it.
- + *Keep it legal* Whatever your use, remember that you are responsible for ensuring that what you are doing is legal. Do not assume that just because we believe a book is in the public domain for users in the United States, that the work is also in the public domain for users in other countries. Whether a book is still in copyright varies from country to country, and we can't offer guidance on whether any specific use of any specific book is allowed. Please do not assume that a book's appearance in Google Book Search means it can be used in any manner anywhere in the world. Copyright infringement liability can be quite severe.

About Google Book Search

Google's mission is to organize the world's information and to make it universally accessible and useful. Google Book Search helps readers discover the world's books while helping authors and publishers reach new audiences. You can search through the full text of this book on the web at <http://books.google.com/>

LANE MEDICAL LIBRARY STANFORD



2 45 0179 5849

25

51

374

3-4

LANE

MEDICAL



LIBRARY

LEVI COOPER LANE FUND

PRESENTED TO

The New York Academy of Medicine.



By *Dr Wm. T. Bull*

Of 1892

LANE

MEDICAL



LIBRARY

LEVI COOPER LANE FUND

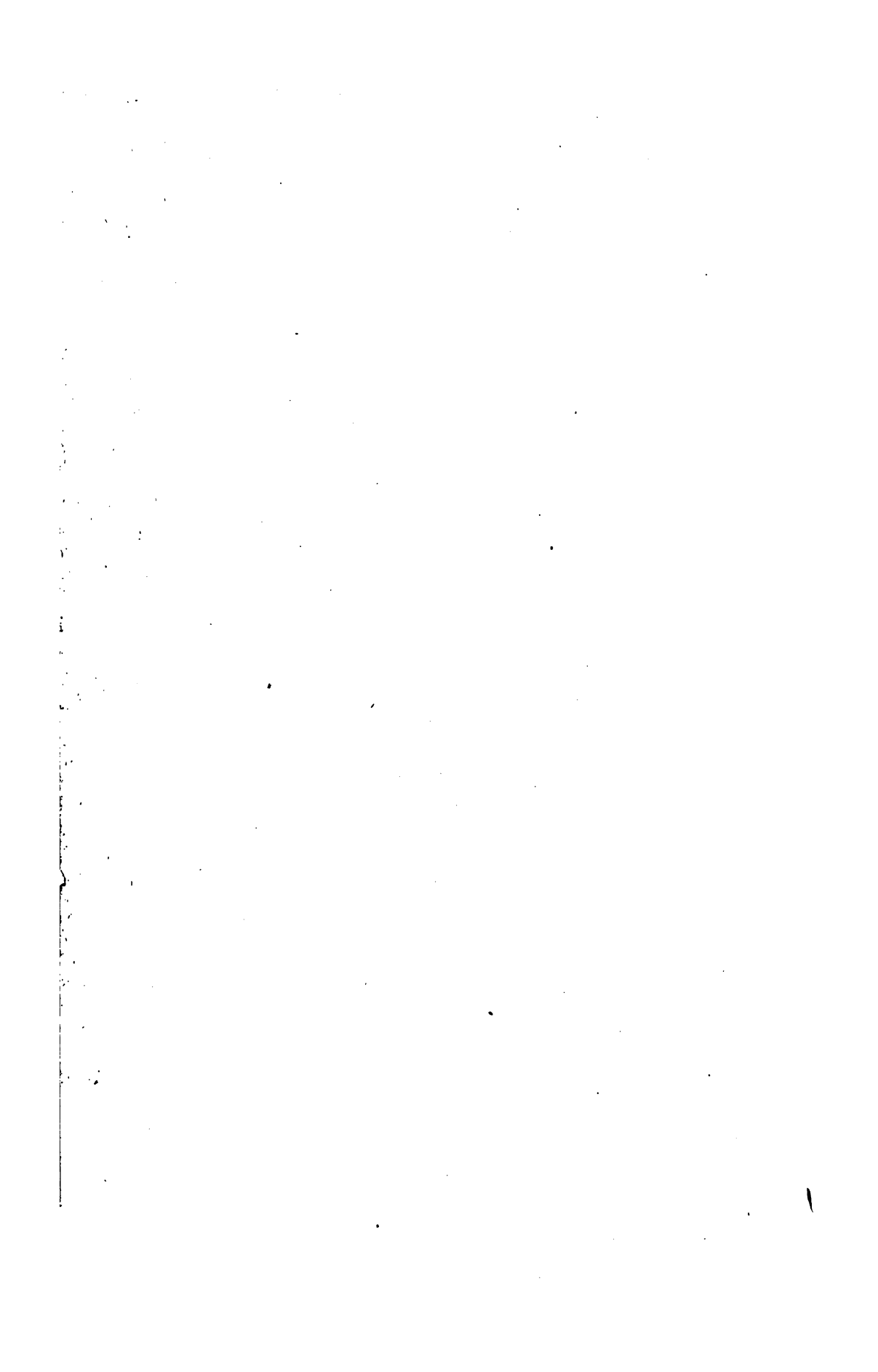
PRESENTED TO

The New York Academy of Medicine.



By *Dr Wm. T. Bull*

Of 1892



ANATOMISCHER
HAND - ATLAS

ZUM

GEBRAUCH IM SECIRSAAL

LANE LIBRARY
VON

DR. J. HENLE,
PROFESSOR IN GÖTTINGEN.



DRITTES HEFT:

MUSKELN.

BRAUNSCHWEIG,
DRUCK UND VERLAG VON FRIEDRICH VIEWEG UND SOHN.
1874.

VBA3711 3711

Die Herausgabe einer Uebersetzung in französischer und englischer Sprache,
sowie in anderen modernen Sprachen wird vorbehalten.

- ~ ~
1751
1874
v. 3-4

III.

MYOLOGISCHER THEIL.

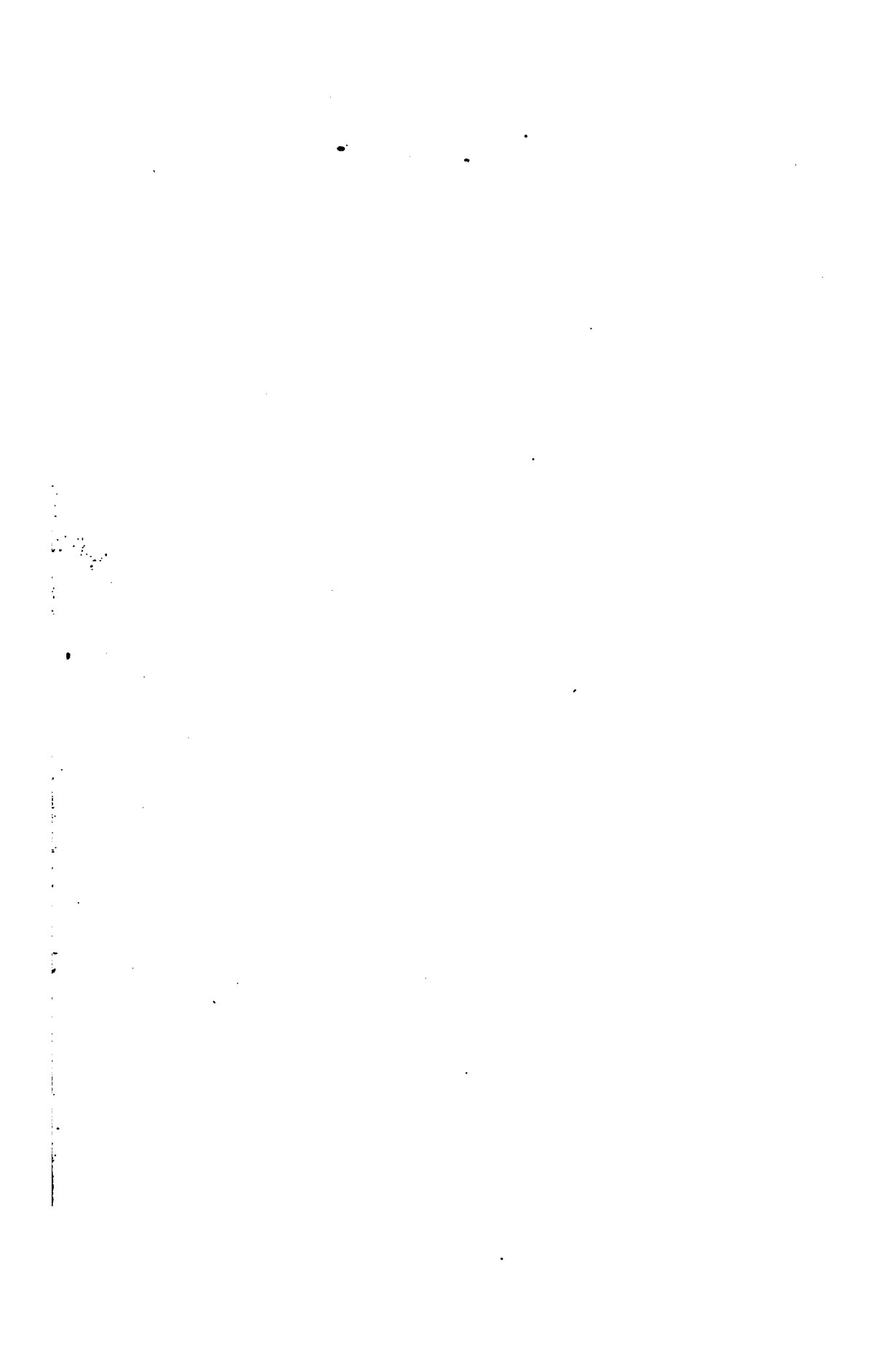


Fig. 1. Oberflächliche Rückenmuskeln. Erste Schichte. Der hintere Theil des *M. deltoideus* ist abgeschnitten.

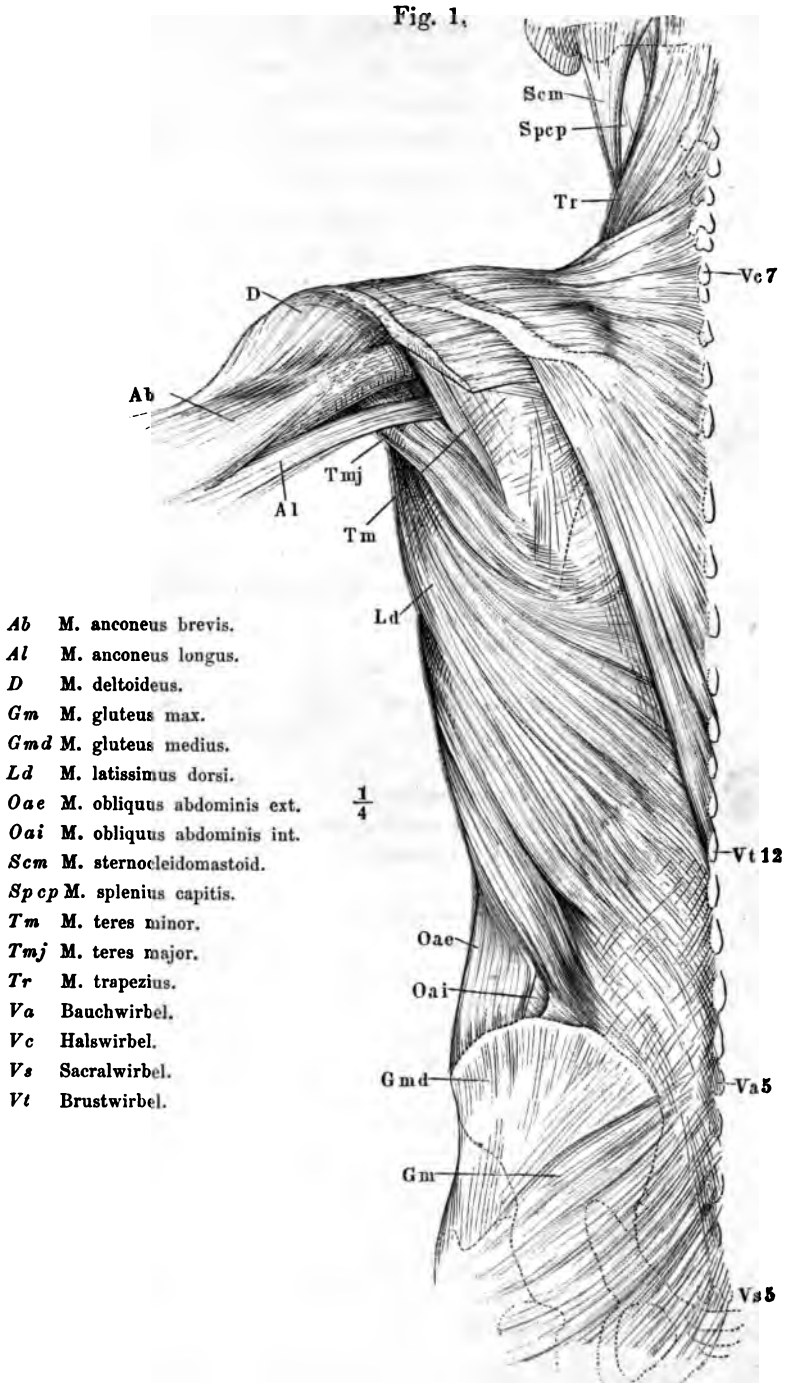


Fig. 1. Zweite Schichte der oberflächlichen Rückenmuskeln. *M. trapezius* bis auf die Insertion am Schultergürtel abgeschnitten. Vom *M. deltoideus* ein Stück ausgeschnitten. *M. latissimus dorsi* hinter der Spitze des Schulterblatts eine kurze Strecke vertical gespalten und die Ränder der Spalte nach unten umgeschlagen. Der Arm gehoben und stark medianwärts rotirt. Vom *M. anconeus long.* ist ein Stück, welches den *M. teres major* von hinten her deckt, entfernt.

Fig. 2. Dritte Schichte der oberflächlichen Rückenmuskeln. *Mm. trapezius* und *rhomboidei* am Ursprunge abgeschnitten und zurückgeschlagen. Die Rücken- und Rippenursprünge des *M. latiss. dorsi* ebenfalls am Ursprunge, *M. teres maj.* und *minor* an der Insertion abgeschnitten.

<i>Ab</i>	<i>M. anconeus brevis.</i>
<i>Ai</i>	<i>M. anconeus internus.</i>
<i>Al</i>	<i>M. anconeus longus. Al'</i> Ursprung desselben.
<i>Cb</i>	<i>M. coracobrachialis.</i>
<i>D</i>	<i>M. deltoideus.</i>
<i>Isp</i>	<i>M. infraspinatus.</i>
<i>Ld</i>	<i>M. latissimus dorsi, Ursprung v. d. Fascia lumbodorsalis; Ld', Ld'', Ld'''</i> Rippenursprünge.
<i>Le</i>	<i>M. levator scapulae.</i>
<i>Oae</i>	<i>M. obliquus abdominis ext.</i>
<i>Oai</i>	<i>M. obliquus abdominis int.</i>
<i>Rm</i>	<i>M. rhomboideus min.</i>
<i>Rmj</i>	<i>M. rhomboideus maj.</i>
<i>Sa</i>	<i>M. serratus ant.</i>
<i>Scm</i>	<i>M. sternocleidomastoid.</i>
<i>Scp</i>	<i>M. scalenus post.</i>
<i>Spcp</i>	<i>M. splenius capitis.</i>
<i>Spcv</i>	<i>M. splenius cervicis.</i>
<i>Sp_i</i>	<i>M. serrat. post. inf.</i>
<i>Sp_s</i>	<i>M. serrat. post. sup.</i>
<i>Ss</i>	<i>M. subscapularis.</i>
<i>Ssp</i>	<i>M. supraspinat.</i>
<i>Tm</i>	<i>M. teres minor.</i>
<i>Tmj</i>	<i>M. teres major.</i>
<i>Tr</i>	<i>M. trapezius.</i>
<i>Vc</i>	Halswirbel.
<i>Vt</i>	Brustwirbel.

Fig. 1.

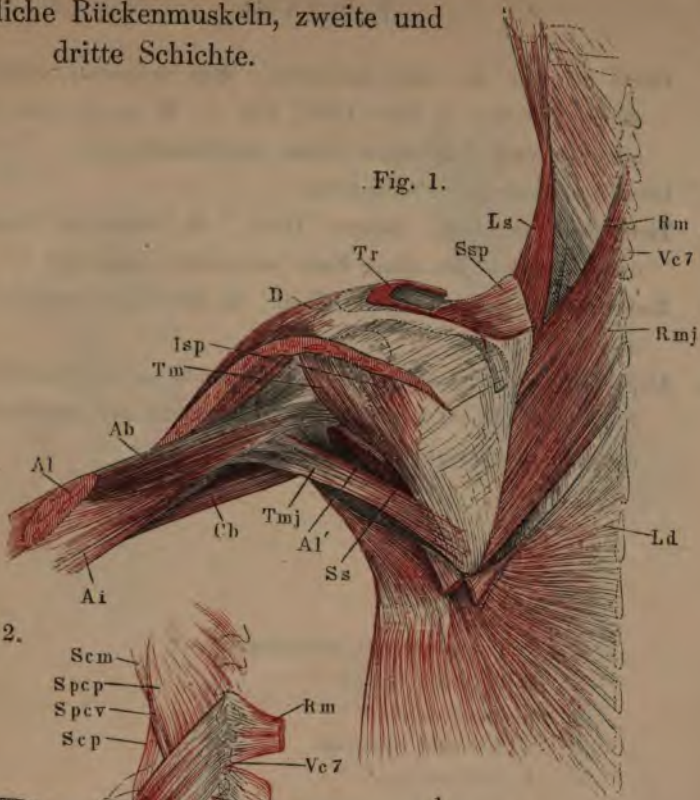
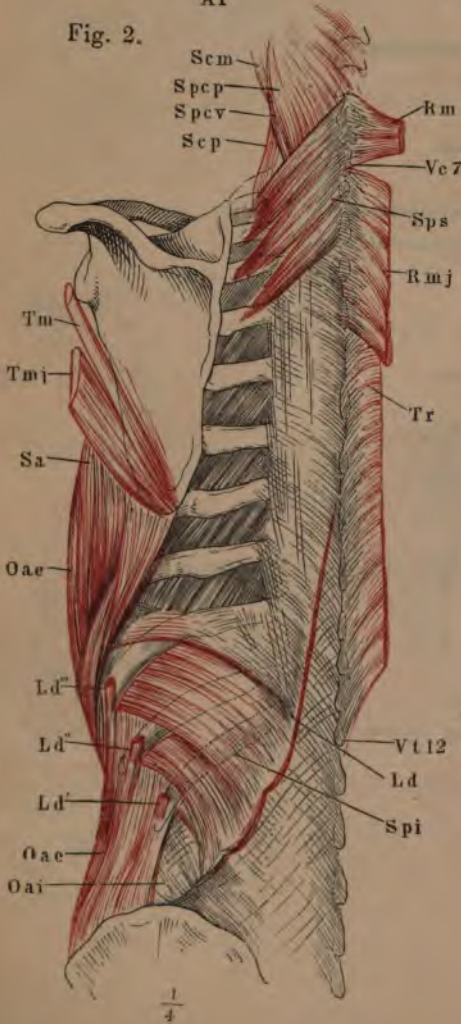


Fig. 2.



- Fig. 1. Vierte Schichte der Rückenmuskeln. *Mm. trapezius, latiss. dorsi* und *rhomboidei* wie in Tafel LVII, Fig. 2. *M. serrat. post. sup.* durchschnitten und nach beiden Seiten zurückgeschlagen.
- Fig. 2. Dieselben Muskeln. Profilansicht.
- Fig. 3. Tiefe Rückenmuskeln, unterer Theil. *M. iliocostalis lumborum* quer durchschnitten, das obere Ende lateralwärts umgelegt.
- Fig. 4. Tiefe Rückenmuskeln; oberer Theil. *M. iliocostalis cervicis*, lateralwärts umgelegt.
- Fig. 5. Doppelte Insertionsfascikel des *M. longissimus* an den Bauchwirbeln, durch Entfernung des *M. iliocostalis lumborum* und der oberflächlichen Muskelmasse des *Longissimus* freigelegt.

<i>Fld</i>	Fascia lumbodorsalis, zurückgeschlagen.
<i>Icc</i>	<i>M. iliocostalis cervicis.</i>
<i>Icd</i>	<i>M. iliocostalis dorsi.</i>
<i>Icl</i>	<i>M. iliocostalis lumborum.</i>
<i>Ld</i>	<i>M. latissimus dorsi.</i>
<i>Lgcp</i>	<i>M. longiss. capitis (trachelomastoideus).</i>
<i>Lgcv</i>	<i>M. longiss. cervicis (transversal. cerv.).</i>
<i>Lgd</i>	<i>M. longiss. dorsi.</i>
<i>Le</i>	<i>M. levator scapulae.</i>
<i>Mf</i>	<i>M. multifidus.</i>
<i>Oae</i>	<i>M. obliquus abdom. ext.</i>
<i>Rm</i>	<i>M. rhomboid. min.</i>
<i>Rmj</i>	<i>M. rhomboid. maj.</i>
<i>Scm</i>	<i>M. sternocleidomastoideus.</i>
<i>Scmd</i>	<i>M. scalenus medius.</i>
<i>Scp</i>	<i>M. scalenus post.</i>
<i>Scs</i>	<i>M. sacrospinalis. Scs* medialer, Scs** lateraler Theil desselben.</i>
<i>Spcp</i>	<i>M. splenius capitis.</i>
<i>Spcv</i>	<i>M. splenius cervicis.</i>
<i>Sp s</i>	<i>M. serratus post. sup.</i>
<i>Sscp</i>	<i>M. semispinalis capitis (biventer u. complexus).</i>
<i>Tr</i>	<i>M. trapezius.</i>
<i>Va</i>	Bauchwirbel.
<i>Vc</i>	Halswirbel.
<i>Vt</i>	Brustwirbel.

Fig. 1.

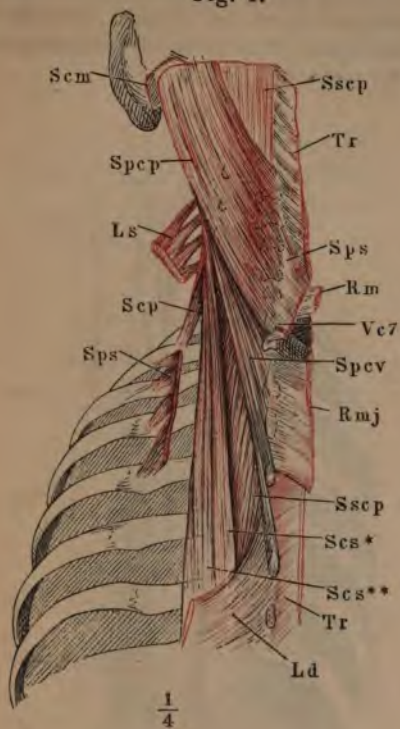


Fig. 2.

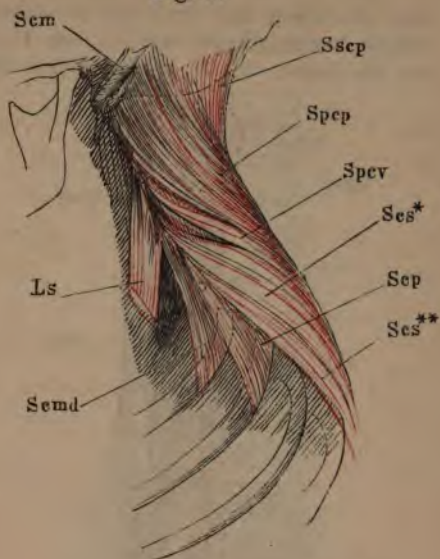


Fig. 3.

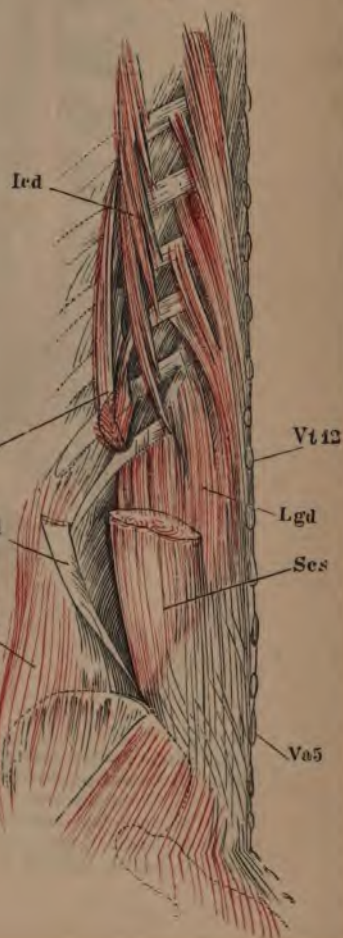


Fig. 4.

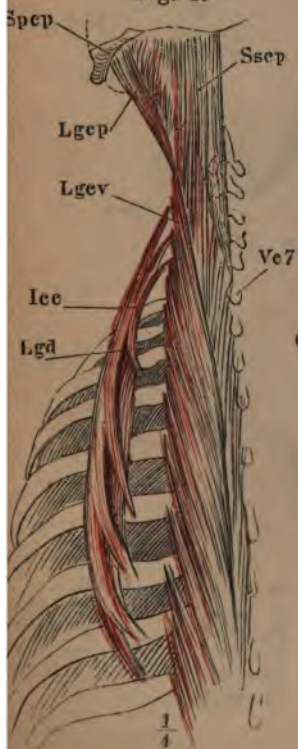


Fig. 5.

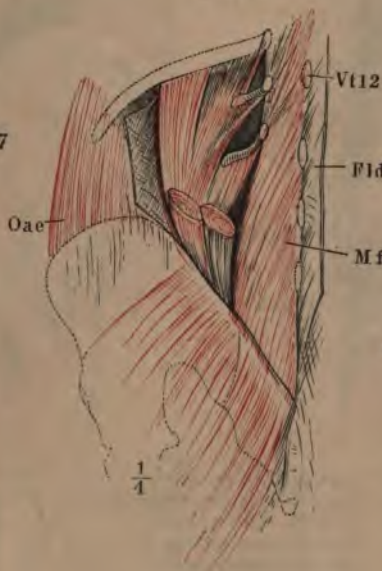
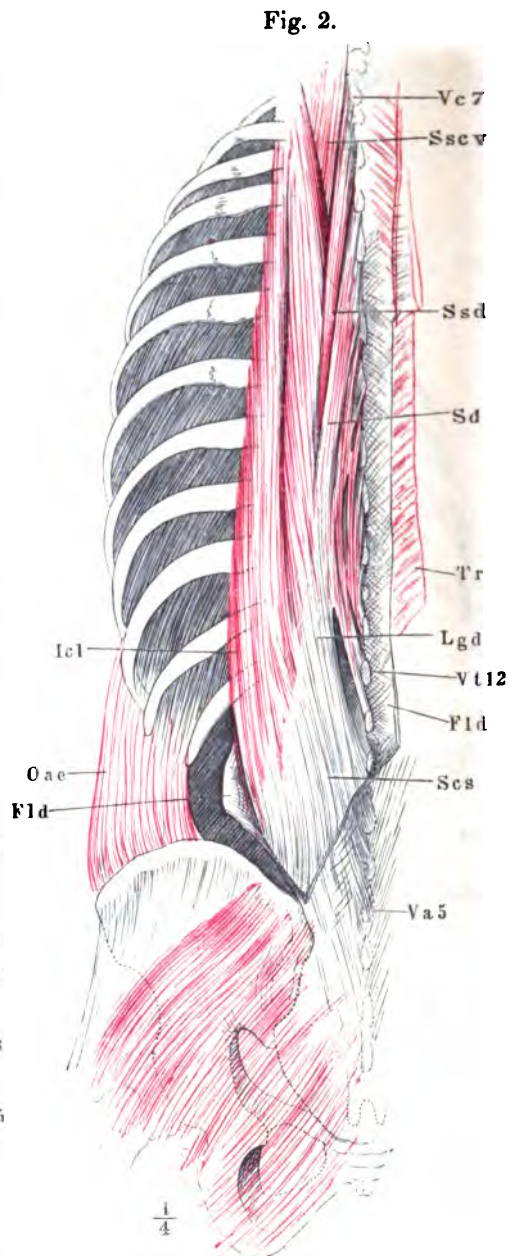
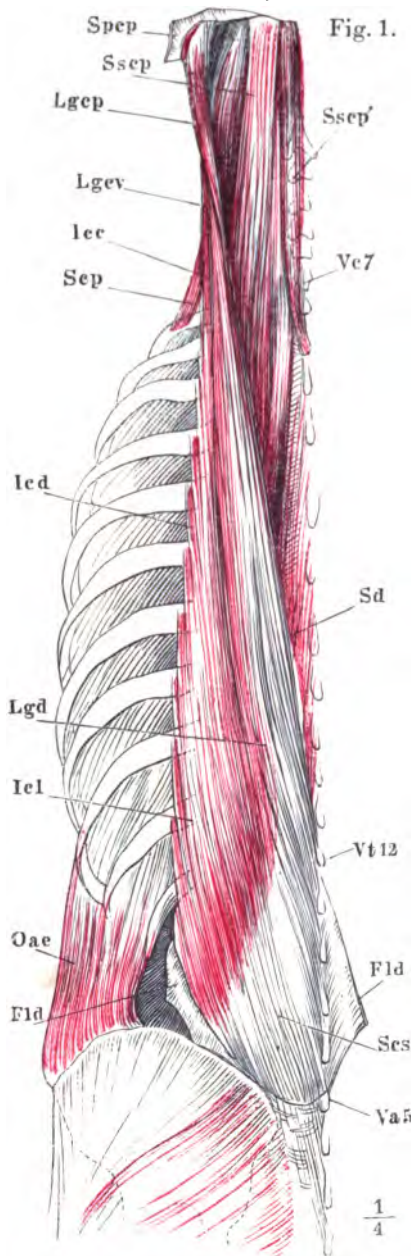


Fig. 1 Tiefe Rückenmuskeln; der untere Theil der Fascia lumbodorsalis vertical gespalten und nach beiden Seiten zurückgeschlagen. — Fig. 2. Dieselben. Fascia lumbodorsalis, wie in Fig. 1. *M. longissimus dorsi* seitwärts abgebogen, um die Zacken des *M. spinalis dorsi* sichtbar zu machen.



Fld Fascia lumbodorsalis.
Icc *M. iliocostalis cervicis*.
Icd *M. iliocostalis dorsi*.
Icl *M. iliocostalis lumborum*.
Lgcp *M. longiss. capitis*.
Lgev *M. longiss. cervicis*.

Lgd *M. longiss. dorsi*.
Oae *M. obliquus abdom. ext.*
Scp *M. scalenus post.*
Scs *M. sacrospinalis*.
Sd *M. spinalis dorsi*.
Spcp *M. splenius capitis*.
Sscp *M. semispinalis capitis*.

Sscv *M. semispinalis cervicis*.
Ssd *M. semispinalis dorsi*.
Tr *M. trapezius*.
Va Bauchwirbel.
Vc Halswirbel.
Vt Brustwirbel.

Fig. 1. Tiefe Rückenmuskeln. M. longissimus lateralwärts umgelegt, M. spinalis dorsi am Ursprung auf der Sehne des M. longissimus dorsi abgeschnitten.

Fig. 2. Tiefe Rückenmuskeln. M. iliocostalis medianwärts umgelegt, um dessen Rippen und Halswirbel-Insertionen zu zeigen.

Fig. 1.

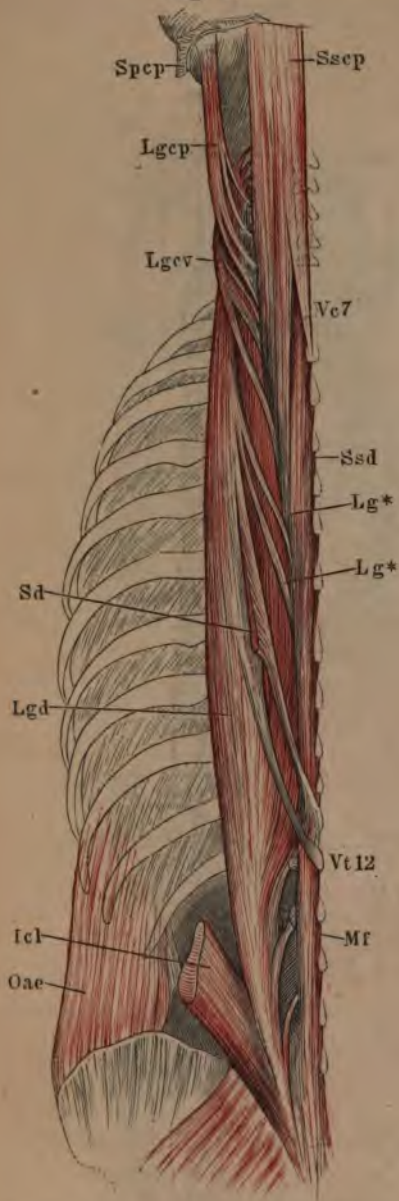
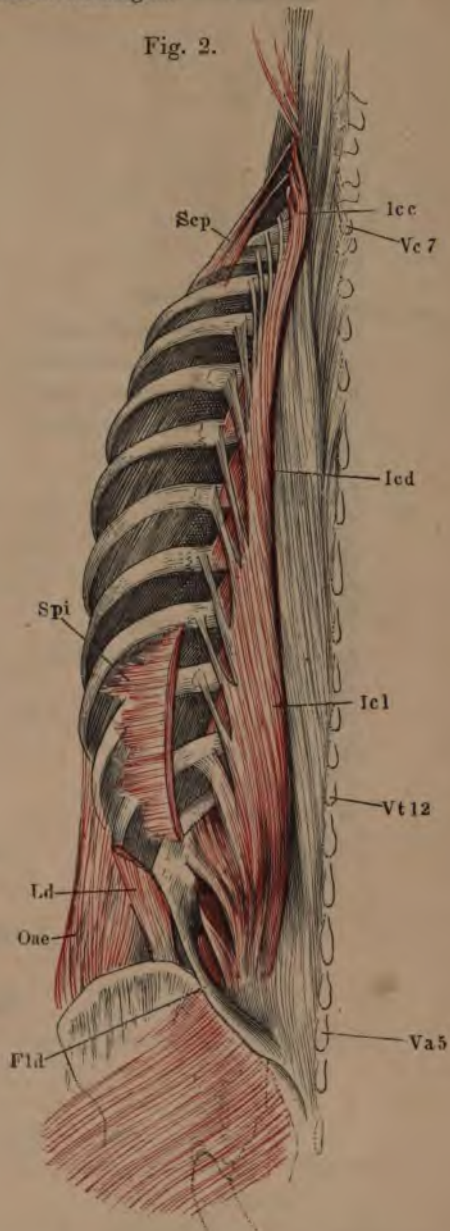


Fig. 2.



Fld Fascia lumbodorsalis.

Icc M. iliocostalis cervicis.

Icd M. iliocostalis dorsi.

Icl M. iliocostalis lumborum.

Ld M. latiss. dorsi.

Lg* Accessorische Ursprünge des M. longissimus.

Lgcp M. longiss. capitis.

Lgecv M. longiss. cervicis.

Lgd M. longiss. dorsi.

Mf M. multifidus.

Oae M. obliquus abdom. ext.

Sep M. scalenus posticus.

Sd M. spinalis dorsi.

Spcp M. splenius capitis, Insertion.

Spi M. serratus post. inf.

Sscp M. semispinalis capitis.

Ssd M. semispinalis dorsi.

Va Bauchwirbel.

Vc Halswirbel.

Vt Brustwirbel.

Fig. 1. Tiefe Rückenmuskeln nach Wegnahme des *M. sacrospinalis*. *M. semispinalis capitis* in der Nähe der Insertion quer durchschnitten und lateralwärts umgelegt,

Fig. 1.

- Fld* Fascia lumbodorsalis.
Itp1 *M. intertransversarius* post. lateralis (d. Bauchwirbel).
Itpm *M. intertransversarius* post. medialis (d. Bauchwirbel).
Lcb *M. levator costae brevis*.
Lcl *M. levator costae long.*
Lgd *M. longissimus dorsi*.
Mf *M. multifidus*.
Oae *M. obliquus abd. ext.*
Scv *M. spinalis cervicis*.
Sscp *M. semispinalis capitis (biventer u. complexus)*.
Sscv *M. semispinalis cervicis*.
Ssd *M. semispinalis dorsi*.
Vc Halswirbel.
Vt Brustwirbel.

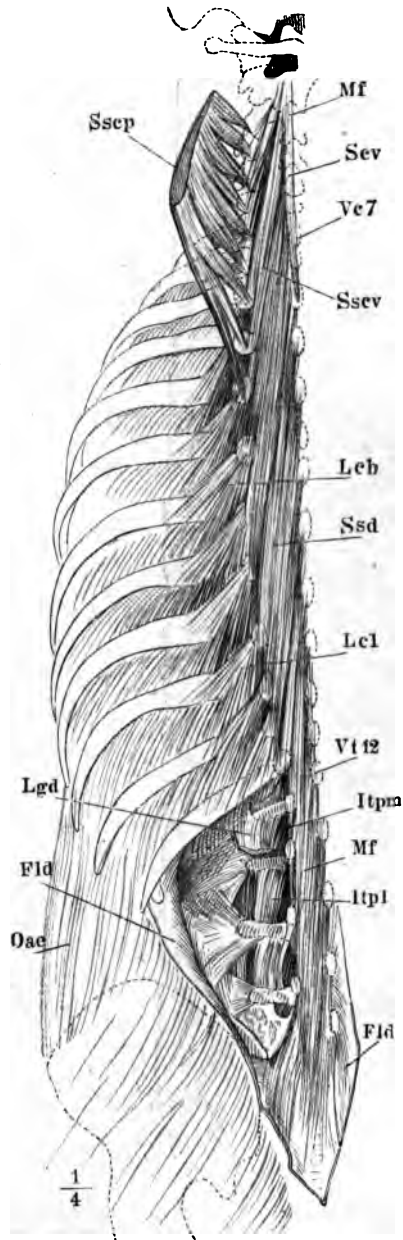


Fig. 1. Tiefste Schichte des *M. transversospinalis*.Fig. 2. Tiefe Rücken- und Nackenmuskeln, nach Entfernung der *Mm. sacrospinalis* und *semispinalis*.

Fig. 1.

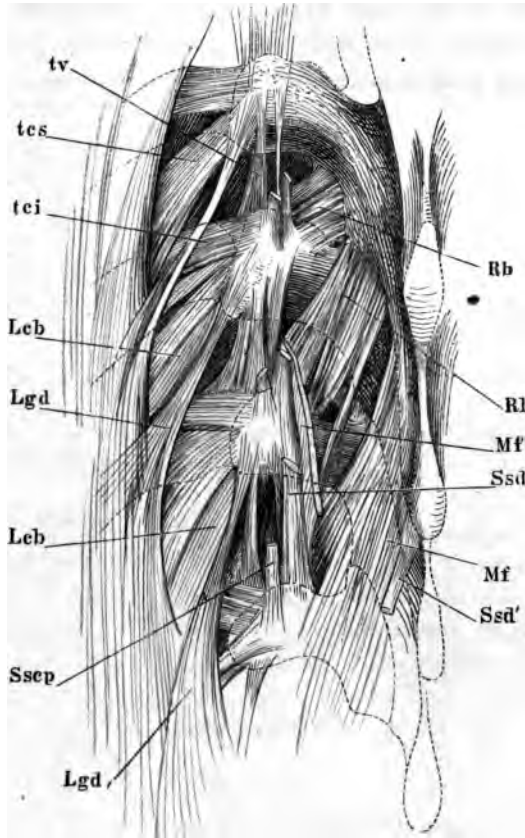
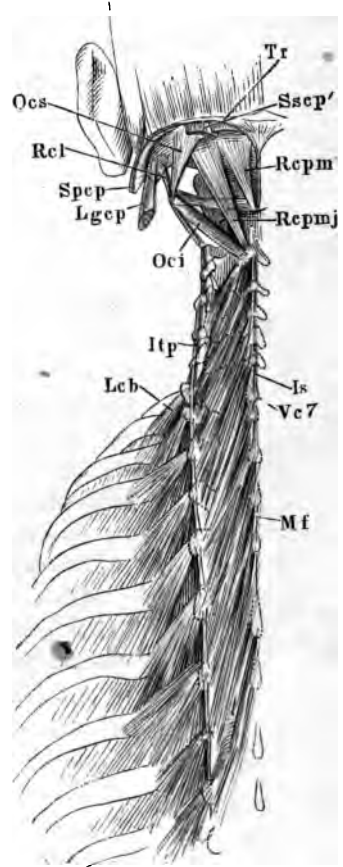


Fig. 2.

 $\frac{1}{4}$ *Is* *M. interspinalis*.*Itp* *M. intertransversarius* post. (der Halswirbel).*Lcb* *M. levator costae brevis*.*Lgcp* *M. longissimus capitis* (*trachelomastoideus*).*Lgd* *M. longissimus dorsi*.*Mf* *M. multifidus*. *Mf'* Abgeschnittener Ursprung desselben.*Oci* *M. obliquus capitis* inf.*Ocs* *M. obliquus capitis* sup.*Rb* *M. rotator dorsi brevis*.*Rcl* *M. rectus capitis lateralis*.*Rcpm* *M. rectus capitis posterior minor*.*Rcpmj* *M. rectus capitis posterior maj.**Rl* *M. rotator dorsi long.**Scv* *M. spinalis cervicis*.*Spcp* *M. splenius capitis*.*Sscp* *M. semispinalis capitis*, Ursprung. *Sscp'* derselbe, Insertion.*Ssd* *M. semispinalis dorsi*. *Ssd'* Insertionssehne desselben.*tci* *Lig. tuberculi costae* inf.*tcs* *Lig. tuberculi costae* sup.*Tr* Ursprung des *M. trapezius*.*tv* *Lig. tuberositatum vertebrae*.*Vc* Halswirbel.

- Fig. 1. Vordere Bauchwand von vorn, *M. obliquus abd. externus*. Samenstrang am Austritt aus der Bauchwand, Penis an der Wurzel abgeschnitten.
- Fig. 2. Bauchwand von vorn, das vordere Blatt der Scheide des *M. rectus abd.* durch einen Verticalschnitt geöffnet und nach beiden Seiten zurückgeschlagen.
- Fig. 3. Vordere Bauchwand, hintere Fläche, nach Entfernung des Peritoneum. Der Samenstrang beim Eintritt in die Bauchwand abgeschnitten, die Harnblase über dem untern Ende abgeschnitten und zurückgeschlagen.

-
- A* Adminiculum lineae albae.[•]
- Ci* Unterer Schenkel des Leistenrings.
- Co* Oberer Schenkel des Leistenrings.
- Ffi* Fibrae intercolumnares.
- iii* Lig. inguinale int. laterale.
- iim* Lig. inguinale int. mediale.
- Ld* *M. latissimus dorsi*.
- Lsp* Lig. suspensorium penis mediale.
- Oae* *M. obliquus abdominis ext.*
- Pmj** Fascikel des *M. pectoralis maj.*, welches in die Sehne des *M. obliquus abd. ext.* übergeht.
- Pa* Plica semilunaris fasciae transversalis.
- Pg* *M. pyramidalis*.
- Ra* *M. rectus abdominis*. *Ra*¹ Laterale, *Ra*² Mediale Sehne desselben.
- Sa* *M. serrat. ant.*
- Vra* Vorderes Blatt der Scheide des *M. rectus*.
- 1 Samenstrang.
- 2 Ursprung des Arcus tendineus der Beckenfascie (*Lig. puboprostaticum*).
- 3 Blase.
- * Den Hintergrund des Leistenrings umkleidende Portion des Lig. Gimbernati (*Lig. Gimbernati reflexum m.*)
- † Schnitttrand, an welchem der obere Schenkel des Leistenrings abgetrennt ist.

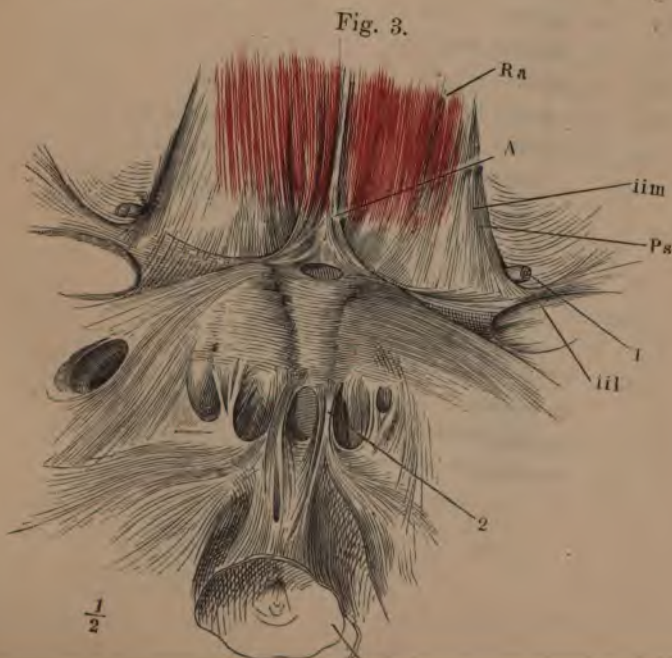
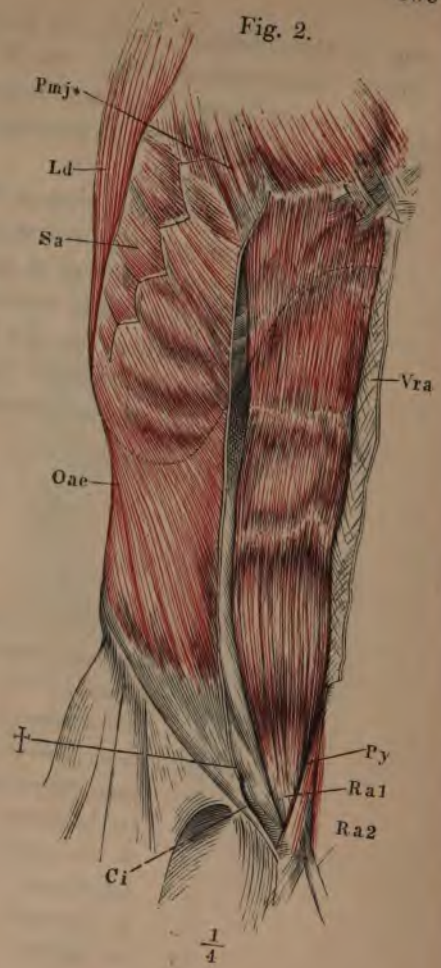
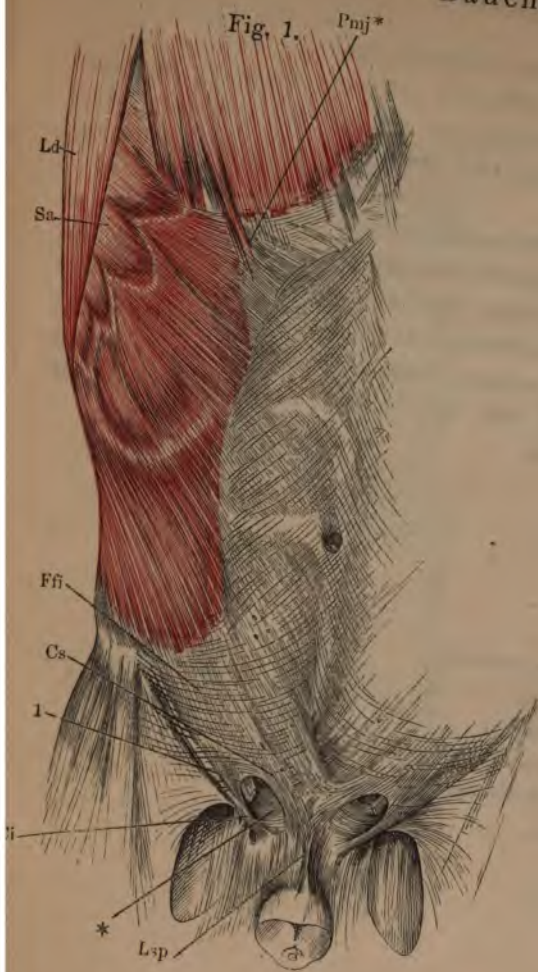


Fig. 1. Bauchwand im Profil. *M. obliquus abdominis ext.*

Fig. 2. Bauchwand im Profil. Der *M. obliq. abd. ext.* dicht unter den Rippenursprüngen, über dem Beckenursprunge und am Schenkelbogen abgeschnitten; der Beckenursprung nach unten umgeschlagen. *M. obliquus abdominis int.*

Fig. 3. Unterer Theil der vordern Bauchwand mit dem obern Theile des sanft gebeugten und auswärts gerollten Schenkels. Die oberflächliche Schenkelfascie über dem *M. sartorius* der Länge nach eingeschnitten und nach beiden Seiten zurückgeschlagen. Die Fascie des *M. iliopsoas* schräg eingeschnitten, um die Faserung dieses Muskels und den *N. cruralis* sichtbar zu machen. Die tiefe Schenkelfascie vom Ursprung des *M. pectineus* an abgeschnitten.

-
- Ac* Arcus cruralis (*Lig. Pouparti*).
Afl *M. adductor fem. long.*
Afm *M. adductor fem. magnus.*
Ci Unterer Schenkel des Leistenrings.
Cs Oberer Schenkel des Leistenrings.
Fld Fascia lumbodorsalis.
G *Lig. Gimbernati.*
Ie *M. intercostalis ext.*
ie *Lig. inguinale ext.*
Ii *M. intercostalis int.*
Ip *M. iliopsoas.*
Ld *M. latissimus dorsi.*
Nc *N. cruralis.*
Ncl *N. cutaneus lateralis (N. cut. ext.).*
Oae *M. obliquus abdom. ext. Oae** Zacke desselben vom *Lig. lumbodorsale. Oae†* Schnitttrand des *M. obliq. abdom. ext.* längs der Verbindung mit dem *M. obliq. abd. int.*
Pe *M. pectineus.*
Pmj *M. pectoralis major.*
Sa *M. serratus ant.*
Sar *M. sartorius.*
l Samenstrang.
*** Lateraler Rand der Scheide des *M. rectus.*
**** Knorpelstreif und *Inscriptio tendinea* des *M. obliq. abd. int.* in der Flucht der elften Rippe.

Fig. 1.

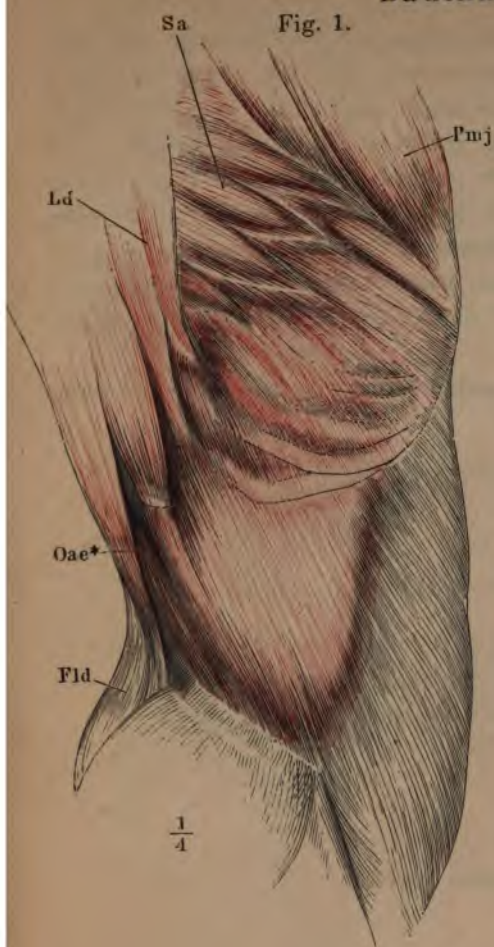


Fig. 2.

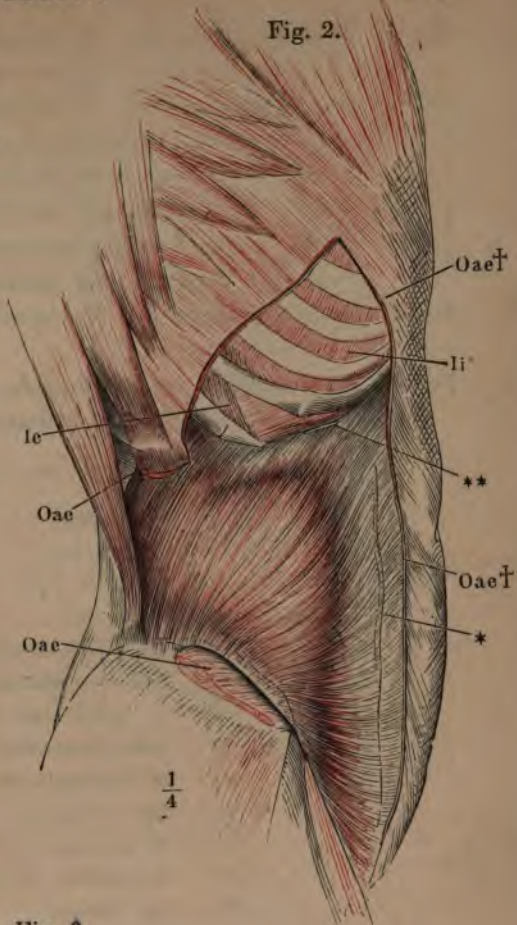
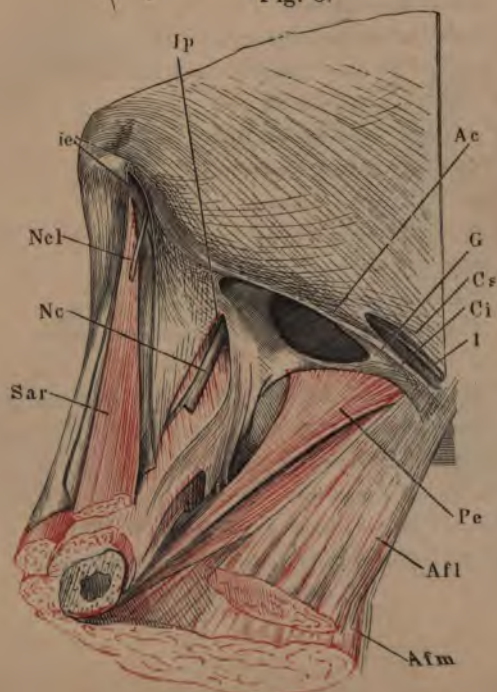


Fig. 3.



[illegible]

Fig. 1.

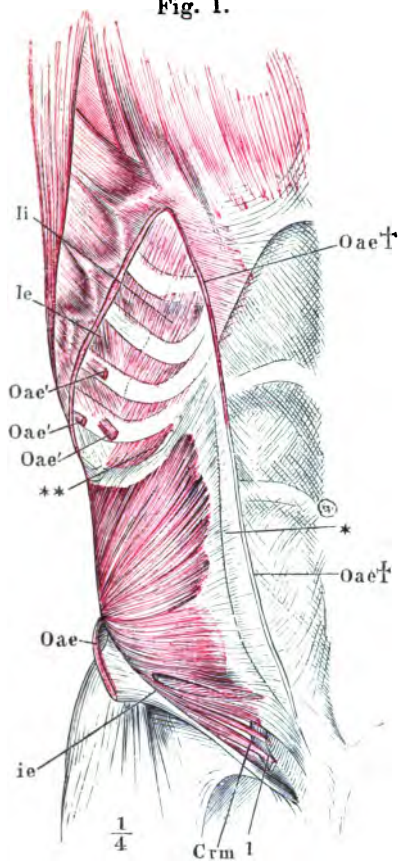


Fig. 2.

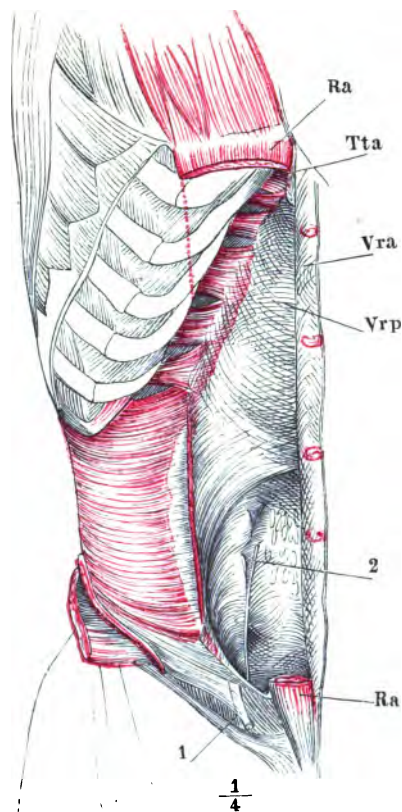


Fig. 3.

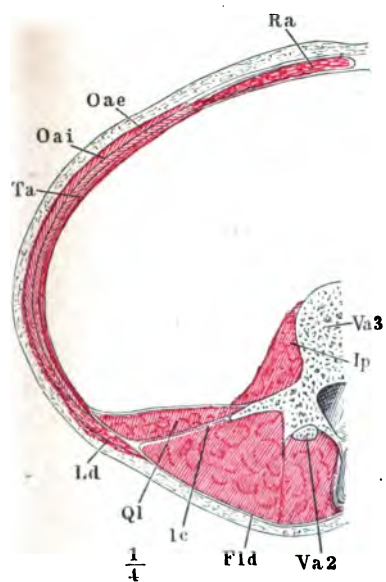
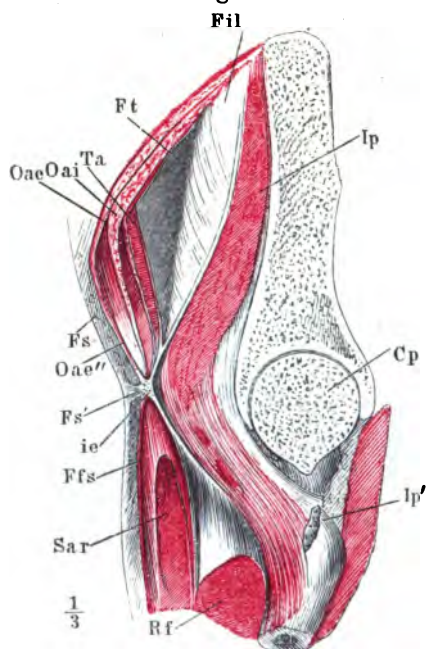


Fig. 4.



- Fig. 1. Vordere Brustwand, von der hintern Fläche, das Zwerchfell transversal durchschnitten und aufwärts geschlagen.
- Fig. 2. Sagittalschnitt der Brust- und Bauchhöhle und des Zwerchfells durch den Rand der zweiten Rippe rechterseits. 1 Lunge. 2 Leber. 3 Niere.
- Fig. 3. Zwerchfell von unten. 1 Hiatus caroticus. 2 Hiatus oesophageus. 3 For. venae cavae.

C Rippe.
Ta M. transv. abdominis.
Tta M. transv. thorac. ant. (*triangularis sterni*).
Ip M. iliopsoas.
Ql M. quadrat. lumborum.

Fig. 1.



Fig. 2.

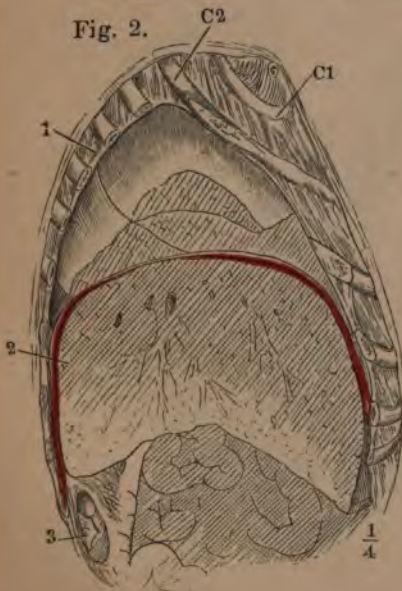


Fig. 3.

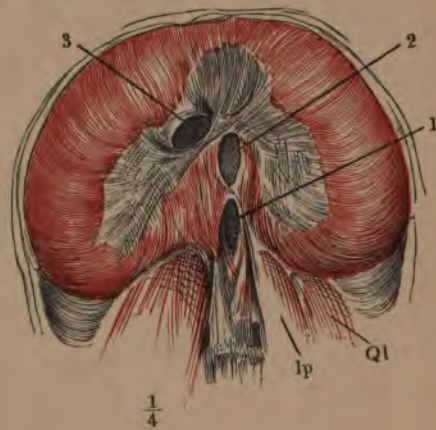


Fig. 1. Frontalschnitt der Brust- und Bauchhöhle und des Zwerchfells an d Spitze der zwölften Rippe. 1 Trachea, an der Theilungsstelle geöffn 2, 3 rechte und linke Lunge. 4 Hintere Wand des Pericardium n den einmündenden Lungenvenen. 5 V. cava inf. 6 Oesophagi 7 Magen, geöffnet. 8 Leber. 9 Milz im Durchschnitt. 10 Duod num. 11, 11 Durchschnitte des Colon transvers. 12, 12 Durchschnit einer Windung des Colon sinistr.

Fig. 2. Vertebraltheil des Zwerchfells; *a*, *b* linke und rechte mediale Zacke; *c*, rechte laterale Zacke; *e*, *f* Costaltheil, durch dessen Zacken die Pleura (sichtbar wird. 1 Hiatus caroticus. 2 Hiatus oesophageus. 3 Fc venae cavae.

C Rippe.

Ip, Ip Ursprungszacken des medialen Kopfs des
M. iliopsoas.

Psm M. psoas minor.

Ql M. quadrat. lumb.

Ta M. transversus abdominis.

Va Bauchwirbel.

Fig. 2.

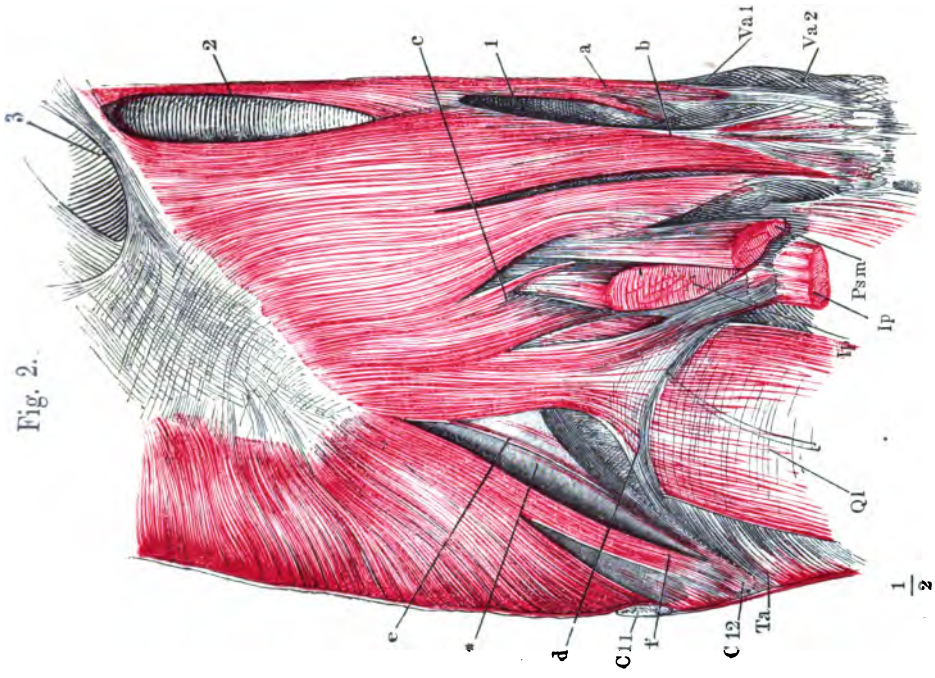
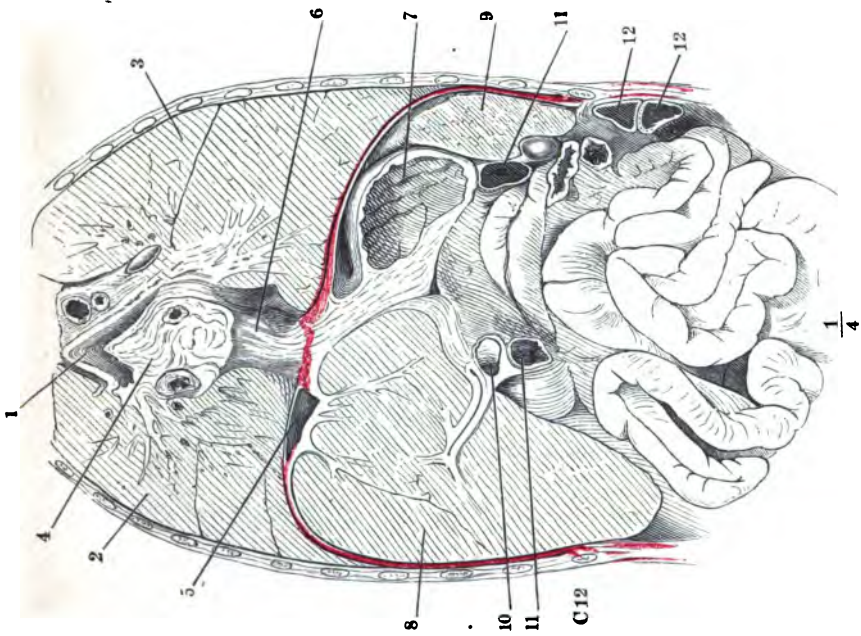


Fig. 1.



- Fig. 1. Oberflächliche Brustmuskeln, Profilsicht.
 Fig. 2. *M. pectoralis major*, von vorn.
 Fig. 3. Vordere Brustwand, nach Entfernung der vordern Hälfte des *M. deltoideus* und des *M. pectoralis maj.*
 Fig. 4. Schulterblatt mit den an demselben haftenden Muskeln, von vorn.

<i>Aac</i>	Articulatio acromio-clavicularis.
<i>ac</i>	Lig. acromio-claviculare.
<i>Bl</i>	Sehne des langen Kopfs des <i>M. biceps brachii</i> .
<i>D</i>	<i>M. deltoideus</i> .
<i>Ld</i>	<i>M. latissimus dorsi</i> .
<i>Ls</i>	<i>M. levator scapulae</i> , Insertion.
<i>Oae</i>	<i>M. obliquus abdominis ext.</i>
<i>Oh</i>	<i>M. omohyoideus</i> , Ursprung.
<i>Pc</i>	Processus coracoideus des Schulterblatts.
<i>Pm</i>	<i>M. pectoralis minor</i> .
<i>Pmj</i>	<i>M. pectoralis major</i> . <i>Pmj</i> ¹ Clavicularportion. <i>Pmj</i> ² oberflächliche, <i>Pmj</i> ³ tiefe Schichte der Sternocostalportion. <i>Pmj</i> * Zacke desselben, welche sich mit dem <i>M. obliquus abdominis ext.</i> verbindet.
<i>Rm</i>	<i>M. rhomboideus minor</i> , Insertion.
<i>Rmj</i>	<i>M. rhomboideus major</i> , Insertion.
<i>Sa</i>	<i>M. serratus anticus</i> , <i>Sa</i> ¹ obere, <i>Sa</i> ² mittlere, <i>Sa</i> ³ untere Abtheilung.
<i>Sc</i>	<i>M. subclavius</i> .
<i>Scm</i>	<i>M. sternocleidomastoideus</i> .
<i>Ss</i>	<i>M. subscapularis</i> .
<i>Tmj</i>	<i>M. teres major</i> , Ursprung.
<i>Tr</i>	<i>M. trapezius</i> .
<i>ts</i>	Ligamentum transversum scapulae proprium superius.
<i>1</i>	Bündel der Armgefäße und Nerven.
<i>*</i>	Gemeinsamer Ursprung des kurzen Kopfs des <i>M. biceps brachii</i> und des <i>M. coracobrachialis</i> .

Fig. 2.

Fig. 1.

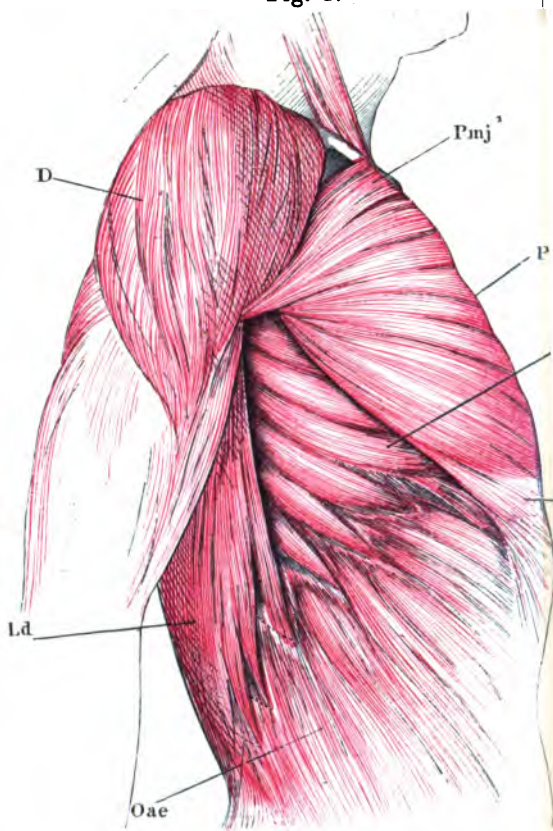
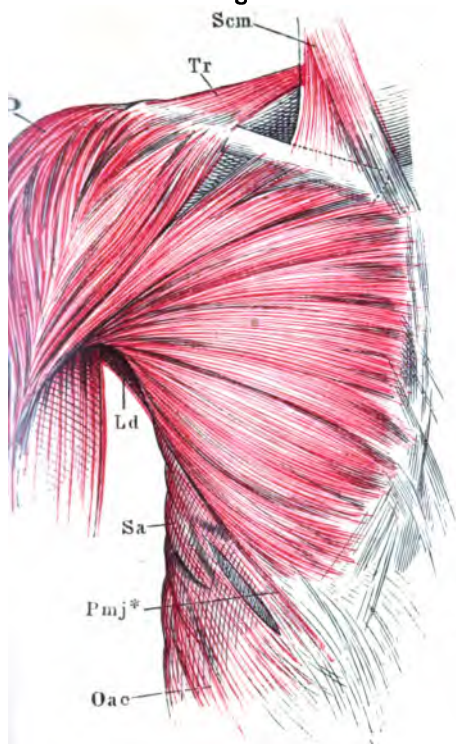


Fig. 3.

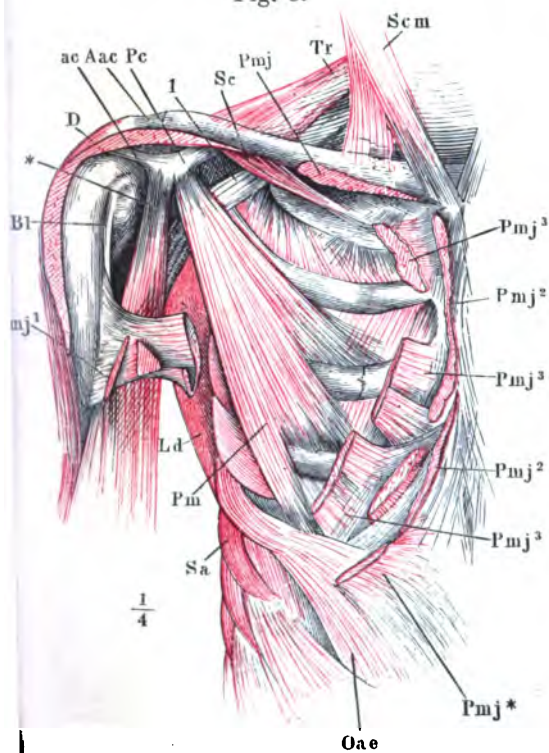
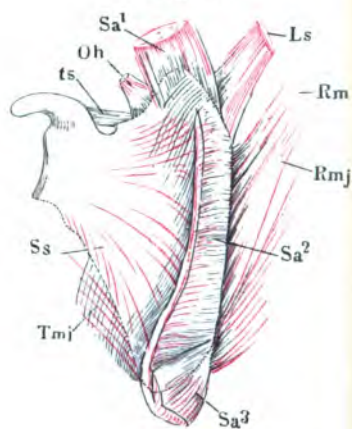


Fig. 4.



- Fig. 1. Vordere Brustwand, fast Profil. *M. serratus anticus*. Der *M. pectoralis major* ist völlig u. *M. pectoralis minor* bis auf die Ursprünge entfernt. Das Schlüsselbein ist durchsägt und das laterale Schnittende (*C*†) mit dem Schulterblatt seitwärts umgestülpt; die Rippenzacken des *M. latissimus dorsi* dicht am Ursprünge abgeschnitten.
- Fig. 2. Hintere Brustwand, von innen, nach Entfernung der Pleura. *M. transversus thoracis posterior*.
- Fig. 3. Vordere Brustwand, von innen. *M. transversus thoracis ant.*
- Fig. 4. (Nach Piragoff, Fasc. II. Taf. VI., Fig. 1) Horizontalschnitt des Brustkorbs in der Nähe des untern Randes des vierten Brustwirbelkörpers.

C Schlüsselbein.

*C*³, *C*⁴, *C*⁵ Dritte bis fünfte Rippe, Querschnitt.

Dp Zwerchfell, an den Ursprüngen von den Rippen und von der Sehne des *M. transversus abdominis* abgeschnitten.

I Intercostalmuskeln, im Querschnitt.

Ie *M. intercostalis externus*.

Ii *M. intercostalis internus*.

Isp *M. infraspinatus*.

Ld *M. latissimus dorsi*.

Ls *M. levator scapulae*.

Oae *M. obliquus abdominis ext.*

Oh *M. omohyoideus*.

Pm *M. pectoralis minor*. *Pm** Tiefe Zacke desselben.

Pmj *M. pectoralis major*.

Ql *M. quadratus lumborum*.

S Brustbein, Querschnitt.

S' Schulterblatt, Querschnitt.

Sa *M. serratus anticus*.

Scm *M. sternocleidomastoideus*.

Ss *M. subscapularis*.

Ssp *M. supraspinatus*.

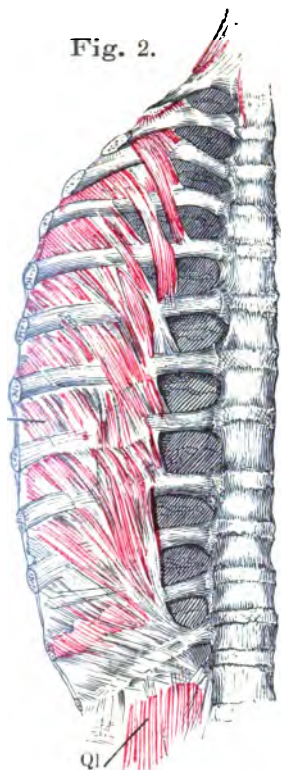
Ta *M. transversus abdominis*.

Tmj *M. teres major*.

ts Ligament. transversum scapulae propr. superius.

Vt Brustwirbel.

Fig. 2.



Oberflächl. u. tiefe
Brustmuskeln.

Fig. 1.

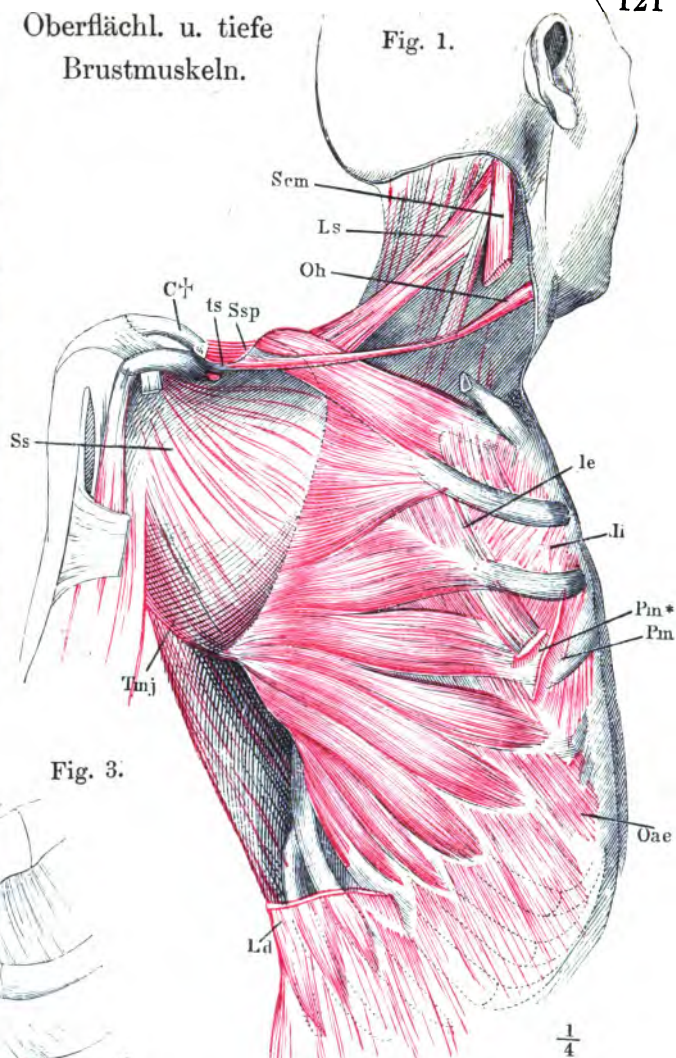


Fig. 3.

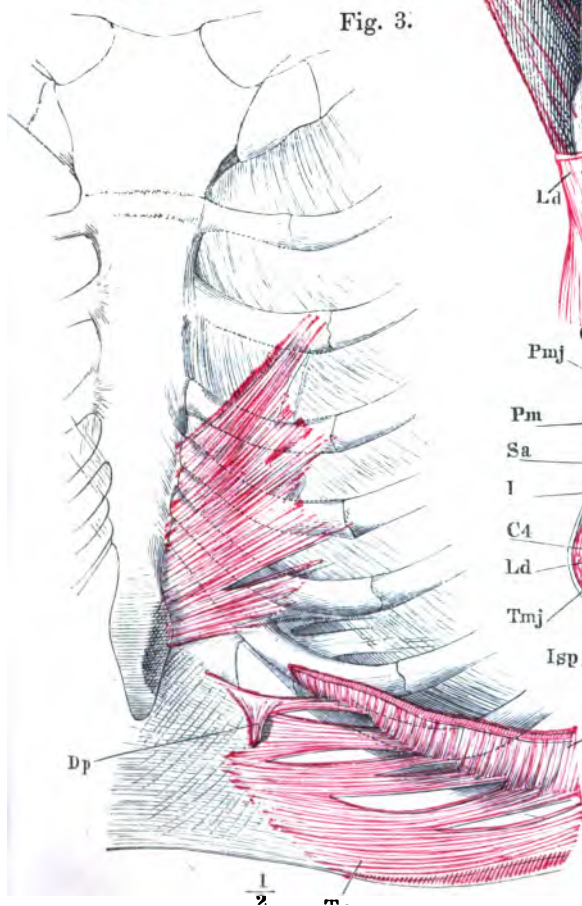


Fig. 4.

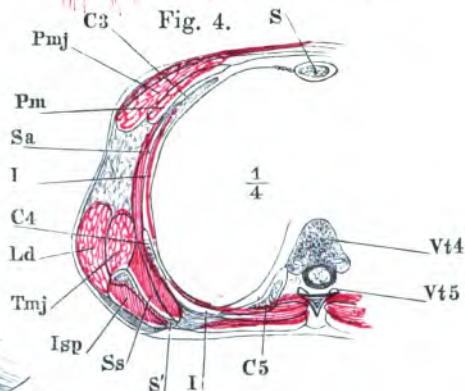


Fig. 1. M. subcutaneus colli, von vorn. — Fig. 2. Medianschnitt d. Unterkiefergegend

*Bm*² Vorderer Bauch des M. bi-
venter mandib. (*digastri-*
cus maxillae inferioris).

Gg M. genioglossus.

Gh M. geniohyoideus.

h Zungenbein.

Mh M. mylohyoideus.

R M. risorius.

Sec M. subcutaneus colli.

Scm M. sternocleidomastoideus.

Stnh M. sternohyoideus.

Trm M. triangularis (*menti*). *Trm'*
Vereinigung desselben mit
d. gleichnamigen Muskel d.
andern Seite unter d. Kinn.

Z M. zygomaticus (*z. major*).

1 Kehlkopf.

*** Bursa mucosa subhyoidea.

Fig. 1.

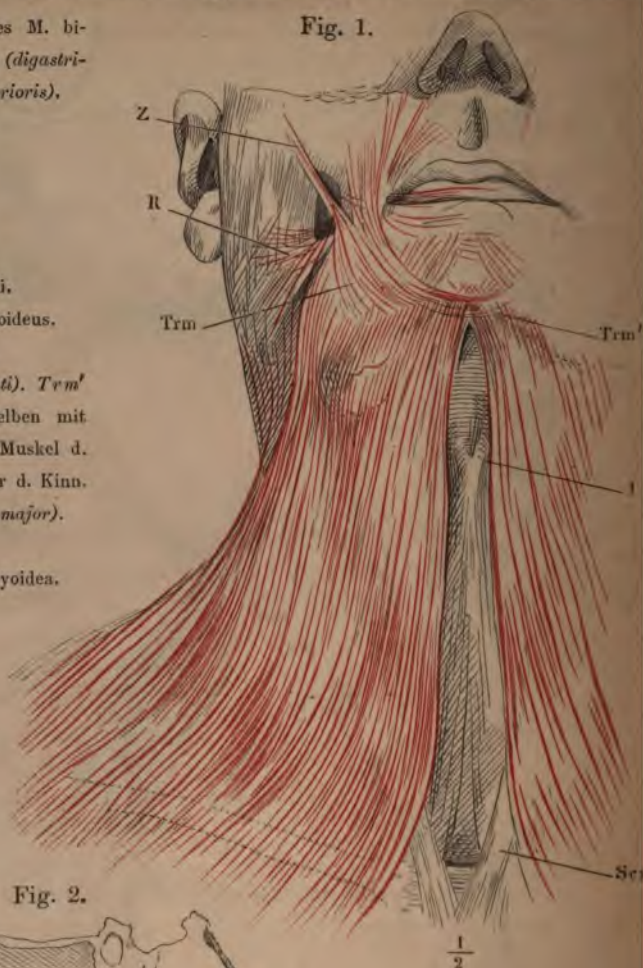


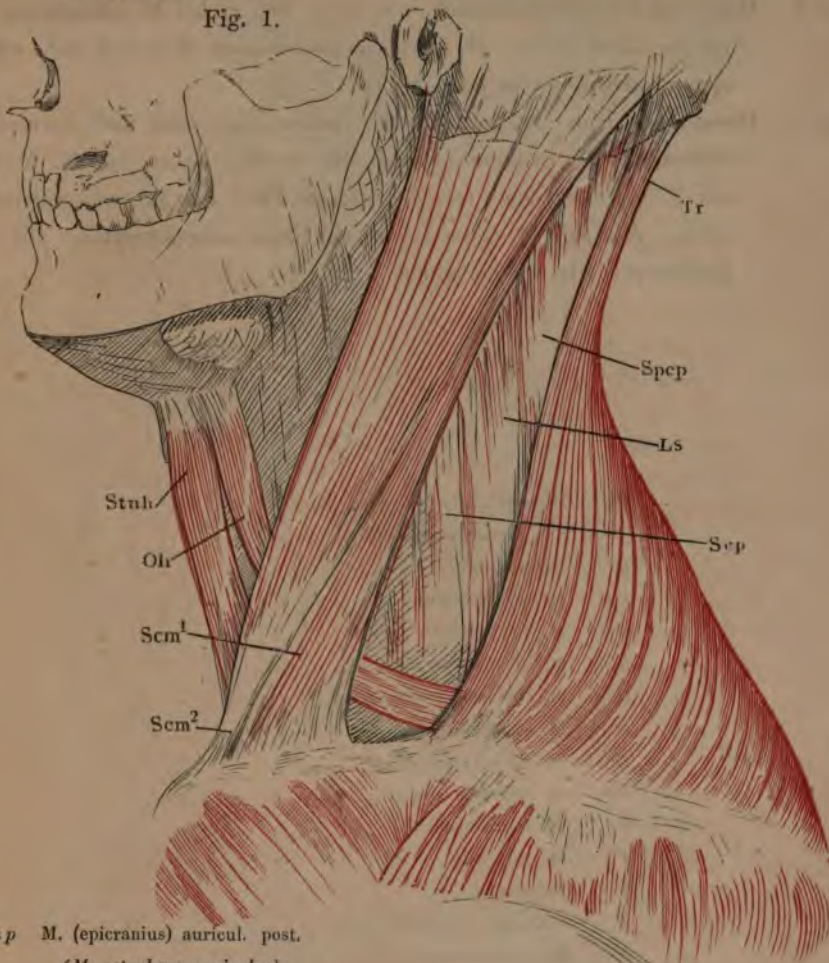
Fig. 2.



Fig. 1. Hals im Profil, nach Entfernung des *M. subcutaneus colli*.

Fig. 2. (Nach F. E. Schulze, *Musculus transversus nuchae*, Rostock 1865. Fig. 2.)
Verbindung des *M. transversus nuchae* mit der Sehne des *M. sternocleidomastoideus*.

Fig. 1.



Eap *M. (epicranius) auricul. post.*

(*M. retrahens auriculae*).

Eo *M. (epicranius) occipitalis.*

Ls *M. levator scapulae.*

Oh *M. omohyoideus.*

Poe *Protuberantia occipitalis externa.*

Scm *M. sternocleidomastoideus.*

Scm¹ Schlüsselbein-, *Scm²*
Brustbeinursprung desselb.

Scp *M. scalenus post.*

Spcp *M. splenius capitis.*

Stnh *M. sternohyoideus.*

Tn *M. transversus nuchae.*

Tr *M. trapezius.*

Fig. 2.

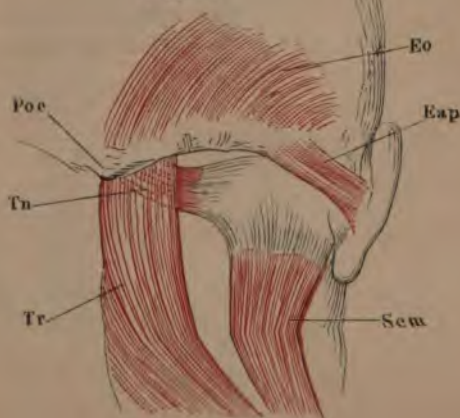


Fig. 1. Hals- und Unterkiefergegend, von vorn. Der rechte *M. subcutaneus colli* an der Insertion, der *M. sternocleidomastoideus* derselben Seite am Ursprung abgeschnitten und entfernt.

Fig. 2. Dieselbe Ansicht. Nächst den *Mm. subcutaneus colli* und *sternocleidomastoideus* ist rechterseits noch der vordere Bauch des *M. biventer*, der *M. sternohyoideus* und der grösste Theil des *M. omohyoideus* entfernt. Aus dem *M. trapezius* ist ein Stück ausgeschnitten. Die Halsgefässe ebenfalls weggenommen.

<i>Bm</i> ¹	Hinterer, <i>Bm</i> ² vorderer Bauch des <i>M. biventer mandibulae</i> .
<i>h</i>	Zungenbein.
<i>Mh</i>	<i>M. mylohyoideus</i> .
<i>Oh</i>	<i>M. omohyoideus</i> .
<i>Sc</i>	<i>M. subcutaneus colli</i> .
<i>Scm</i>	<i>M. sternocleidomastoideus</i> .
<i>Stlh</i>	<i>M. stylohyoideus</i> .
<i>Stnh</i>	<i>M. sternohyoideus</i> .
<i>Stt</i>	<i>M. sternothyreoides</i> .
<i>Th</i>	<i>M. thyreoideus</i> .
<i>Tr</i>	<i>M. trapezius</i> .
1	Kehlkopf.
2	Glandula thyroidea.
3	Halsgefässstämme.
4	Cart. cricoidea.
5	<i>M. cricothyroideus</i> .
6	Schlundkopfmuskeln.
*	Tiefe laterale Halsmuskeln.
**	Tiefe mediale Halsmuskeln.

Fig. 1.

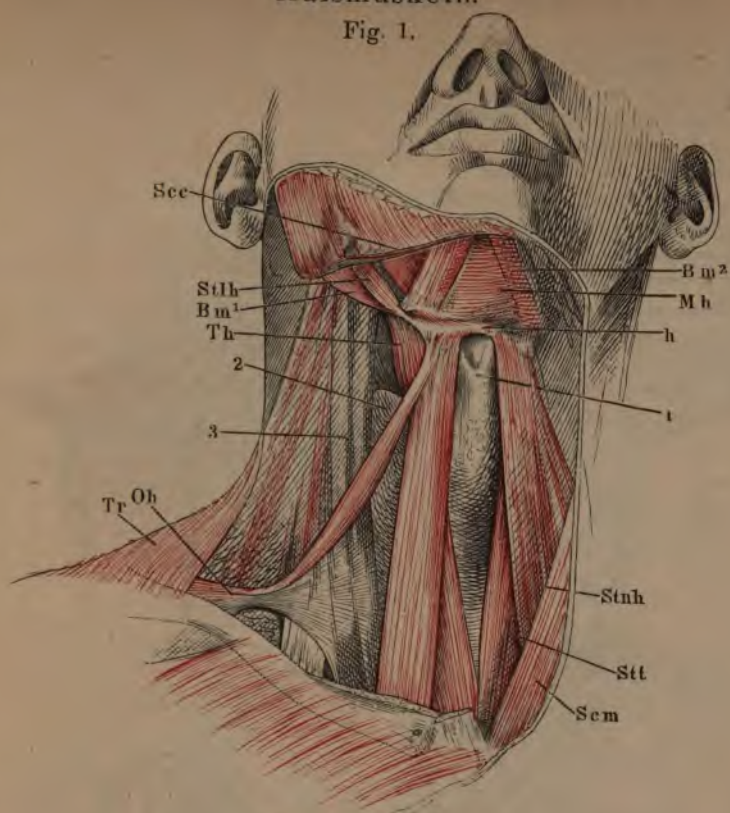


Fig. 2.

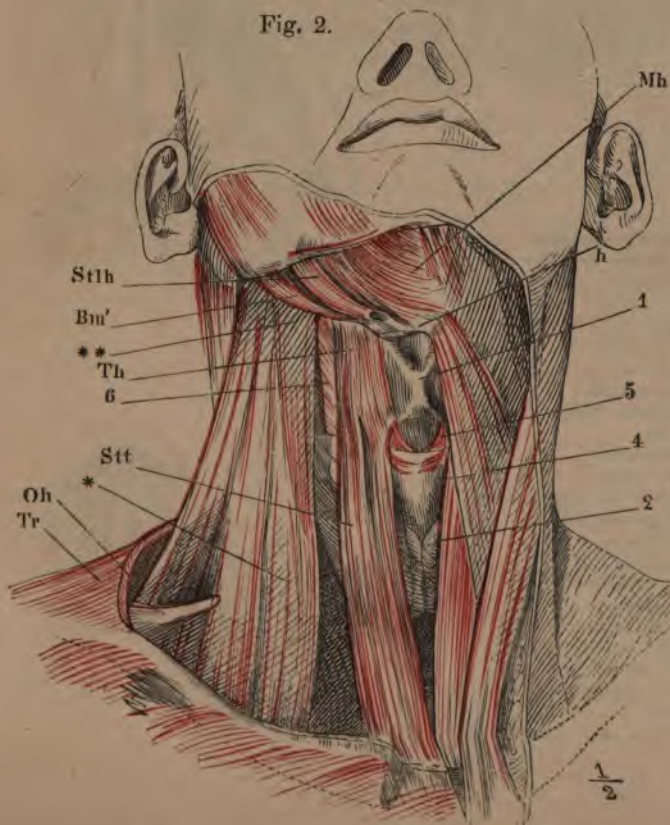


Fig. 1. Frontalsicht des Halses nach Entfernung der Mm. subcutan. mit 1 Unterleibsmast. Der vordere Banden des M. trichter. mandib. vor d. Zwerchhaute abgetrennt.

Fig. 2. Submaxillargegend. M. mylohyoideus durchschnitten u. nach beiden Seiten zurückgeschlagen.

Fig. 3. Submaxillargegend. M. pterygoideus am Ursprunge u. an der Insertion abgeschnitten. M. hyoglossus durchschnitten.

Fig. 4. Frontalschnitt d. untern Kieferfläche hinter d. letzten Backzahn.

Fig. 1.

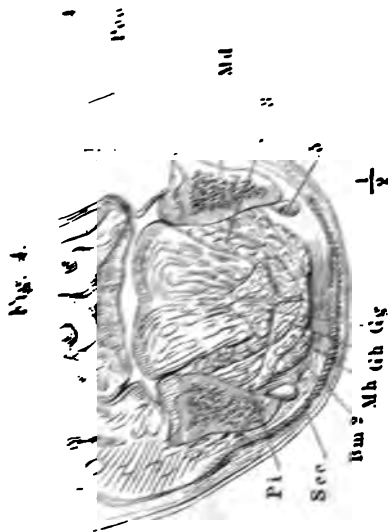
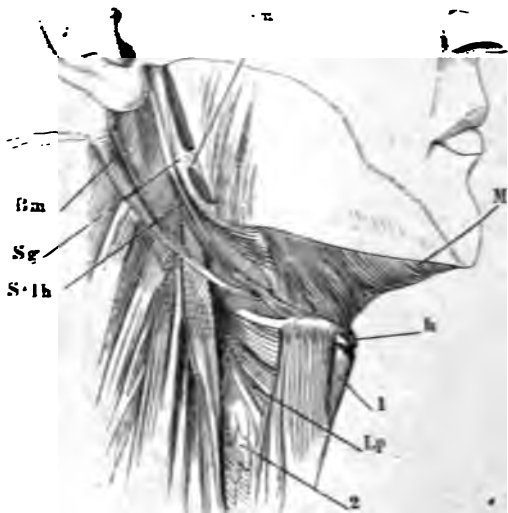


Fig. 2.

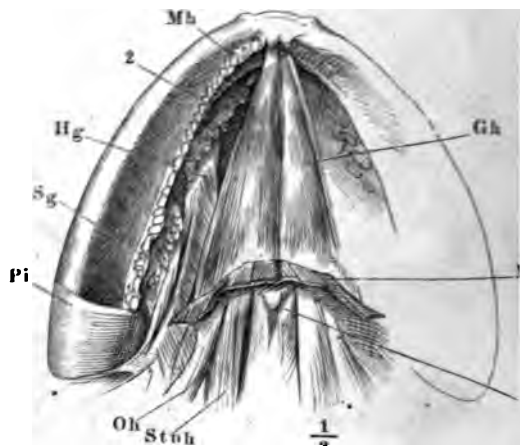
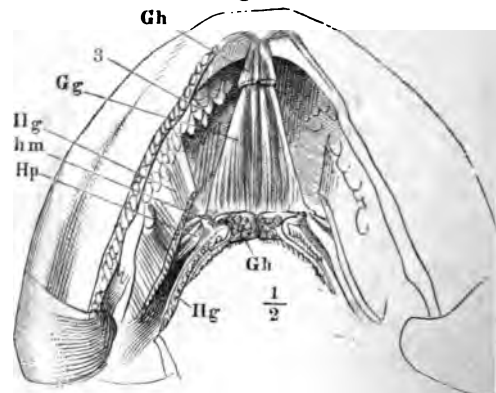
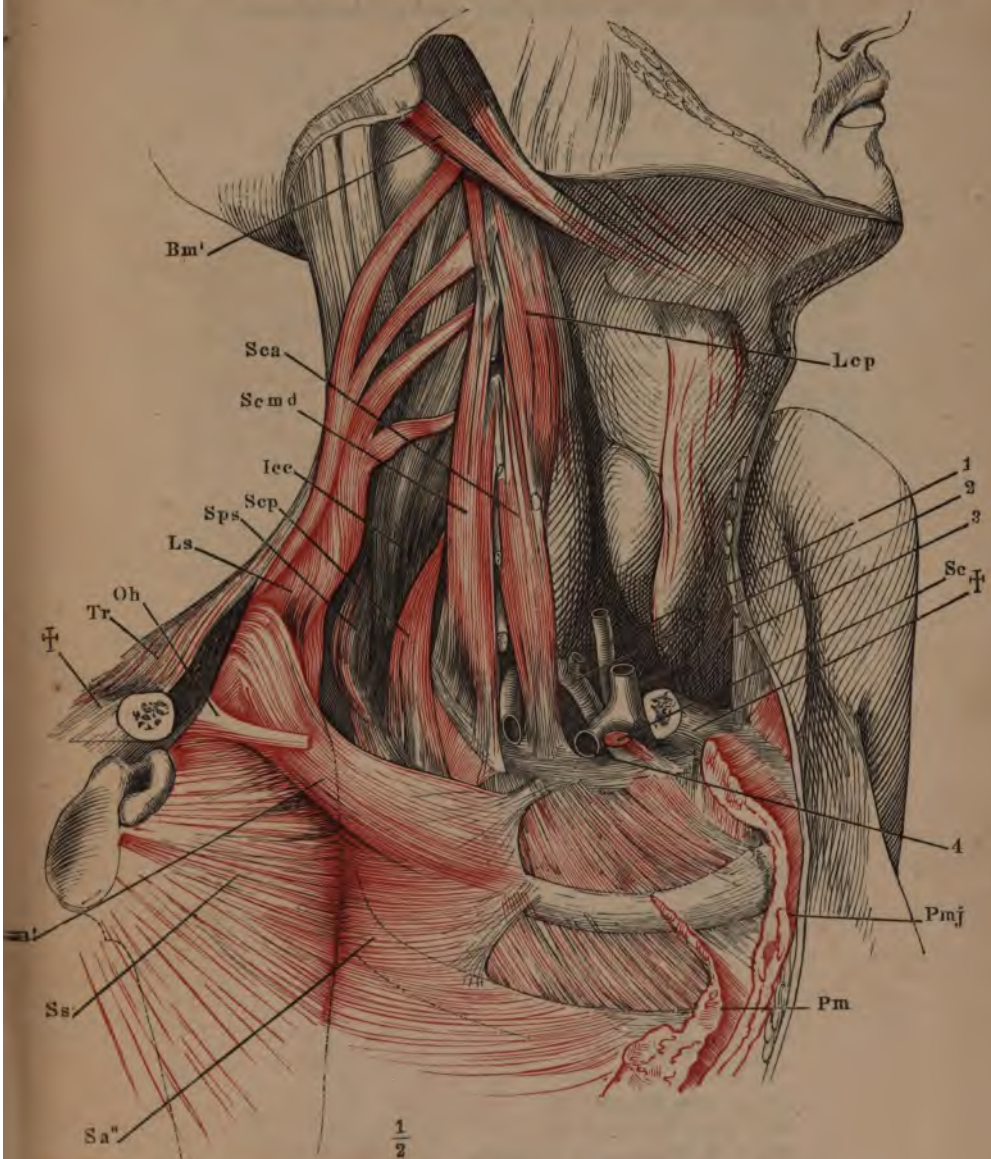


Fig. 3.



- Bm M. trichter. mandibular. Bm² Vorderer Bauch desselben.
 Gg M. geniohyoideus.
 Gh M. geniohyoideus.
 k Zungenbein.
 km Kleines Horn des Zungenbeins.
 Hg M. hyoglossus.
 Hp M. hyopharyngeus.
 Lp M. laryngopharyngeus.
 Md Unterkiefer.
 Mb M. mylohyoideus.
 Ok M. omohyoideus.
 Pco Proc. cor. des Unterkiefers.
 Pi M. pterygoideus int.
 Scc M. subcutaneus colli.
 Sg M. styloglossus.
 sm Lig. stylomylöideum.
 Stlh M. stylohyoideus.
 Stnh M. sternohyoideus.
 1 Kehlkopf.
 2 Glandula thyroidea.
 3 Glandula sublingualis.
 4 Nasenhöhle.
 5 Glandula lymphat. submaxillaris.

Hals, fast Profil. M. sternocleidomastoideus und splenius capitis sind an der Insertion abgeschnitten, das Schlüsselbein theilweise ausgesägt; die Stümpfe desselben (††) weit auseinandergezogen u. d. Schulterblatt lateralwärts umgelegt.



Bm' M. biventer mandibulae, hinterer Bauch.
Icc M. iliocostalis cervicis (*cervicalis ascendens*).
Lcp M. longus capitis (*rect. cap. ant. maj.*).
Ls M. levator scapulae.
Oh M. omohyoideus, am Ursprung abgeschnitten.
Pm M. pectoralis minor, am Urspr. abgeschn.
Pmj M. pectoralis major, am Urspr. abgeschn.
Sa' Obere, *Sa''* mittlere Portion des M. serratus anticus.
Sc M. subclavius, am Ursprung abgeschnitten.

Sca M. scalenus anticus.
Scmd M. scalenus medius.
Scp M. scalenus posticus.
Sps M. serratus post. sup.
Ss M. subscapularis.
Tr M. trapezius.
 1 A. carotis.
 2 A. subclavia.
 3 V. jugularis int.
 4 V. subclavia.

Fig. 1. Lange hintere mediale Halsmuskeln.

Fig. 2. Kurze hintere mediale Halsmuskeln.

Fig. 3. (Nach Nuhn, chir. Anat. Tafel IV., Fig. 2.) Horizontalschnitt des Halses durch den vierten Halswirbel, untere Schnittfläche.

<i>Icc</i>	<i>M. iliocostalis cervicis (cervicalis adscendens).</i>
<i>Is</i>	<i>M. interspinalis.</i>
<i>Ita</i>	<i>M. intertransversarius ant.</i>
<i>Itp</i>	<i>M. intertransversarius post.</i>
<i>L</i>	Mediale tiefe Halsmuskeln.
<i>La</i>	<i>M. longus atlantis (Theil des M. longus colli).</i>
<i>Lc</i>	<i>M. longus colli.</i>
<i>Lgcp</i>	<i>M. longissimus capitis (trachelomastoideus).</i>
<i>Lgc v</i>	<i>M. longissimus cervicis (transversalis cervicis).</i>
<i>Ls</i>	<i>M. levator scapulae.</i>
<i>Mf</i>	<i>M. multifidus.</i>
<i>N</i>	Cervicalnervestamm.
<i>n</i>	Lig. nuchae.
<i>Oh</i>	<i>M. omohyoideus.</i>
<i>Rca</i>	<i>M. rect. capitis anterior (r. c. a. minor).</i>
<i>Rcl</i>	<i>M. rect. capitis lateralis.</i>
<i>Sc c</i>	<i>M. subcutaneus colli.</i>
<i>Scm</i>	<i>M. sternocleidomastoideus.</i>
<i>Scp</i>	<i>M. scalenus post.</i>
<i>Scv</i>	<i>M. spinalis cervicis.</i>
<i>Spcp</i>	<i>M. splenius capitis.</i>
<i>Spcv</i>	<i>M. splenius cervicis.</i>
<i>Sacp</i>	<i>M. semispinalis capitis (birenter u. complexus).</i>
<i>Sacv</i>	<i>M. semispinalis cervicis.</i>
<i>Stnh</i>	<i>M. sternohyoideus.</i>
<i>Stt</i>	<i>M. sternothyreoideus.</i>
<i>Tr</i>	<i>M. trapezius.</i>
<i>Vc</i>	Halswirbel.
1	Cart. thyreoidea. 1' Cart. arytaenoidea.
2	Oesophagus.
3	Vasa vertebralia.
4	N. cervicalis IV.
5	Venae vertebrales.
6	Rückenmark.
7	V. mediana colli.
8	Schlundmuskeln.
9	Gland. thyreoidea.
10	Vena thyreoidea sup.
11	Art. thyreoidea sup.
12	R. descendens N. hypoglossi.
13	A. carotis communis.
14	V. jugularis int.
15	N. vagus.
16	Ganglion cervicale sup.
17	V. jugularis ext.
18	Vasa cervicalia proff.

Fig. 1.

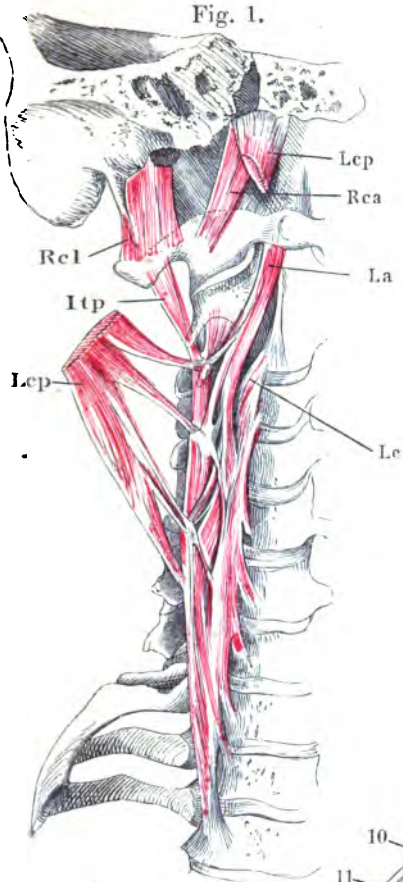


Fig. 2.

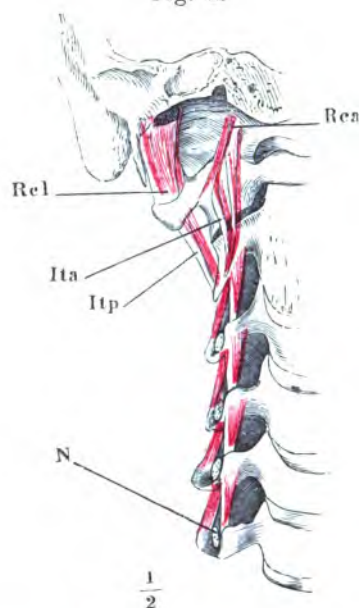


Fig. 3.

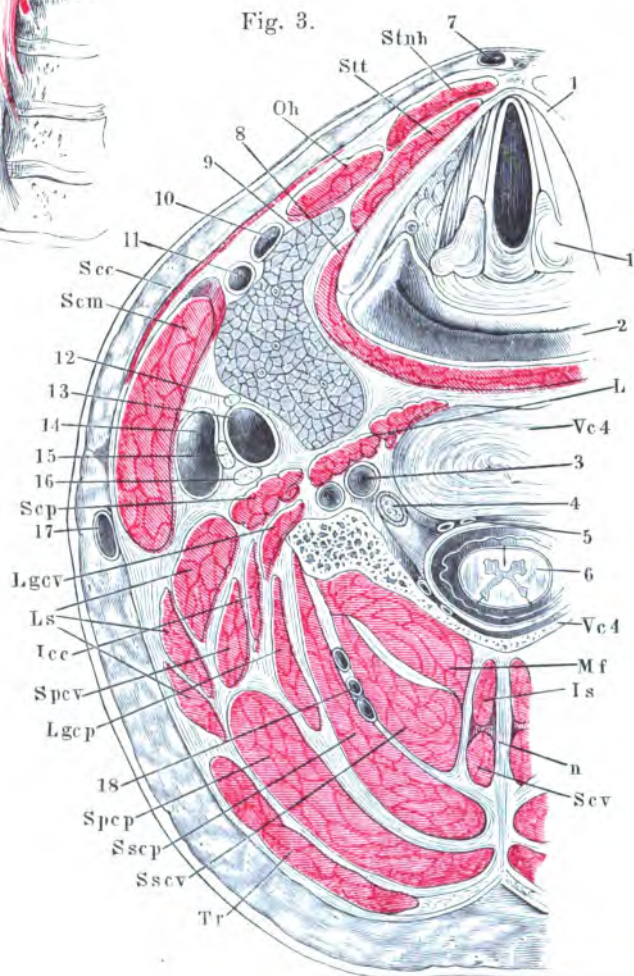
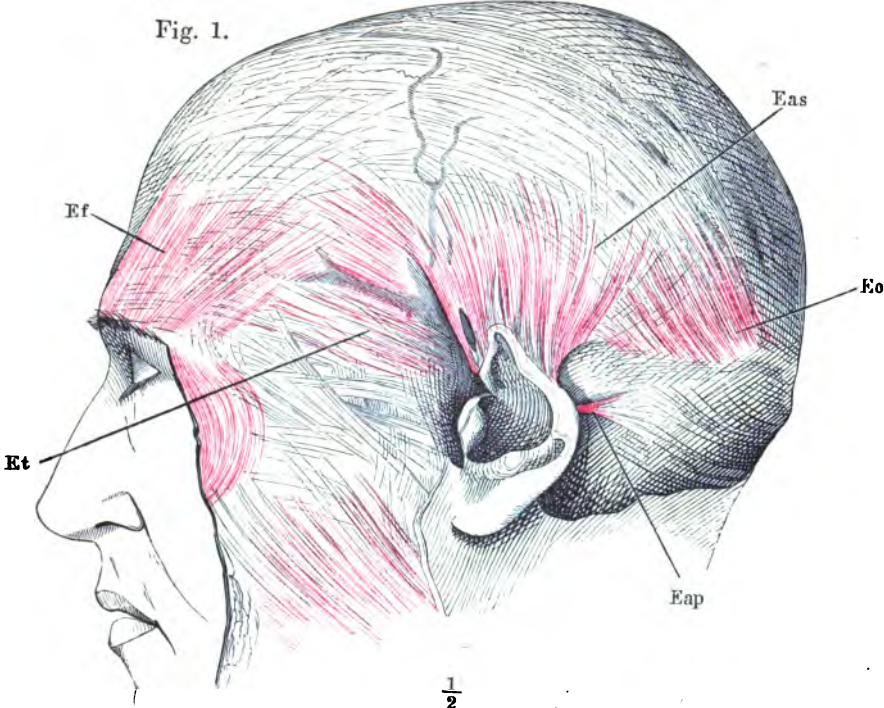


Fig. 1. Muskeln der Schädeldecke, Profil.

Fig. 2. Muskeln der Stirn- und Augengegend, von vorn.

-
- Eap* M. (epicranius) auricularis posterior (*retrahens auriculae*).
Eas M. (epicranius) auricularis superior (*attolens auriculae*).
Ef M. (epicranius) frontalis. *Ef'* Caput nasale. *Ef''* Caput
 angulare. *Ef'''* Caput superciliare.
Eo M. (epicranius) occipitalis.
Et M. (epicranius) temporalis (*attrahens auriculae*).
Om M. (orbicularis oculi) malaris. *Om'* Lateral Ursprung
 desselben von der Galea.
Os M. (orbicularis oculi) orbitalis sup. *Os'* Glabellarur-
 sprünge desselben (*corrugator supercilii*). *Os''* In-
 sersionen in der Haut der Augenbraue.
pl Lig. palpebrale laterale.
pm Lig. palpebrale mediale.
Qls M. quadratus labii superioris. *Qls'* Caput angulare
 (*levator labii superioris alaeque nasi*). *Qls''* Caput
 infraorbitale (*levator labii superioris proprius*).
Qls''' Caput zygomaticum (*zygomaticus minor*).
Z M. zygomaticus (*zygomaticus major*).

Fig. 1.



$\frac{1}{2}$

Fig. 2.

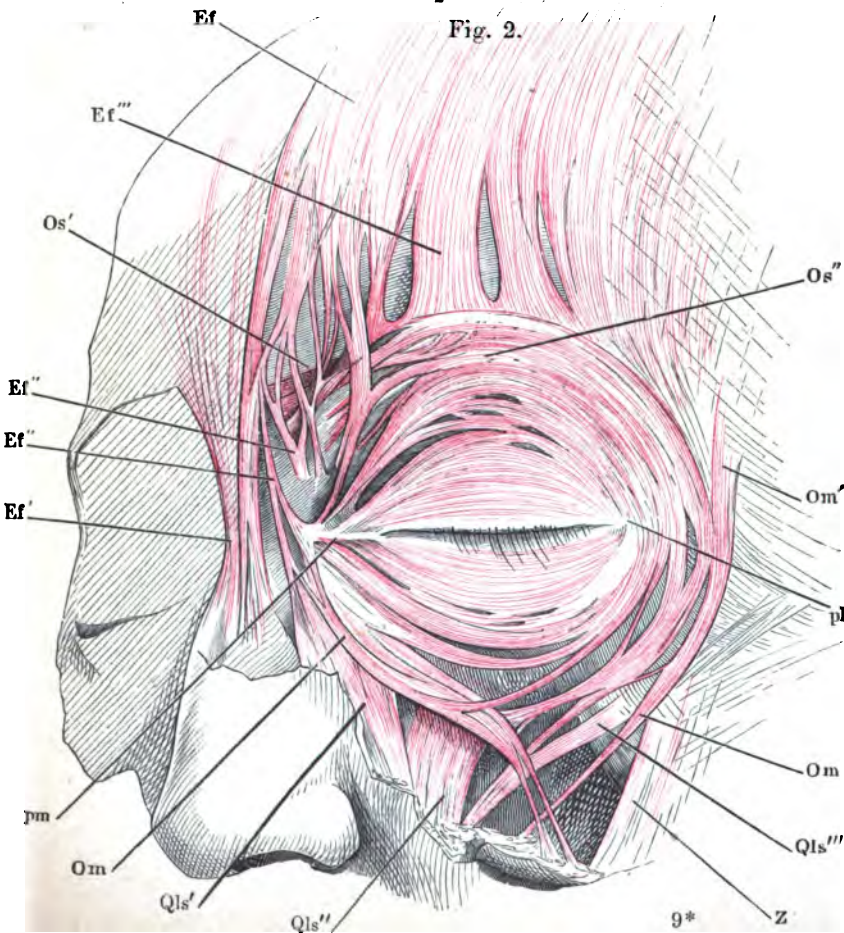


Fig. 1. Profilsicht des Schädels; die Orbita entleert, die Augenlider in d
Nähe des medialen Augenwinkels vertical durchschnitten, das media
Lid nach vorn umgeschlagen und von der Orbitalfläche präparirt.

Fig. 2. Gesichtsmuskeln, erste und zweite Schichte. *M. malaris* am medialen un
lateralen Ursprung abgeschnitten und zurückgeschlagen.

- C* *M. caninus (levator anguli oris).*
Ef *M. (epicranius) frontalis.* *Ef'* Nasen-, *Ef''* Augenwin-
 kelzacke desselben.
Oi *M. (orbicularis oculi) orbitalis inf.*
Om *M. (orbicularis oculi) malaris.* *Om'* Zacke desselben zum
 M. quadratus labii superioris.
Opi *M. (orbicularis oculi) palpebralis inf.*
Ops *M. (orbicularis oculi) palpebralis sup.*
Ox *M. (orbicularis oculi) orbitalis sup.* *Ox'* Glabellarursprung
 desselben.
Qls *M. quadratus labii sup.* *Qls'* Caput angulare (*levator*
 labii superioris alaeque nasi). *Qls''* Caput infra-
 orbitale (*levator labii superioris proprius*). *Qls'''*
 Caput zygomaticum (*zygomaticus minor*).
R *M. risorius.*
Sc *M. subcutaneus colli.*
Trm *M. triangularis (menti) (depressor anguli oris).* *Trm'* Schle-
 fenförmig unter dem Kinn vereinigte Bündel beider
 Seiten. *Trm''* Ausstrahlung in die Haut des Kinns.
Z *M. zygomaticus (zygomaticus major).*
 1 *M. obliquus bulbi inf.,* am Ursprung abgeschnitten.
 2 Thränensack.
 3 Ansatzstelle der Trochlea.
 4 Ligament, welches die Incisura supraorbitalis schliesst.

Fig. 1.

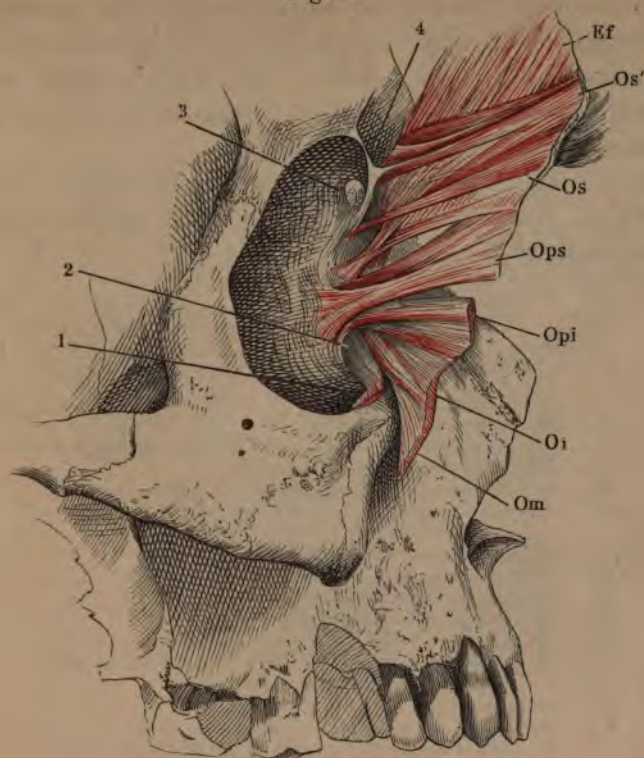
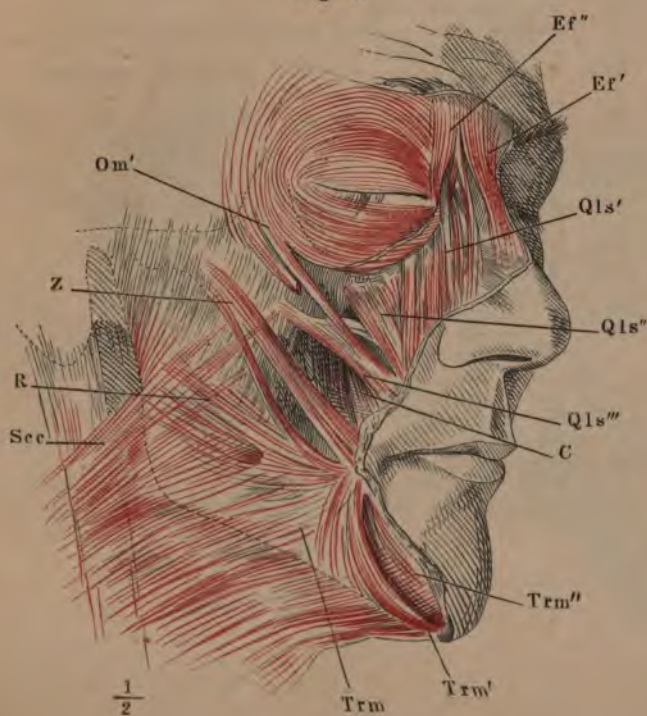


Fig. 2.



- Fig. 1. ~~Massenmuskeln.~~ zweite und dritte Schichte. Die Augenhöhle entleert der *M. orbitalis oculi* nebst dem *M. frontalis* zurückgeschlagen.
- Fig. 2. ~~Massenmuskeln.~~ dritte Schichte. Augenhöhle entleert, *M. orbicularis oculi* entfernt, die oberflächliche Portion des *M. masseter* an dem Ursprunge und der Insertion abgeschnitten.
- Fig. 3. ~~Ansicht des Kehlkopfes~~ von der hintern, des Unterkiefers von der innern Seite. Die hintere Wand und der Boden der Mundhöhle seitwärts vom Unterkiefer abgezogen.

- 2 *M. masticatorius.*
 2* *M. pterygus mandibulae.*
 3 *M. nasalis (levator anguli oris).* C' Zacke desselben vom Proc. frontalis des Oberkiefers.
 3* *M. cephalopharyngeus (constrictor faucium supremus).*
 3' *M. (superficialis) frontalis.* Ef' Nusen-, Ef'' Augenwimpernzacke desselben.
 4 Spitze des grossen Zungenbeinhorns.
 4* *M. pharyngeus (constrictor faucium medius).*
 4' *M. sublingualis labii inferioris.*
 4' *M. sublingualis labii superioris.*
 4' *M. masseter.* M' Tiefe Portion desselben.
 4* *M. mentalis (levator menti)* der rechten, Me' der linken Seite.
 4* *M. mylohyoideus.*
 4' *M. nasalis* der rechten, N' der linken Seite. N'' laterale Portion des rechten *M. nasalis (depressor alae nasi).* N''' mediale Portion (*compressor nasi*).
 4' *M. orbicularis oculi.*
 4* *M. pterygoideus ext.*
 4' Ursprung, Pi' Insertion des *M. pterygoideus int.*
 4* *lax. pterygomandibulare.*
 4*¹, 4*², 4*³ Capit. angulare, infraorbitale und zygomatic. des *M. quadrat. labii sup.*
 4* *M. quadratus menti (depressor labii infer.).*
 4' *M. risorius.*
 4* *M. subcutaneus colli.*
 4* *M. styloglossus.*
 4* *M. sphincter oris.* Sph† Derselbe, nahe der Mittellinie durchschnitten.
 4* *M. sternohyoideus.*
 4* *M. stylopharyngeus.*
 4' *M. temporalis.*
 4* *M. triangularis (menti).*
 4' *M. zygomaticus.*
 * Am Oberkiefer entspringende und endende Bündel des *M. nasalis.*
 ** Am Unterkiefer entspringende und endende Bündel des *M. mentalis.*
 1 Ductus parotideus, Durchschnitt.
 2 Hintere Schlundwand.
 3 Boden der Mundhöhle, von aussen.
 4 Epiglottis, dicht über dem Kehlkopf abgeschnitten.

Fig. 1.

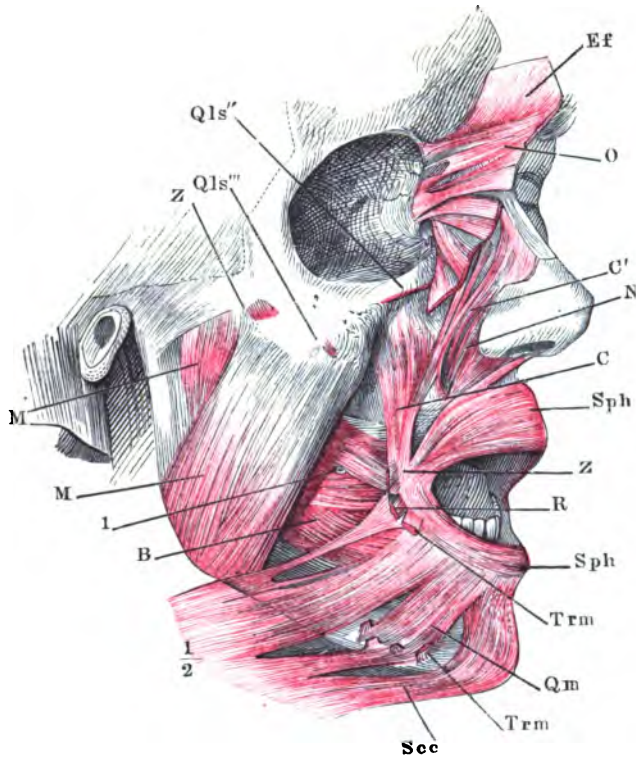


Fig. 2.

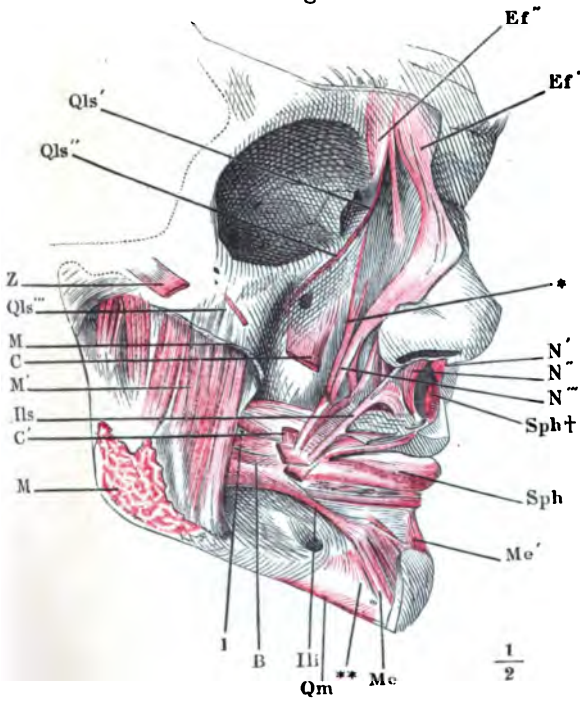
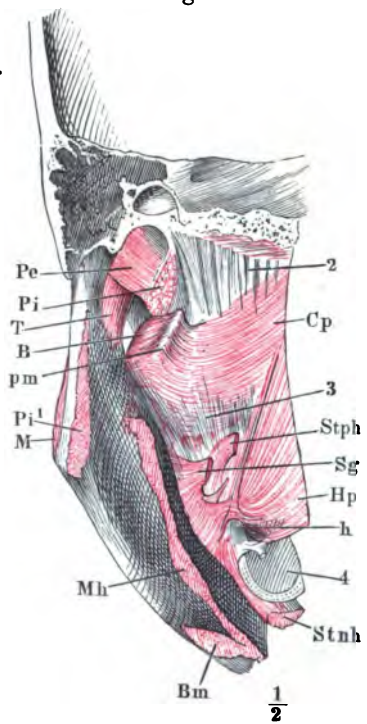


Fig. 3.



- Fig. 1.** Wange und Lippe nebst dem Nasenflügel von innen nach Entfernung der Schleimhaut; die Muskeln sämtlich von ihren Knochenursprüngen abgetrennt.
- Fig. 2.** Frontalschnitt der Nasenhöhle und des Oberkiefers hinter dem harten Gaumen. Die Unterlippe rechts vor dem Eckzahn durchschnitten und abwärts umgelegt, die Schleimhaut der Wange und Unterlippe entfernt.
- Fig. 3.** Gesicht von vorn, die Unterlippe vor dem rechten Eckzahn vertical gespalten und nach Entfernung der Schleimhaut gegen die linke Seite zurückgeschlagen. *M. quadratus menti* und *M. mentalis* der rechten Seite am Ursprung durchschnitten.
- Fig. 4.** Frontalschnitt des Kopfs durch die Fossa infratemporalis hinter den Gaumenflügeln, hintere Schnittfläche.

<i>B</i>	<i>M. buccinator.</i>
<i>C</i>	<i>M. caninus (levator anguli oris).</i>
<i>Eas</i>	<i>M. (epicranius) auricularis sup. (attollens auriculae).</i>
<i>Ftp</i>	<i>Fascia temporalis.</i>
<i>Ili</i>	<i>M. incisivus labii inferioris.</i>
<i>Ils</i>	<i>M. incisivus labii superioris.</i>
<i>M</i>	<i>M. masseter. M'</i> Tiefe Portion desselben.
<i>Me</i>	<i>M. mentalis (levator menti). Me†</i> Durchschnittsfläche desselben.
<i>Pe</i>	<i>M. pterygoid. ext., unterer Kopf. P'e'</i> Desselben oberer Kopf.
<i>Pi</i>	<i>M. pterygoid. int.</i>
<i>pm</i>	<i>Lig. pterygomandibulare.</i>
<i>Qls'</i>	<i>M. quadrat. labii sup. caput angulare. Qls''</i> Desselben caput infraorbitale. <i>Qls'''</i> Desselben caput zygomaticum.
<i>Qm</i>	<i>M. quadratus menti (depressor labii inferioris).</i>
<i>R</i>	<i>M. risorius.</i>
<i>Sec</i>	<i>M. subcutaneus colli der linken, Sec'</i> der rechten Seite.
<i>Sph</i>	<i>M. sphincter oris.</i>
<i>T</i>	<i>M. temporalis.</i>
<i>Trm</i>	<i>M. triangularis (menti).</i>
<i>Z</i>	<i>M. zygomaticus.</i>
†	Durchschnitt des Jochbogens.
*	Durchschnitt der Parotis.

Fig. 1.

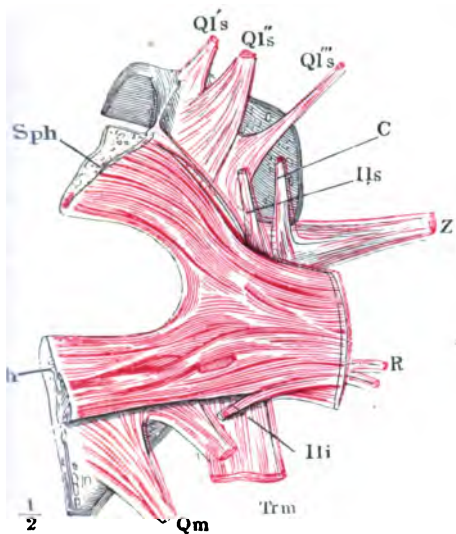


Fig. 3.

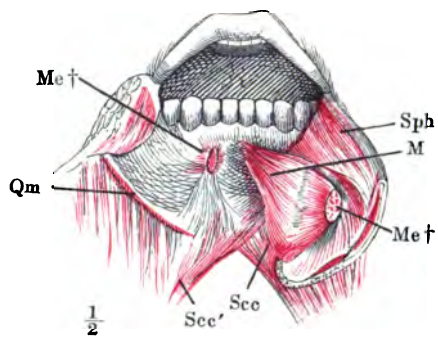


Fig. 2.

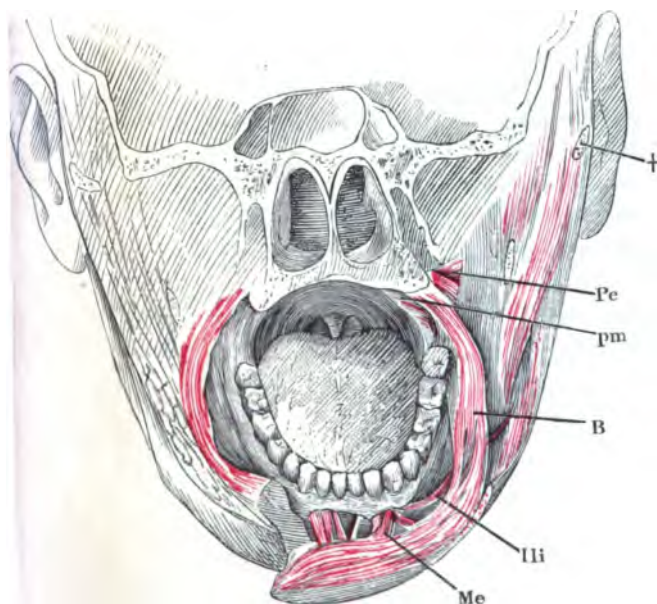
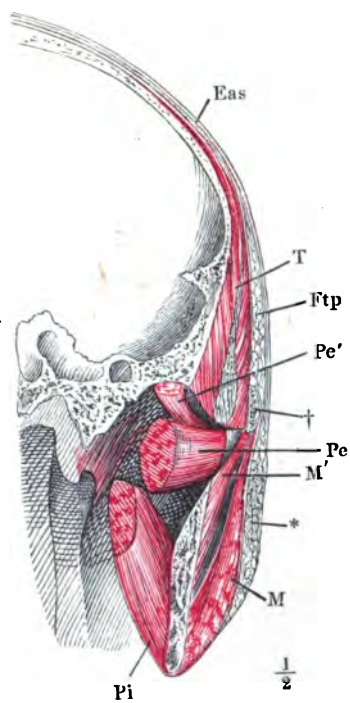


Fig. 4.



gegend von hinten, mit ausgelöstem und zurückgelegtem Schlüssel
bei etwas erhobenem Arm.

und Arm von hinten, nach Entfernung des *M. trapezius* u
M. deltoideus bis auf die Insertion. † Schulterkamm, das Ac
m. abgesägt.

Fig. 3. Musculatur der Schulter- und Brustgegend bei erhobenem Arm.

Fig. 4. Sagittalschnitt der Schulter und des Rumpfs durch die höchste Wölbung
der zweiten Rippe. Mediale Schnittfläche.

<i>Ab</i>	<i>M. anconeus brevis (ancon. ext.).</i>
<i>Ai</i>	<i>M. anconeus internus.</i>
<i>Al</i>	<i>M. anconeus longus.</i>
<i>B</i>	<i>M. biceps brachii.</i>
<i>Bi</i>	<i>M. brachialis int.</i>
<i>C</i>	Rippe.
<i>Cb</i>	<i>M. coracobrachialis.</i>
<i>D</i>	<i>M. deltoideus.</i>
<i>Isp</i>	<i>M. infraspinatus. Isp' Obere, Isp'' un-</i> tere Portion.
<i>Ld</i>	<i>M. latissimus dorsi.</i>
<i>Ls</i>	<i>M. levator scapulae.</i>
<i>Oae</i>	<i>M. obliquus abdominis ext.</i>
<i>Pmj</i>	<i>M. pectoralis major.</i>
<i>Sa</i>	<i>M. serratus anticus.</i>
<i>Scm</i>	<i>M. sternocleidomastoideus.</i>
<i>Ss</i>	<i>M. subscapularis.</i>
<i>Ssp</i>	<i>M. supraspinatus.</i>
<i>Tm</i>	<i>M. teres minor.</i>
<i>Tmj</i>	<i>M. teres major.</i>
<i>Tr</i>	<i>M. trapezius.</i>

Fig. 1.

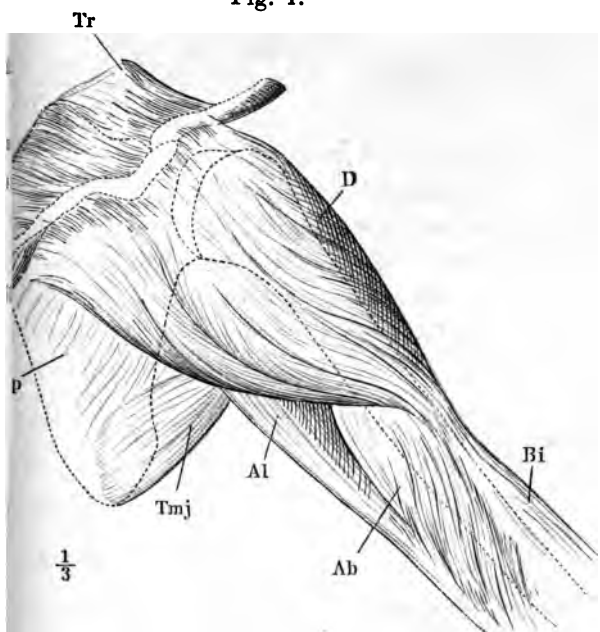


Fig. 2.

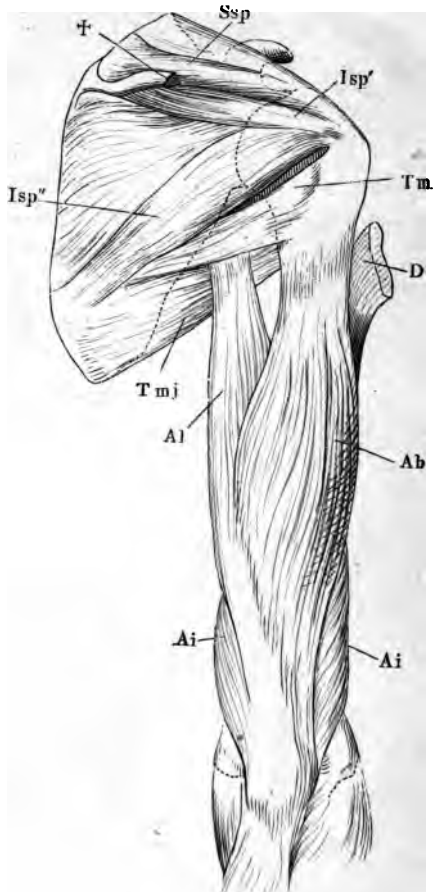


Fig. 4.

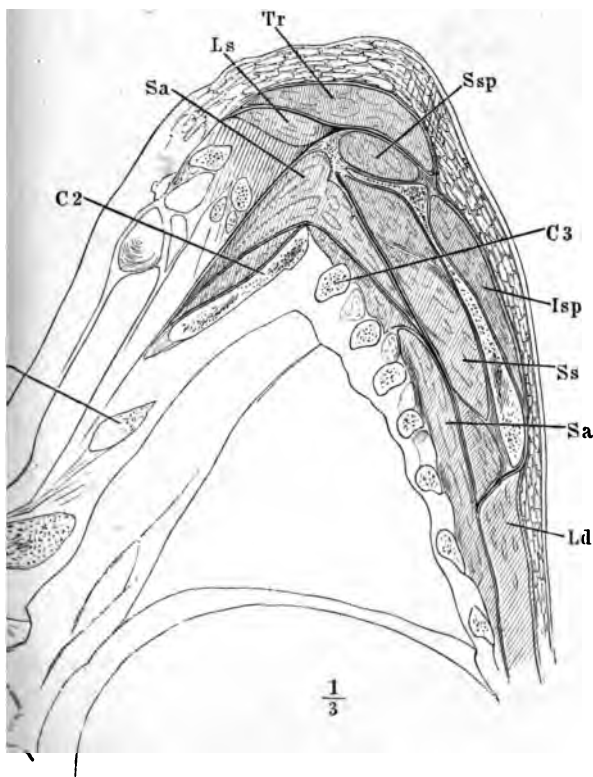
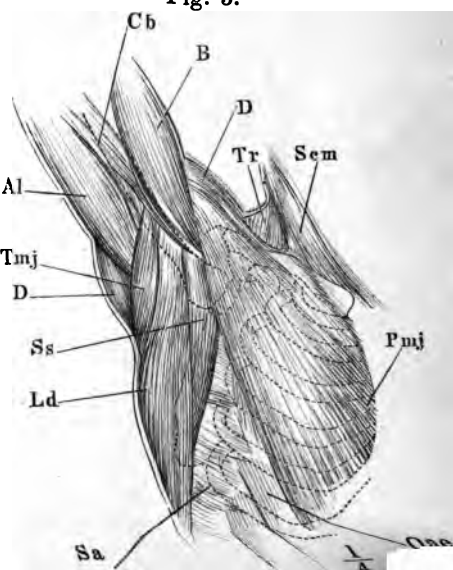


Fig. 3.



- Fig. 1.** Schulterblatt, vom Rumpf gelöst, von vorn, nach Entfernung der Fascia subscapularis.
- Fig. 2.** Schulterblatt und Oberarm von vorn, mit dem exarticulirten Schlüsselbein. Mm. pectoralis major und minor und latissimus dorsi an der Insertion M. deltoidei am Ursprung abgeschnitten. * N. cutaneus lateralis, an der Austrittsstelle aus dem M. coracobrachialis abgeschnitten. † Oberflächliche Muskelmasse der Beugeseite des Unterarms, abgeschnitten.
- Fig. 3.** Schulterblatt und Oberarm von vorn; die Sehne des langen Kopfs des M. biceps brachii aus dem Sulcus intertubercularis hervorgezogen und abgeschnitten; der kurze Kopf des M. biceps abgeschnitten und mediwärts umgelegt. * Sehnenbogen, der dem M. coracobrachialis zur Insertion dient.
- Fig. 4.** Oberarm, exarticulirt, laterale Fläche.

<i>Ab</i>	M. anconeus brevis (<i>ancon. ext.</i>).
<i>ac</i>	Lig. acromio-coracoideum.
<i>Ai</i>	M. anconeus int.
<i>Al</i>	M. anconeus long.
<i>Aq</i>	M. anconeus quartus.
<i>B'</i>	Tiefe, <i>B''</i> oberflächliche Sehne des M. biceps brachii.
<i>Bb</i>	Kurzer Kopf des M. biceps.
<i>Bi</i>	M. brachialis int.
<i>Bl</i>	Langer Kopf des M. biceps.
<i>Br</i>	M. brachioradialis (<i>supinator long.</i>).
<i>Bss</i>	Bursa synovialis subscapularis.
<i>Cb</i>	M. coracobrachialis.
<i>D</i>	M. deltoideus.
<i>imm</i>	Lig. intermusculare mediale.
<i>Ld</i>	M. latissimus dorsi.
<i>Nr</i>	N. radialis. <i>Nr'</i> Hautast desselben.
<i>Pm</i>	M. pectoralis minor.
<i>Pmj</i>	M. pectoralis major.
<i>Rel</i>	M. radialis ext. long. (<i>extensor carpi rad. long.</i>).
<i>Ss</i>	M. subscapularis.
<i>Ssp</i>	M. supraspinatus.
<i>Su</i>	M. supinator (<i>supin. brevis</i>).
<i>Tmj</i>	M. teres major.
<i>ts</i>	Lig. transversum scapulae propr. sup.

Fig. 1.

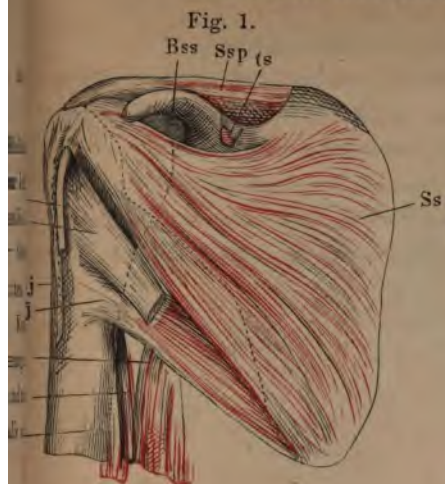


Fig. 2.

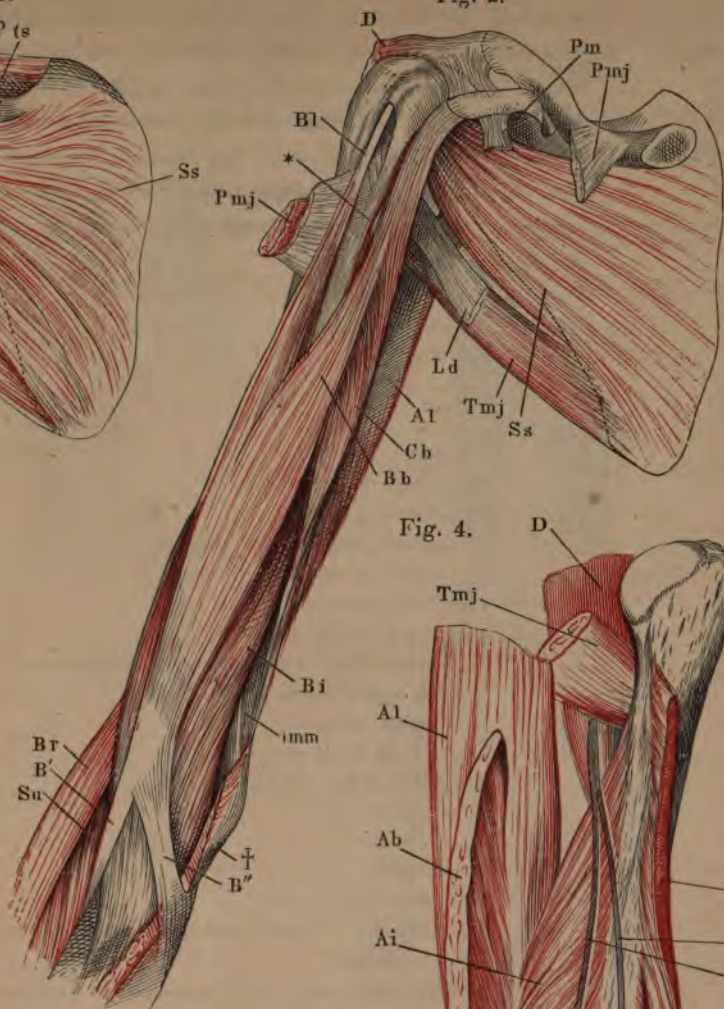


Fig. 4.

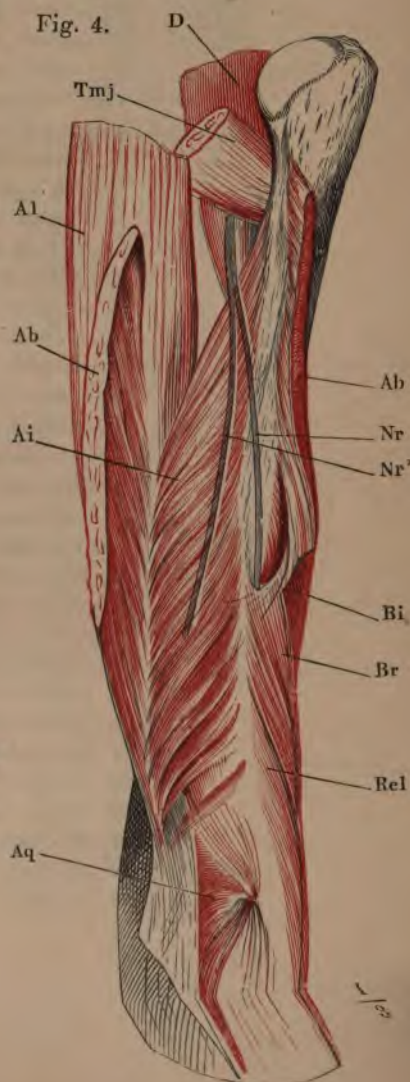


Fig. 3.

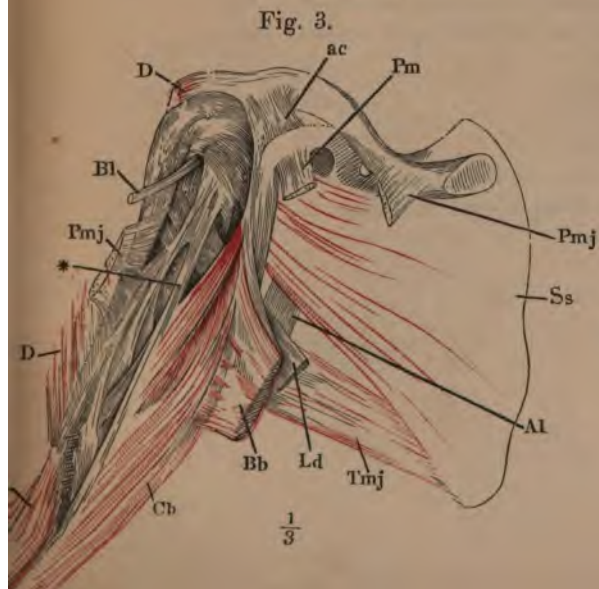


Fig. 1. Profilsansicht der Brust und des vorwärts erhobenen Arms.

Fig. 2. Sagittalschnitt der linken Schulter durch den Armbeinkopf, mediale Schnittfläche. Schlüsselbein und Acromion in der Nähe ihrer Articulation durchschnitten. * Durchschnitt der Armgefäße und Nerven.

Fig. 3. Ober- und Unterarm von vorn, der Oberarm oberhalb der Insertion des Mm. deltoideus und pectoralis major vom Rumpf getrennt. M. biceps entfernt. * Sehnenbogen, unter welchem der N. radialis auf die Vorderfläche gelangt.

- A* Acromion.
Ab M. anconeus brevis.
Ai M. anconeus internus.
Al M. anconeus longus. *Al'* Ursprung desselben von der Sehne des M. latissimus dorsi.
B Tiefe Insertionssehne des M. biceps.
Bb Kurzer Kopf des M. biceps.
BC Gemeinschaftlicher Ursprung des M. coracobrachialis und des kurzen Kopfs des M. biceps.
Bi M. brachialis internus.
Bl Langer Kopf des M. biceps.
Br M. brachioradialis (*supinator longus*).
Cb M. coracobrachialis.
Cl Schlüsselbein.
D M. deltoideus.
Ede M. extensor digit. comm.
F Oberflächlicher, *F'* tiefer Kopf der oberflächlichen Beugemuskelmasse.
Fpl M. flexor pollicis long. *Fpl'* Accessorischer Kopf desselb. aus der oberflächlichen Beugemuskelmasse. *Fpl''* Desgleichen von der Sehne des M. brachialis int.
Isp M. infraspinatus.
Ld M. latissimus dorsi.
Pmj M. pectoralis major.
Pt M. pronator teres.
Reb M. radialis externus (*extensor carpi rad.*) brevis.
Rel M. radialis ext. (*extensor carpi rad.*) longus.
Ss M. subscapularis.
Ssp M. supraspinatus.
Su M. supinator (*supin. brevis*).
Tm M. teres minor.
Tmj M. teres major.
Tr M. trapezius.

Fig. 1.

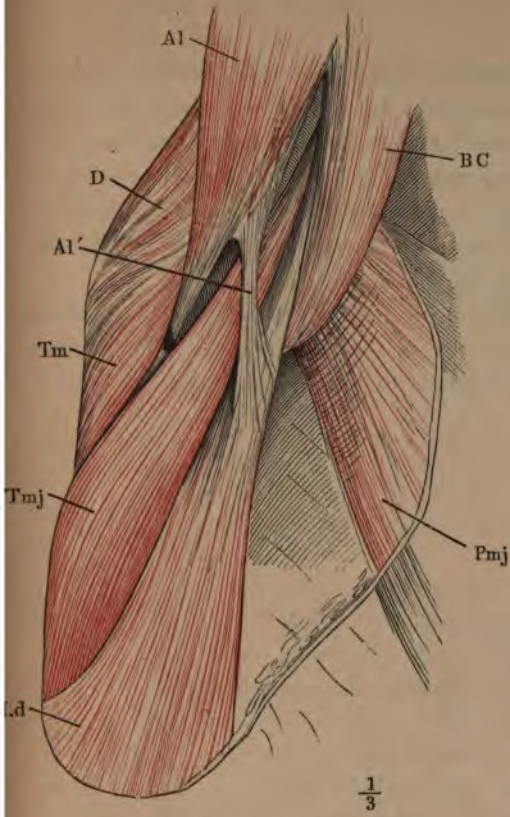


Fig. 2.

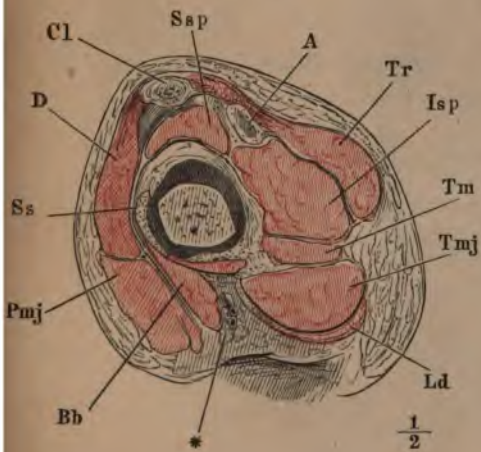
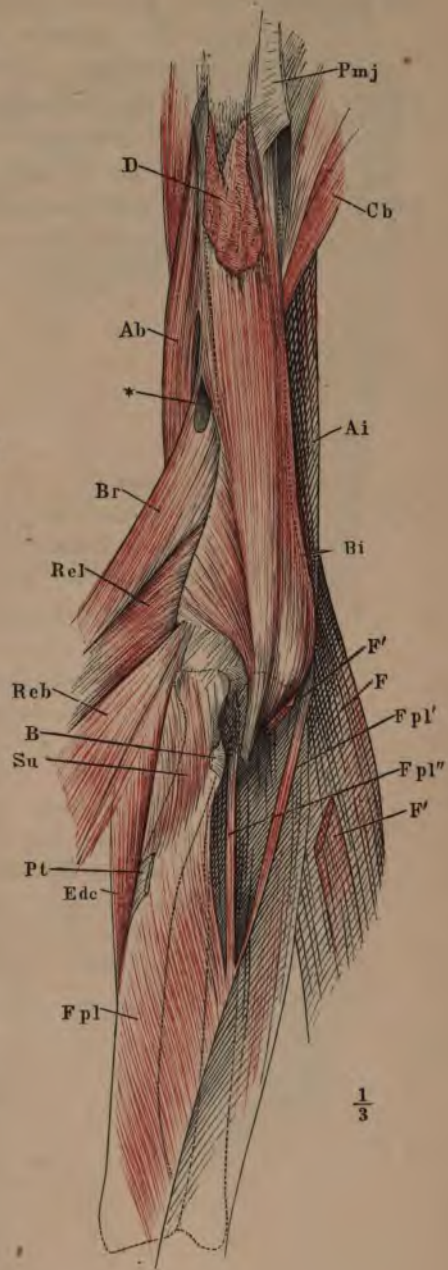


Fig. 3.



- Fig 1. Oberflächliche Muskeln der Vorderseite des Unterarms, erste Schichte.
 Fig. 2. Oberflächliche Muskeln der Vorderseite des Unterarms, zweite und dritte Schichte. *Mm. pronator teres, radialis int. und palmaris long.* in Theil ausgeschnitten. * Ursprungsmasse der oberflächl. Beugemuskeln.
 Fig. 3. Tiefe Muskeln der Vorderseite des Unterarms, erste Schichte, die oberflächlichen Muskeln am Handgelenk abgeschnitten und umgelegt. In Armbeinkopf des *M. ulnaris int.* durchschnitten.
 Fig. 4. Unteres Ende des Unterarms von vorn. Die Beugemuskeln entfernt. *M. flexor poll. long.* abgeschnitten und zur Seite gelegt. *M. pronator quadratus* am Ursprung und an der Insertion abgeschnitten.

<i>B</i>	<i>M. biceps.</i>
<i>Bi</i>	<i>M. brachialis int.</i>
<i>Br</i>	<i>M. brachioradialis.</i>
<i>F'</i>	Oberflächlicher, <i>F''</i> tiefer Ursprung der oberflächlichen Beugemuskelmasse.
<i>Fds</i> ² — <i>Fds</i> ⁵	<i>M. flexor digit. comm. sublimis.</i>
<i>Fdp</i> ² — <i>Fdp</i> ⁵	<i>M. flexor digit. comm. profundus.</i>
<i>Fpl</i>	<i>M. flexor pollicis long.</i> <i>Fpl'</i> Accessorischer Kopf desselben aus der oberflächlichen Beugemuskelmasse.
<i>L</i>	<i>M. lumbricalis.</i>
<i>Pb</i>	<i>M. palmaris brevis.</i>
<i>Pl</i>	<i>M. palmaris longus.</i>
<i>Pq</i>	<i>M. pronator quadratus.</i>
<i>Pt</i>	<i>M. pronator teres.</i> <i>Pt'</i> Insertionssehne desselben.
<i>Ri</i>	<i>M. radialis int. (flexor carpi radialis).</i>
<i>RR</i>	Radialmuskeln.
<i>Ui</i>	<i>M. ulnaris int. (flexor carpi ulnaris).</i>

Fig. 1.

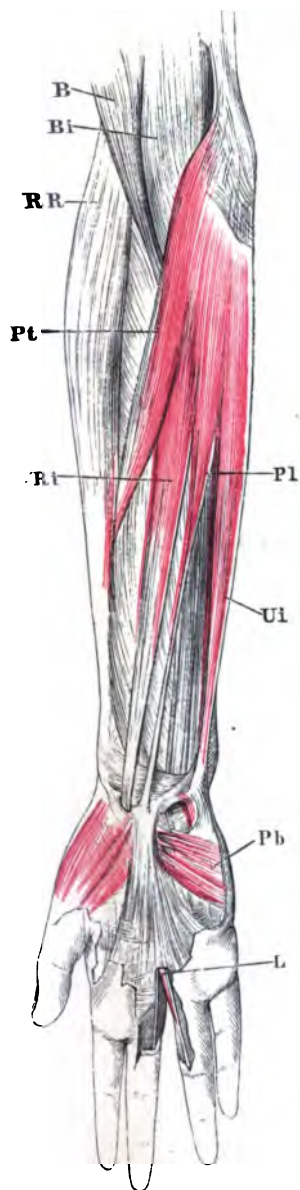


Fig. 2.

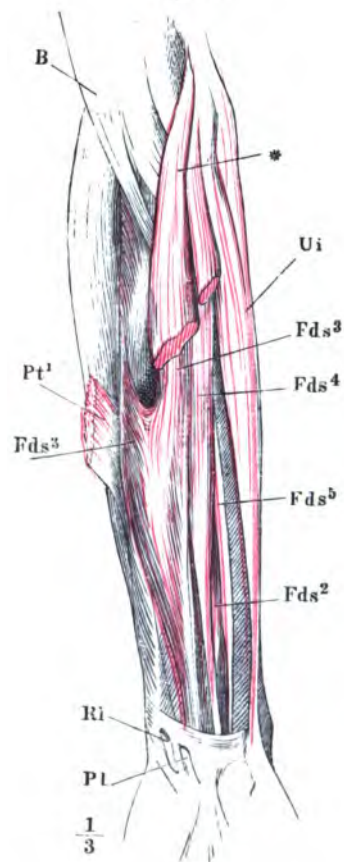


Fig. 3.

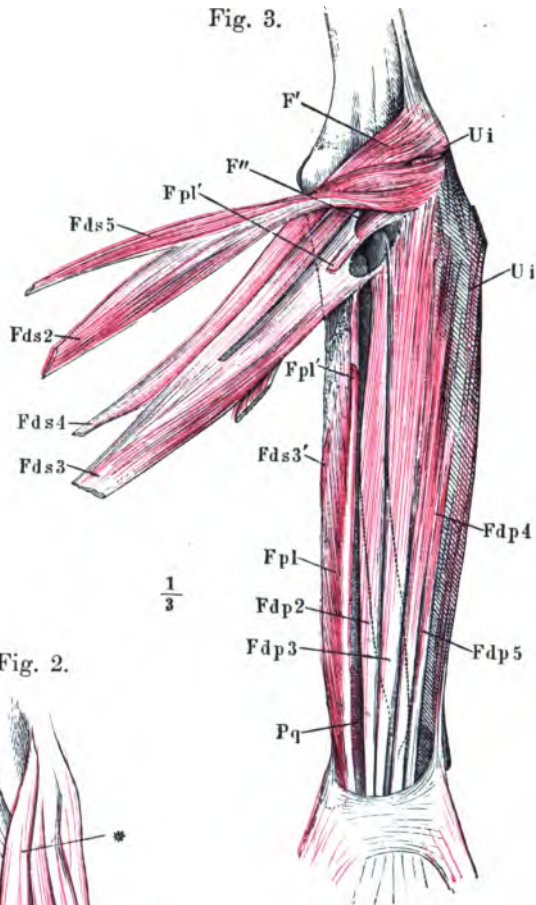


Fig. 4.

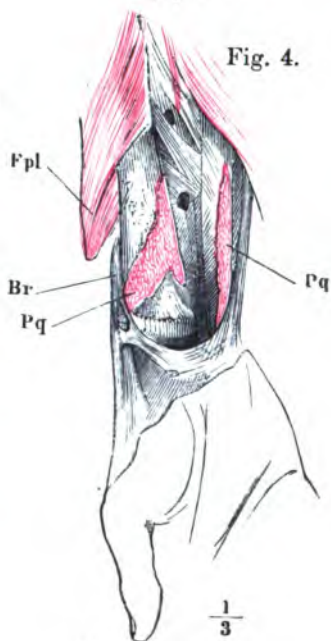
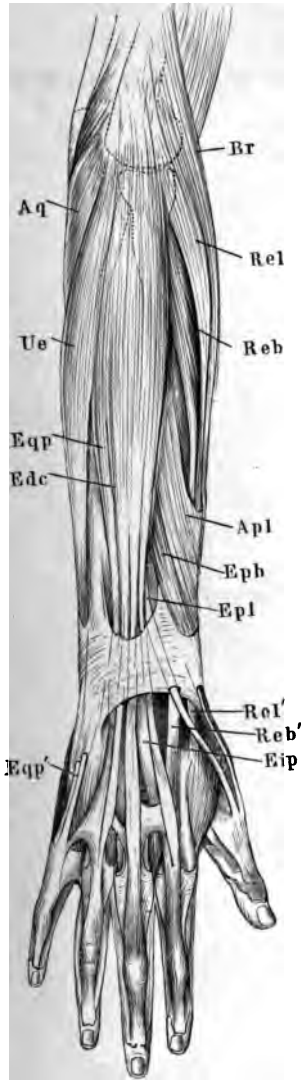


Fig. 1. Muskeln der Radial- und Rückseite des Unterarms, oberflächliche Schichte.

Fig. 2. Arm von vorn, der Unterarm in Pronation, die Mm. brachioradialis und rad. ext. long. am Ursprung abgeschnitten. M. rad. ext. brev. von der Insertionssehne getrennt und zurückgeschlagen.

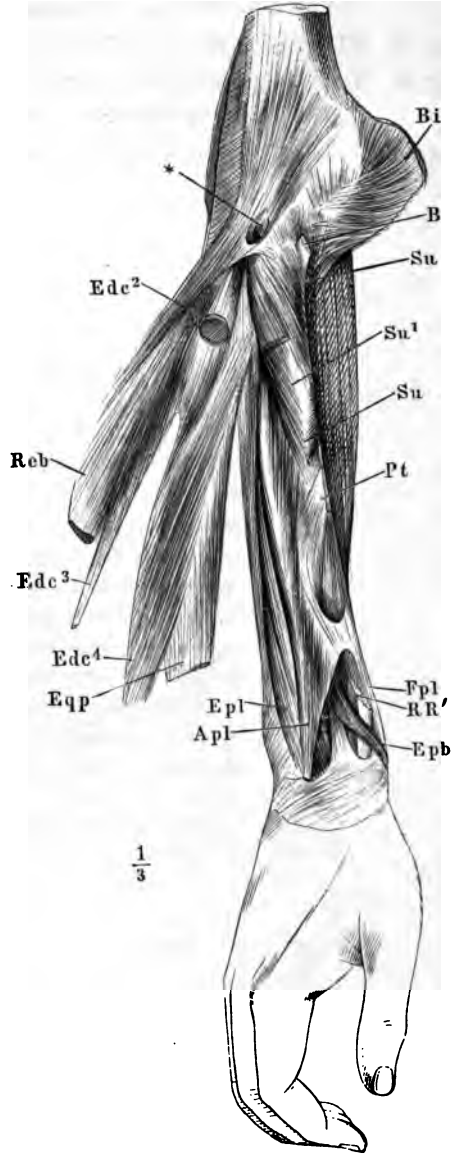
-
- Apl* M. abductor pollicis longus.
Aq M. anconeus quartus.
B Insertionssehne des M. biceps.
Bi M. brachialis int., zurückgeschlagen.
Br M. brachioradialis.
*Edc*²—*Edc*⁴ M. extensor digitorum communis.
**Eip* M. extensor indicis proprius.
Epb M. extensor pollicis brevis.
Epl M. extensor pollicis longus.
Eqp M. extensor digiti quinti proprius. *Eqp'* Sehne desselben.
Fpl M. flexor pollicis longus.
Pt M. pronator teres.
RR Ursprung der Radialmuskeln. *RR'* Sehnen derselben.
Reb M. radialis ext. brevis. *Reb'* Sehne desselben.
Rel M. radialis ext. longus. *Rel'* Sehne desselben.
Su M. supinator. *Su'* Tiefe Schichte desselben.
Ue M. ulnaris externus (*extensor carpi ulnaris*).
*** Sehnenbogen über dem R. prof. N. radialis und den Vasa
 recurrentia rad.

Fig. 1.



$\frac{1}{3}$

Fig. 2.



$\frac{1}{3}$

Fig. 1. Muskeln der Rückseite des Unterarms, tiefe Schichte.

Fig. 2. Ellenbogengelenk und *M. supinator* nach Entfernung der Muskeln der Vorderfläche, von vorn, in Supination. Ulna durchsägt, um das obere Ende vom Radius abziehen.

Fig. 3. Ellenbogengelenk und *M. supinator* in Pronation.

Fig. 4. Horizontalschnitt der Unterarmknochen und des *M. supinator* durch die Tuberosität des Radius. Pronation.

Fig. 5. Horizontalschnitt des Unterarms unter dem Ellenbogengelenk.

<i>A</i>	Insertionssehne des <i>M. anconeus</i> .
<i>Apl</i>	<i>M. abductor pollicis longus</i> .
<i>Aq</i>	<i>M. anconeus quartus</i> .
<i>B</i>	Insertionssehne des <i>M. biceps</i> .
<i>Bi</i>	<i>M. brachialis int.</i>
<i>Br</i>	<i>M. brachioradialis</i> .
<i>Edc</i>	<i>M. extensor digit. comm.</i>
<i>Eip</i>	<i>M. extensor indicis propr.</i>
<i>Epb</i>	<i>M. extensor pollicis brevis</i> .
<i>Epl</i>	<i>M. extensor pollicis longus</i> .
<i>Fdp</i>	<i>M. flexor digitorum profundus</i> .
<i>Fds</i>	<i>M. flexor digitorum sublimis</i> .
<i>Pl</i>	<i>M. palmaris longus</i> .
<i>Pt</i>	<i>M. pronator teres</i> .
<i>R</i>	Radius.
<i>RR</i>	Ursprung der Radialmuskeln.
<i>Reb</i>	<i>M. radialis ext. brevis</i> .
<i>Rel</i>	<i>M. radialis ext. longus</i> .
<i>Ri</i>	<i>M. radialis int.</i>
<i>Su</i>	<i>M. supinator</i> .
<i>U</i>	Ulna.
<i>Ue</i>	<i>M. ulnaris ext.</i>
<i>Ui</i>	<i>M. ulnaris int.</i>
*	Ursprünge der Beugemuskeln.
**	Schleimbeutel unter der Insertionssehne des <i>M. biceps</i> , geöffnet.
1	N. radialis superfic.
2	N. medianus.
3	N. u. Vasa interossea.
4	N. ulnaris.
5	N. radialis profund.

Fig. 1.

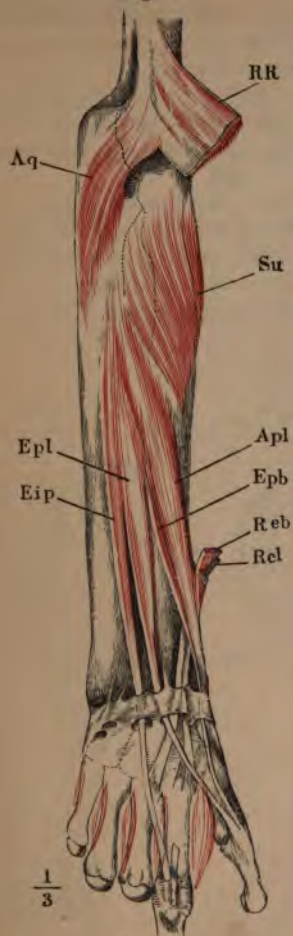


Fig. 4.



Fig. 5.

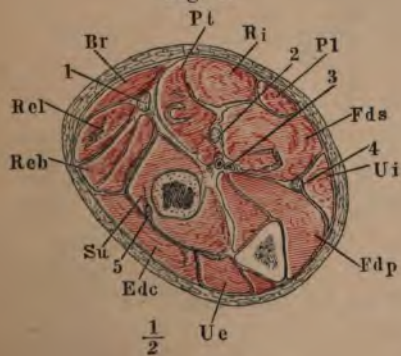


Fig. 2.

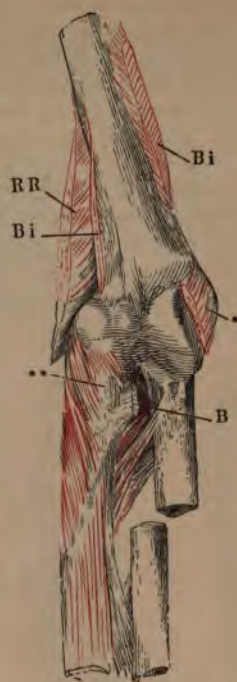


Fig. 3.



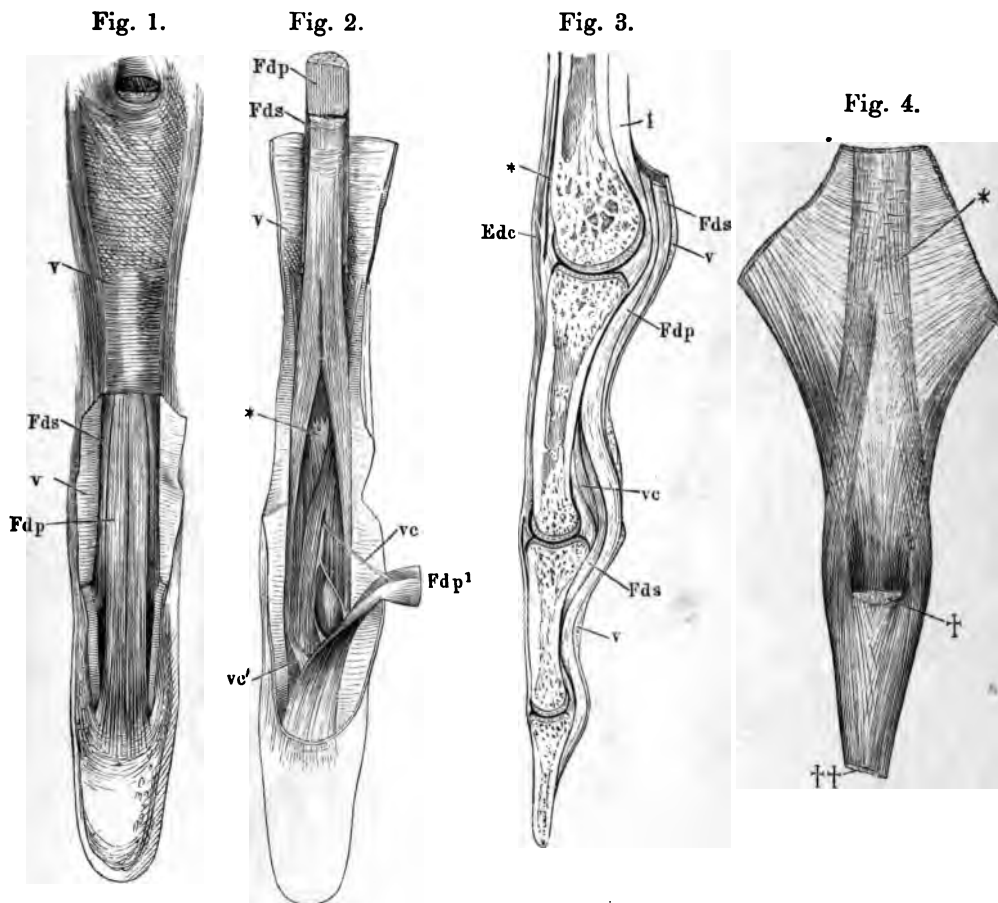
150 Tafel LXXXVI. — Sehnen der Fingerbeuger und Strecker.

Fig. 1. Vorderfläche eines Fingers mit den Sehnen der *Mm. flexores digit. subl. und prof.* in natürlicher Lage, das *Lig. vaginale* der Grundphalange geschlossen, der Mittel- und Endphalange durch einen Verticalschnitt geöffnet und nach beiden Seiten zurückgeschlagen.

Fig. 2. Das *Lig. vaginale* in der ganzen Länge geöffnet und zurückgeschlagen; aus der Sehne des *Flex. dig. prof.* ist ein Stück ausgeschnitten und das untere Ende umgeschlagen. * Bändchen zwischen den convergirenden Schenkeln der Sehne des *M. flexor digit. subl.*

Fig. 3. Sagittalschnitt eines Fingers. * Tiefe Fascie des Handrückens.

Fig. 4. Strecksehne des Fingers von vorn. * Anheftung an das Fingercarpalgelenk. ** Sehnenausbreitung der *Mm. lumbricales* und *interossei* nebst den *Ligg. dorsalia*. † Strecksehne der Mittelphalange, †† Strecksehne der Endphalange, an der Insertion abgeschnitten.



E d c Sehne des *M. extensor dig. comm.*

F d s Sehne des *M. flexor dig. sublimis.*

F d p Sehne des *M. flexor dig. profund.* *F d p'* Zurückgeschlagenes unteres Ende derselben.

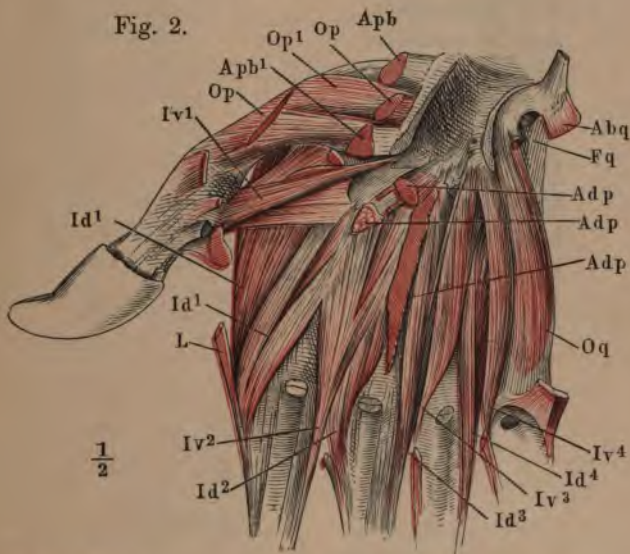
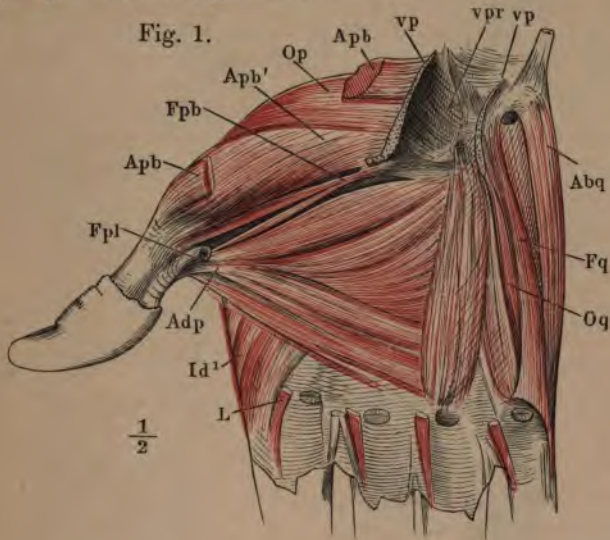
I *M. interosseus.*

v *Ligam. vaginale.*

vc *Vinculum* der Beugesehne der Mittelphalange. *vc'* *Vinculum* der Endphalange.

Fig. 1. Tiefe Muskeln der Hohlhand. Lig. carpi volare proprium durchschnitten und auseinandergelegt.

Fig. 2. Tiefe Muskeln der Hohlhand. Die Mm. abductor pollicis brevis, flexor poll. brevis, abductor pollicis, abductor und flexor brevis digiti quinti und die oberflächliche Portion des M. opponens pollicis bis auf Ursprung und Ende abgeschnitten.



Abq M. abductor digiti quinti.

Adp M. adductor pollicis.

Apb M. abductor pollicis brevis, oberflächlicher, *Apb'* tiefer Bauch.

Fpb M. flexor pollicis brevis.

Fpl Sehne des M. flexor pollicis longus.

Fq M. flexor digiti quinti.

Id M. interosseus dorsalis.

Iv M. interosseus volaris.

L M. lumbricalis.

Op M. opponens pollicis, oberflächliche, *Op'* tiefe Schichte.

Oq M. opponens digiti quinti.

vp Lig. volare proprium.

vpr Lig. volare profundum.

Fig. 1. Fascie der obern Extremität, von vorn.

Fig. 2. Fascie der obern Extremität, von hinten.

<i>A</i>	Art. brachialis.
<i>A'</i>	Art. radialis.
<i>Ap^l</i>	M. abductor pollicis longus.
<i>B''</i>	Oberflächliche Sehne des M. biceps.
<i>Br</i>	M. brachioradialis.
<i>cc</i>	Lig. carpi commune.
<i>Ep^b</i>	M. extensor pollicis brevis.
<i>im</i>	Lig. intermusculare mediale.
<i>Nm</i>	N. medianus.
<i>Nu</i>	N. ulnaris.
<i>Pl</i>	M. palmaris longus.
<i>Pt</i>	M. pronator teres.
<i>R</i>	Radialmuskeln.
<i>Ri</i>	M. radialis int.
<i>Ue</i>	M. ulnaris ext.
<i>Ui</i>	M. ulnaris int.
*	Fossa infraclavicularis.
**	Eintrittsstelle der V. basilica.
***	Austrittsstelle des N. cutaneus lateralis.
†	Austrittsstelle des Hautastes des N. radialis.
††	Bursa subcutanea olecrani.

Fig. 2.

Fig. 1.

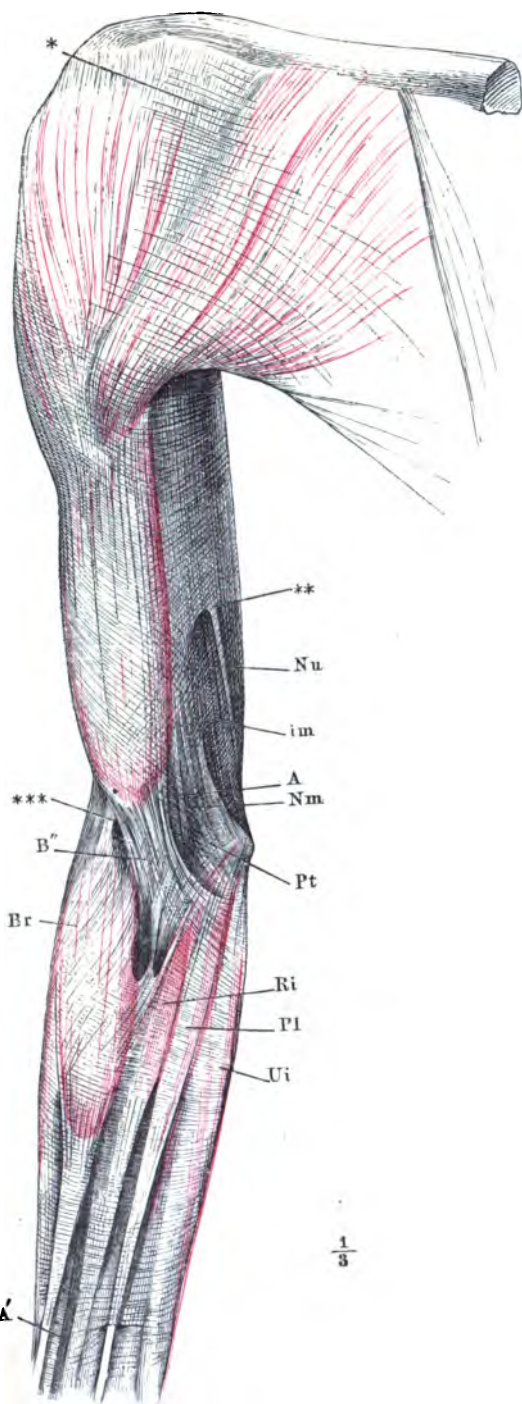
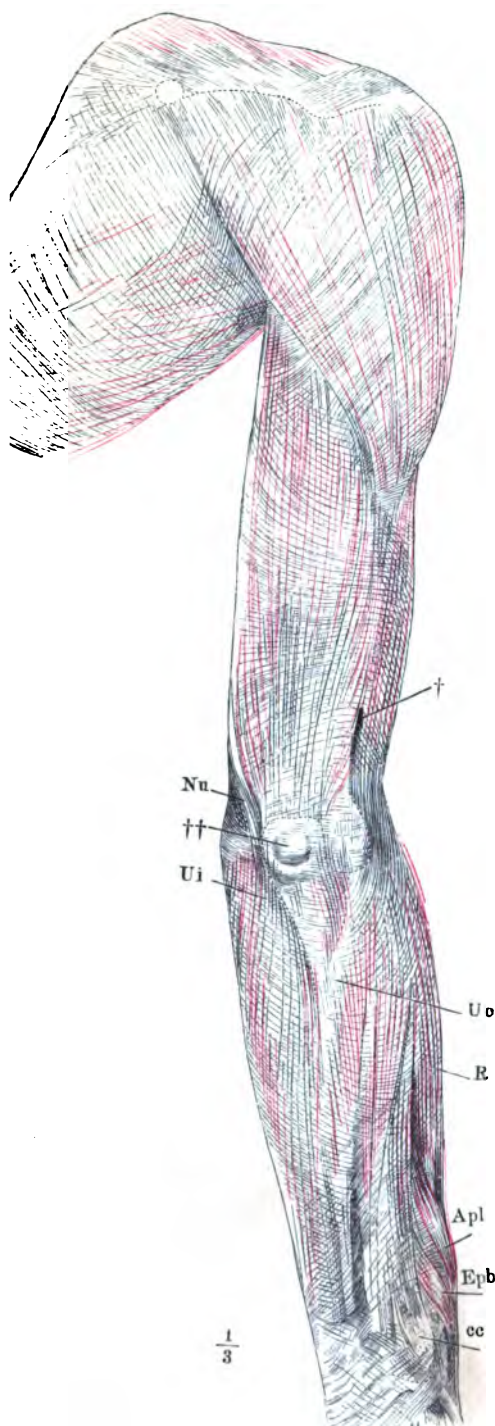


Fig. 1. Innere Hüft- und oberflächliche Schenkelmuskeln, von vorn.

Fig. 2. Innere Hüftmuskeln, von vorn. Der mediale Bauch des M. iliopsoas aus
geschnitten, die lateralen Ursprünge desselben lateralwärts umgelegt.

Fig. 3. M. rectus femoris, von vorn, mit auseinander gezogenen Fasern.

<i>Afl</i>	M. adductor femoris longus.
<i>Afm</i>	M. adductor femoris magnus.
<i>C</i>	Rippe.
<i>Dp</i>	Vertebralzacke des Zwerchfells.
<i>Gr</i>	M. gracilis.
<i>Ip</i> ¹	Medialer Kopf des M. iliopsoas (<i>M. psoas major</i>). <i>Ip</i> ² La- teraler Kopf des M. iliopsoas (<i>M. iliacus internus</i>). <i>Ip</i> ³ Ursprünge desselben am Iliosacralgelenk.
<i>Pe</i>	M. pectineus.
<i>Ql</i>	M. quadratus lumborum.
<i>Rf</i>	M. rectus femoris.
<i>Sar</i>	M. sartorius.
<i>Tf</i>	M. tensor fasciae.
<i>Va</i>	Bauchwirbel.
<i>Vl</i>	M. vastus lateralis, <i>Vl'</i> dessen oberflächlichste Lage.
<i>Vm</i>	M. vastus medialis.

Fig. 1.

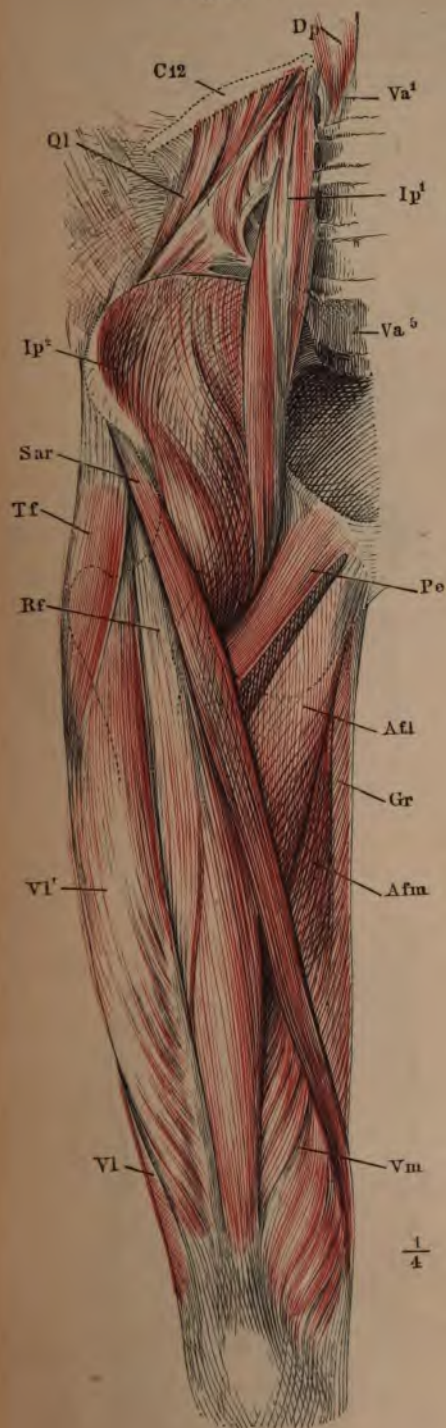


Fig. 2.

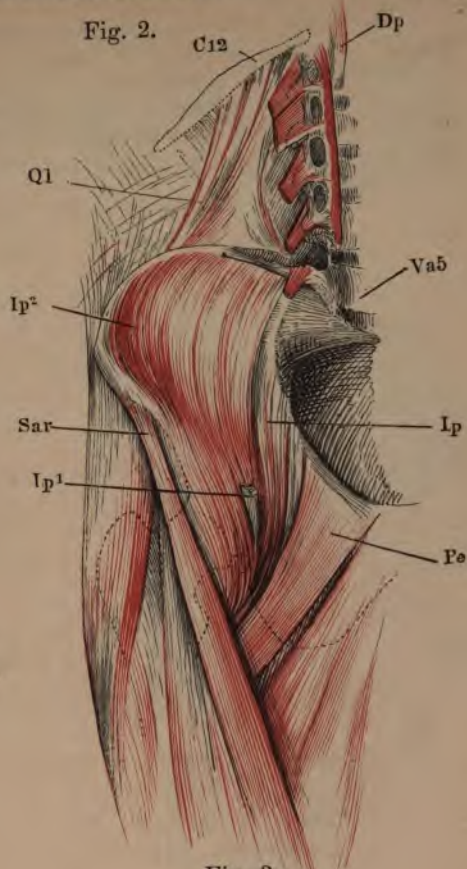


Fig. 3.



Fig. 1. *M. gluteus maximus*, von hinten. * Fascie des *M. gluteus medius*. — Fig. 2. Aeussere Hüftmuskeln, nach Entfernung des *M. gluteus maximus*, welcher dicht am Ursprung abgeschnitten und mit dem untern Ende lateralwärts umgelegt ist. — Fig. 3. Aeussere Hüftmuskeln, *M. glut. max.* bis auf die Insertionssehne am Knochen entfernt, *M. glut. med.* bis auf Ursprung und Insertion ausgeschnitten. *Mm. pyramidalis, quadratus femoris und obturator internus* am Austritt aus dem Becken durchgeschnitten.

Fig. 1.

 $\frac{1}{4}$

- Afmi* *M. adductor femoris minimus*.
Gm *M. gluteus maximus*, *Gm'* oberflächliche, *Gm''* tiefe Ursprünge.
Gmd *M. gluteus medius*, *Gmd** Insertionssehne desselben.
Gmi *M. gluteus minimus*, *Gmi'* Ursprung desselben von der Spina iliaca ant. sup.
Ni *N. ischiadicus*.
Oe *M. obturator ext.*
Oi *M. obturator int.* innerer Kopf, *Oi** Sehne des innern Kopfes, *Oi'*, *Oi''* desselben äusserer Kopf (*Mm. gemelli*).
P *M. pyramidalis*.
Qf *M. quadratus femoris*.
Vl *M. vastus lateralis*.

Fig. 2.

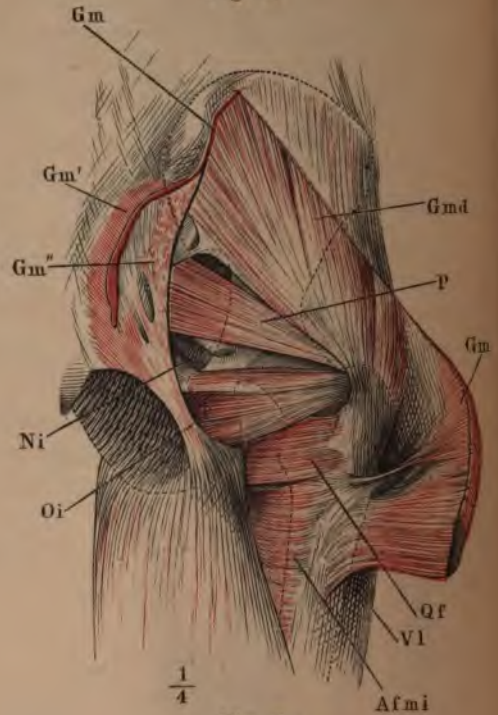
 $\frac{1}{4}$

Fig. 3.

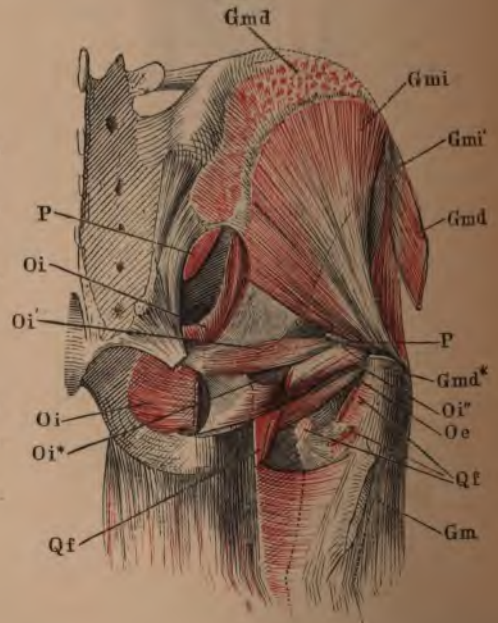


Fig. 1. Mediale Fläche des Oberschenkels. *M. vastus medialis* am Ursprung abgeschnitten und seitwärts zurückgeschlagen.

Fig. 2. Laterale Fläche des Oberschenkels. *M. vastus lateralis* durch- und theilweise ausgeschnitten, das Insertionsende nach vorn, die oberflächliche Portion nach hinten umgeschlagen, die tiefern Schichten am Ursprung abgetrennt.

Fig. 1.

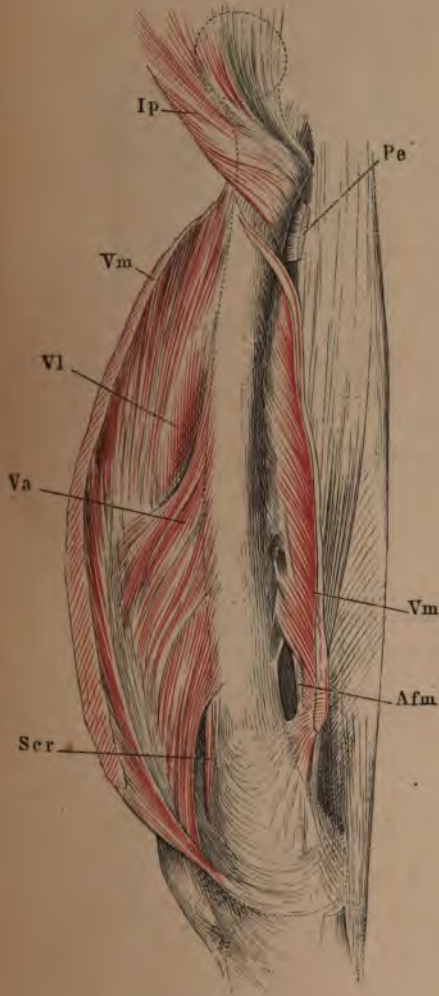
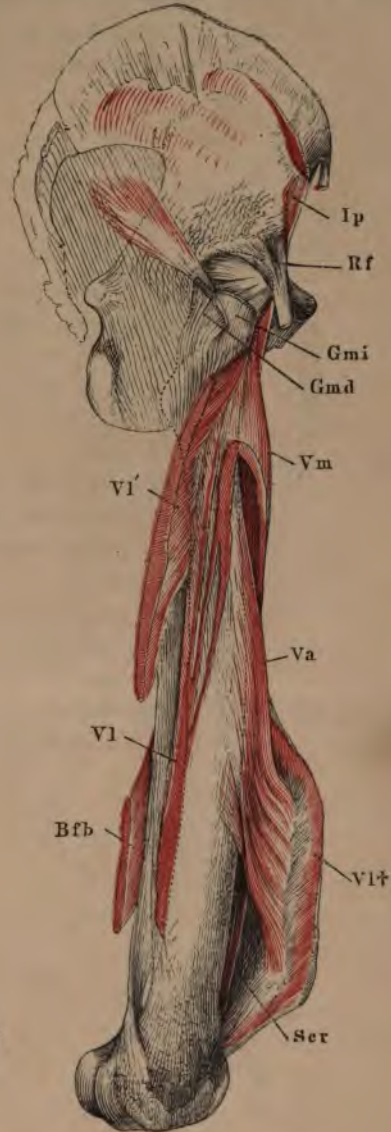


Fig. 2.



Afm M. adductor femoris magnus.
Bfb M. biceps femoris, kurzer Kopf.
Gmd Insertionssehne des *M. gluteus medius*.
Gmi Insertionssehne des *M. gluteus minimus*.
Ip M. iliopsoas.
Pe Insertionssehne des *M. pectineus*.

Rf Ursprungssehne des *M. rectus femoris*.
Ser M. subcruralis.
Va M. vastus anterior (*M. cruralis*).
Vl M. vastus lateralis, *Vl'* Oberflächliche Portion, *Vl†* Sehne derselben.
Vm M. vastus medialis.

Fig. 1. Muskeln der hintern Fläche des Oberschenkels.

Fig. 2. Hintere Fläche des Oberschenkels. Mm. semitendinosus, semimembranosus und der lange Kopf des M. biceps femoris am Ursprung abgeschnitten
Insertionen der Mm. adductores femoris.

-
- Afm* M. adductor femoris magnus.
Afm i M. adductor femoris minimus.
Bfb M. biceps femoris, kurzer Kopf.
Bfl M. biceps femoris, langer Kopf, *Bfl'* unteres Ende desselben.
Gr M. gracilis.
Gm Insertion des M. gluteus magnus.
Oi' M. obturator int., äusserer Kopf (*Mm. gemelli*).
Qf M. quadratus femoris.
Sar M. sartorius.
Sm M. semimembranosus.
St M. semitendinosus.
Vl' M. vastus lateralis, oberflächlicher Kopf.
 * Sehnenbogen, unter welchem die Vasa cruralia auf die Rückseite treten.

Fig. 1.

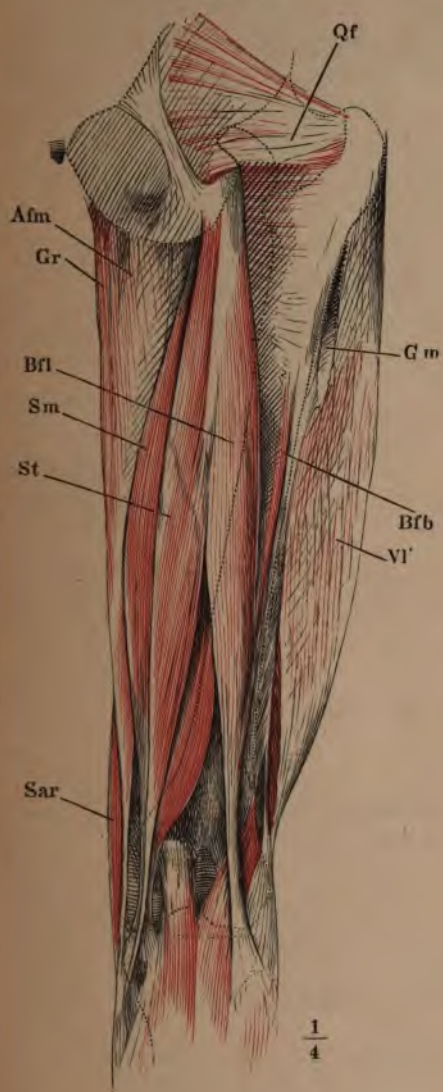


Fig. 2.

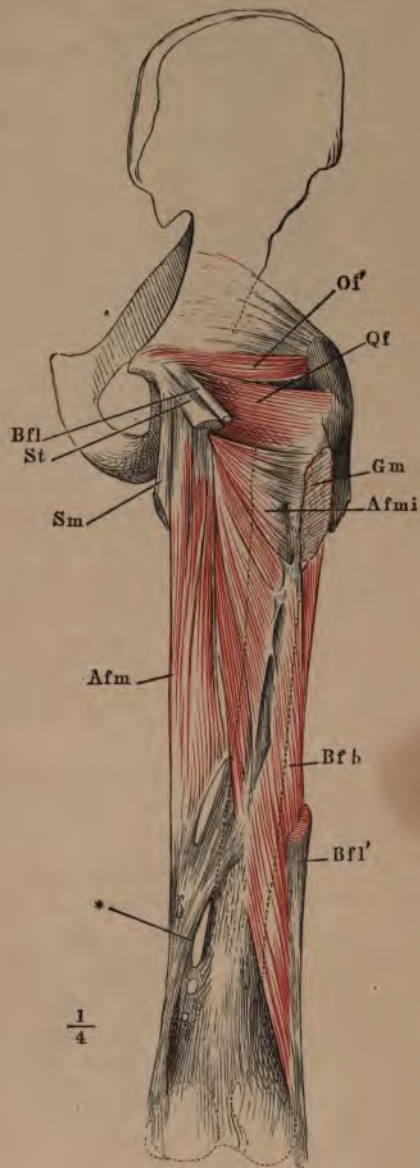


Fig. 1. Adductoren des Oberschenkels, von vorn.

Fig. 2. Mediale Fläche des Knies. Insertion der Mm. sartorius, gracilis, semitendinosus und semimembranosus.

Fig. 3. Horizontalschnitt des Oberschenkels über der Mitte.

-
- Afb* M. adductor femoris brevis, Ursprung. *Afb*† Insertion.
Afl M. adductor femoris longus. *Afl'* Ursprung. *Afl*† Insertion.
Afm M. adductor femoris magnus.
Afmi M. adductor femoris minimus, Ursprung. *Afmi*† Insertion.
Bfb M. biceps femoris brevis.
Bfl M. biceps femoris longus.
Gmd M. gluteus medius.
Gmi M. gluteus minimus.
Gr M. gracilis, *Gr'* Ursprung desselben.
Ip M. iliopsoas in der Fossa iliaca durchschnitten, *Ip*† Insertionssehne desselben.
Oe M. obturator externus.
Pe M. pectineus, oberflächlicher, *Pe'* tiefer Ursprung, *Pe*† Insertion.
Qf M. quadratus femoris.
Rf M. rectus femoris, *Rf'* Ursprungssehne desselben.
Sar M. sartorius, *Sar'* Ursprungssehne desselben.
Sm M. semimembranosus.
St M. semitendinosus.
Tf M. tensor fasciae, Ursprung.
Va M. vastus anterior (*M. cruralis*).
Vl M. vastus lateralis, *Vl'* dessen oberflächliche Schichte.
Vm M. vastus medialis.
1 Vasa cruralia und N. saphenus major.
2 N. ischiadicus.

Fig. 1.

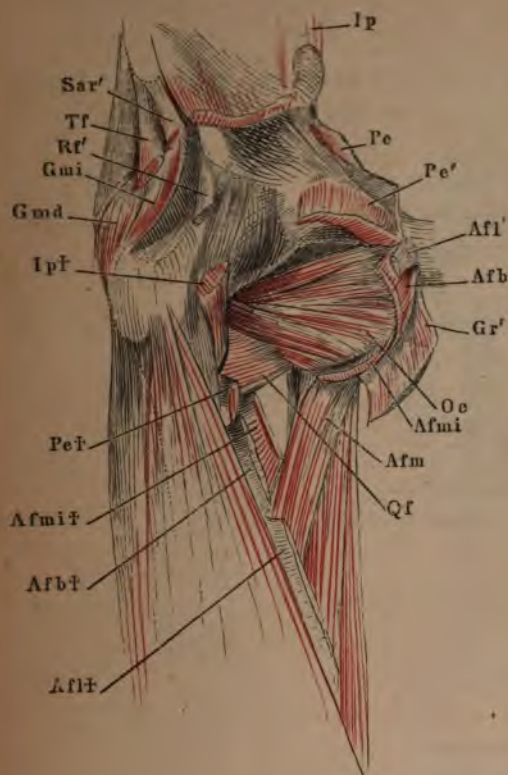


Fig. 2.

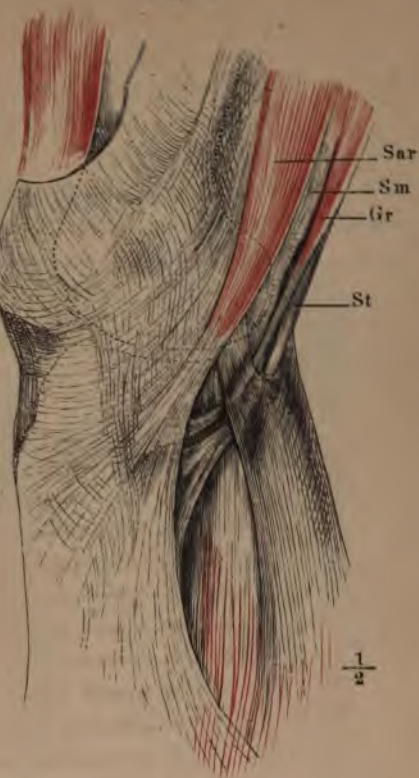


Fig. 3.

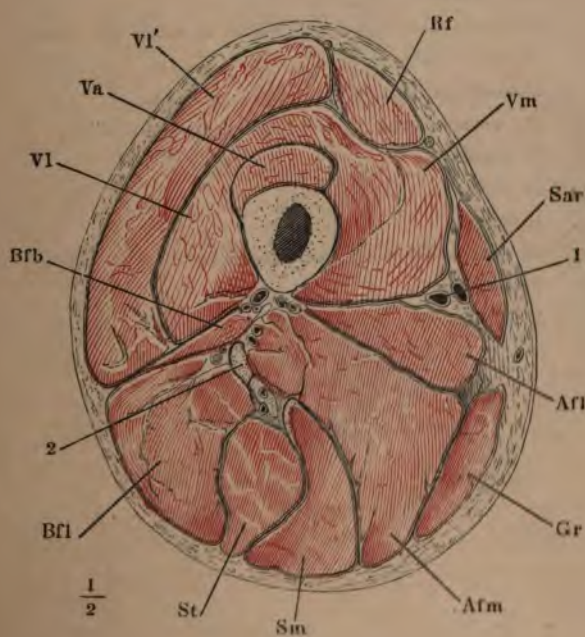


Fig. 1. Unterschenkel und Fuss in Plantarflexion von vorn. *M. extensor digitor. longus* mit dem *M. peroneus tertius* über dem *Lig. cruciatum* durchschnitten.

Fig. 2. Wadenmuskeln, oberflächliche Schichte.

Fig. 3. Wadenmuskeln, tiefe Schichte. Die Köpfe der *Mm. gastrocnemius* und *plantaris* am Ursprung abgeschnitten.

-
- Bf* *M. biceps femoris*, Insertionssehne.
Bfb *M. biceps femoris*, kurzer Kopf, Ursprung.
cr *Lig. cruciatum*.
Edb *M. extensor digit. (pedis) brevis*.
Edl *M. extensor digit. (pedis) longus*.
Ehb *M. extensor hallucis brevis*.
Ehl *M. extensor hallucis longus*.
FF Beugemuskeln des Fusses.
Gal *M. gastrocnemius*, lateraler Kopf.
Gam *M. gastrocnemius*, medialer Kopf.
Oq *M. opponens digiti quinti*.
PP *Mm. peronei*.
Peb *M. peroneus brevis*, *Peb'* Sehne desselben zur fünften Zehe.
Pel *M. peroneus longus*.
Pet *M. peroneus tertius*, *Pet†* Insertionssehne desselben.
Pla *M. plantaris*.
Po *M. popliteus*.
S *M. soleus*.
Sm *M. semimembranosus*, Insertionssehne.
TA Achillessehne.
Ta *M. tibialis ant.*

Fig. 1.

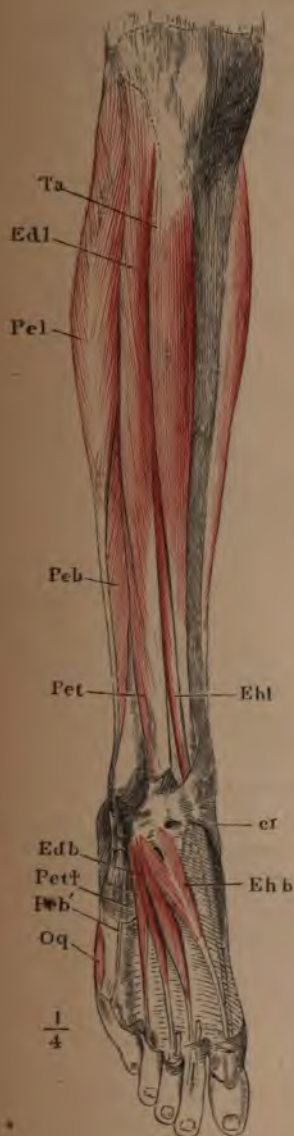


Fig. 2.

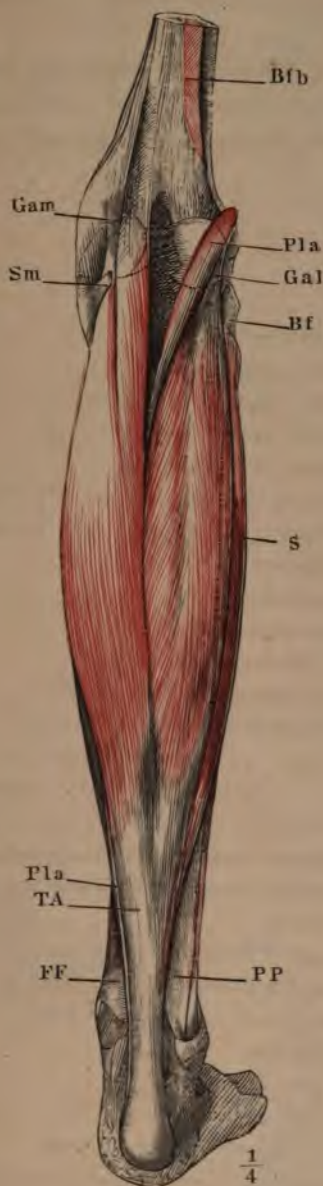


Fig. 3.

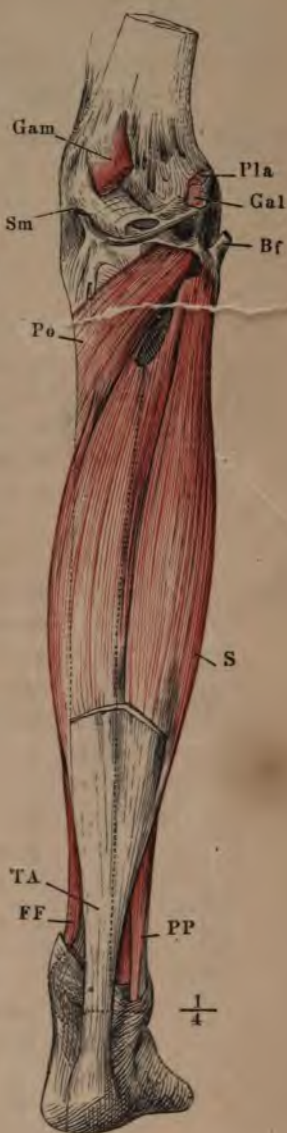


Fig. 1. Unterschenkel und Fuss, laterale Fläche. Der laterale Kopf des *M. gastrocnemius* und der *M. plantaris* am Ursprung abgeschnitten. *M. peroneus longus* am Ursprung des vordern Kopfes und an der Insertionssehne durchschnitten und nach hinten umgelegt. Die Muskeln der Vorderfläche in den Sehnen durchschnitten und hervorgezogen.

Fig. 2. Unterschenkel und Fuss, mediale Fläche, der Fuss mit dem medialen Rande aufwärts gebogen. *M. soleus* am medialen Kopf und an der Achillessehne abgeschnitten und rückwärts umgelegt.

Fig. 3. Horizontalschnitt des Unterschenkels oberhalb der Mitte.

-
- Abh* *M. abductor hallucis.*
Abq *M. abductor digit. quinti.*
Etl *M. extensor digit. (pedis) longus.*
Ehl *M. extensor hallucis long.*
Fdb *M. flexor digit. (pedis) brevis.*
Fdl *M. flexor digit. (pedis) longus, Fdl'* untere Anheftung
des über den *M. tibialis post.* herabziehenden Sehnenbogens.
Fhl *M. flexor hallucis longus.*
G *M. gastrocnemius.*
Gal *M. gastrocnemius, lateraler Kopf.*
l Laterale Ursprungssehne des *M. soleus.*
m Mediale Ursprungssehne des *M. soleus.*
Oq *M. opponens digiti quinti.*
Peb *M. peroneus brevis, Peb'* Sehne desselben zur fünften Zehe.
Pel *M. peroneus longus, Pel†* Insertionssehne desselben.
Pet *M. peroneus tertius, Pet†* Insertionssehne desselben.
Pla *M. plantaris.*
Rpi Retinaculum peroneorum inf.
Rps Retinaculum peroneorum sup.
S *M. soleus, S'* dessen lateraler Kopf.
TA Achillessehne.
Ta *M. tibialis anticus.*
Tp *M. tibialis posticus.*
* Vorderer Sehnenstreif des *M. soleus.*
** Sehnenbogen desselben zwischen dem lateralen und medialen Ursprung.
1 Vasa tibialia ant.
2 Vasa tibialia post.
3 Ligam. intermusculare fibulare.

Fig. 1.

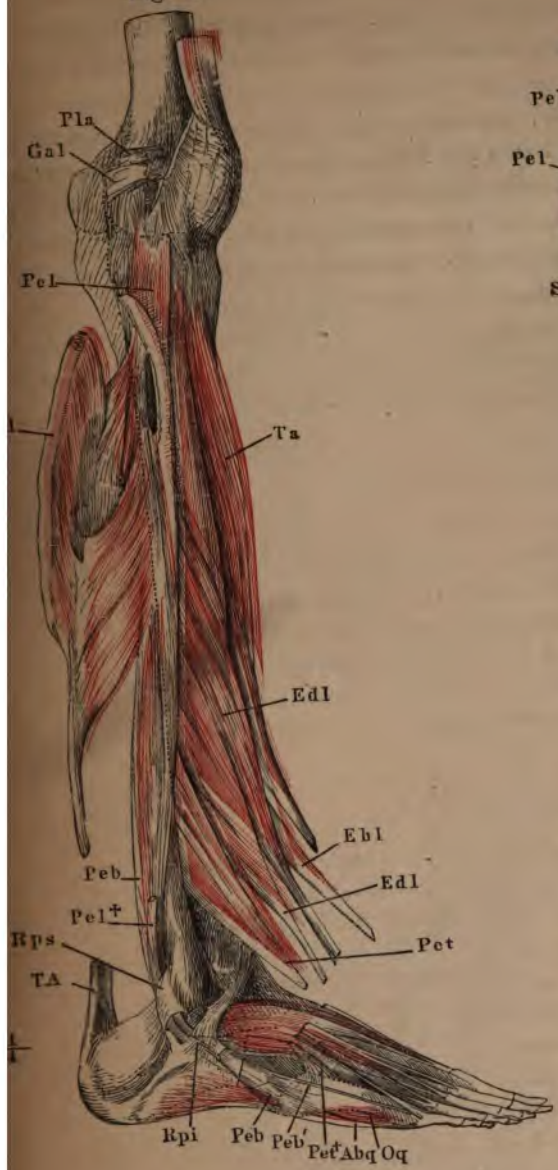
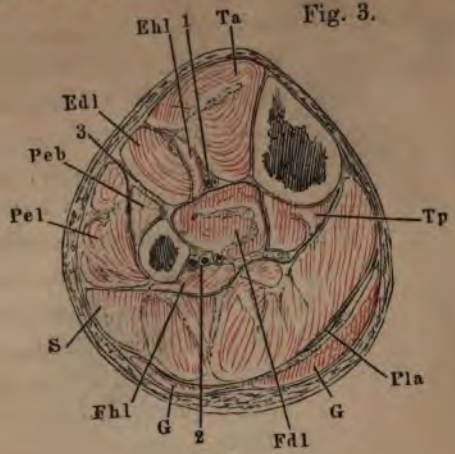
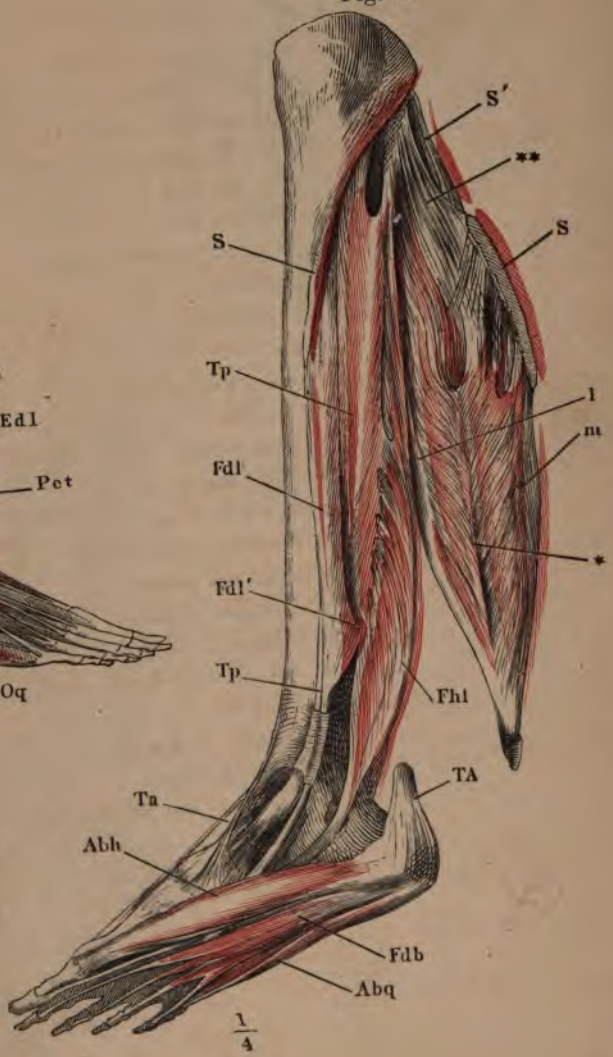


Fig. 3.



$\frac{1}{4}$
Fig. 2.



- Fig. 1** *Flexor des Hallucis oberflächliche Sehnen.* Die **Plantaris** von der Ursprung des **M. flexor digiti br.** abwärts aufgeschnitten. Sehne d. **M. abductor hallucis** durchgeschnitten, der **Muskelbauch** gegen den Fuß hin umgelegt.
- Fig. 2** *Flexor des Hallucis tiefer Sehnen.* **M. flexor digiti br.** von Ursprung bis zu den Basen der Zehen aufgeschnitten. **M. abductor hallucis** bis auf die Insertionsstelle entfernt. **M. abductor dig. quinti** an Ursprung abgetrennt und nach aussen umgelegt. Von der **Sehne d. M. flexor digiti long.** ist ein Stück aufgeschnitten, welches die **Th. longatula** am Ansatz des **M. flexor** nahezu lang. bedeckt.
- Fig. 3** *Tiefe Sehnen des Fusswurstmuskels.* **Mm. flexor digiti br. und abductor digiti quinti** am Ursprung abgeschnitten und entfernt; die **Sehne d. M. flexor digiti long.** und der plantare Kopf dieses Muskels am Ursprung abgeschnitten.

Abb **M. abductor hallucis**, *Abb'* Sehne desselben.

Abq **M. abductor digiti quinti**, *Abq'* Insertion seiner Fascie an die Tuberosität des fünften Mittelfussknochens, *Abq''* an die Basis der Grundphalange der fünften Zehe.

Adh **M. adductor hallucis**, *Adh'* dessen querrer Kopf.

cap **Lig. calcaneo-cuboid. plantare.**

f **Plantarfascie**

Fdb **M. flexor digiti brevis.**

Fdl **Sehne des M. flexor digiti long.**

Fdp, f **Plantarer Kopf des M. flexor digiti long. (Caro quadrata Syden).** *Fdp, f'* Zipfel desselben vom Lig. laciniatum.

Fhb **M. flexor hallucis brevis**, medialer Bauch, *Fhb'* lateraler Bauch.

Fhl **Sehne des M. flexor hallucis long.**

Fq **M. flexor 1a. digiti quinti.**

Id **M. interosseus dorsalis.**

Ip **M. interosseus plantaris.**

I **M. lumbrotendis**

Oq **M. opponens digiti quinti.**

Per **Sehne des M. peroneus long.**

Tp **Sehne des M. tibialis posterioris**

*** **Reste der Anheftung der Plantarfascie an die Bänder des Gross- und Kleinzehenrandes.**

† **Insertion der Plantarfascie an die Tuberosität des fünften Mittelfussknochens**

Muskeln der Fusssohle.

167

Fig. 1.

Fig. 2.

Fig. 3.

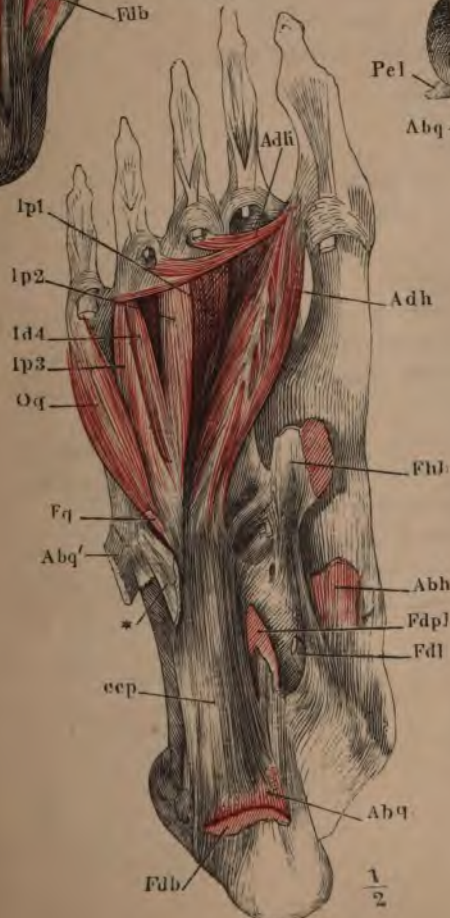
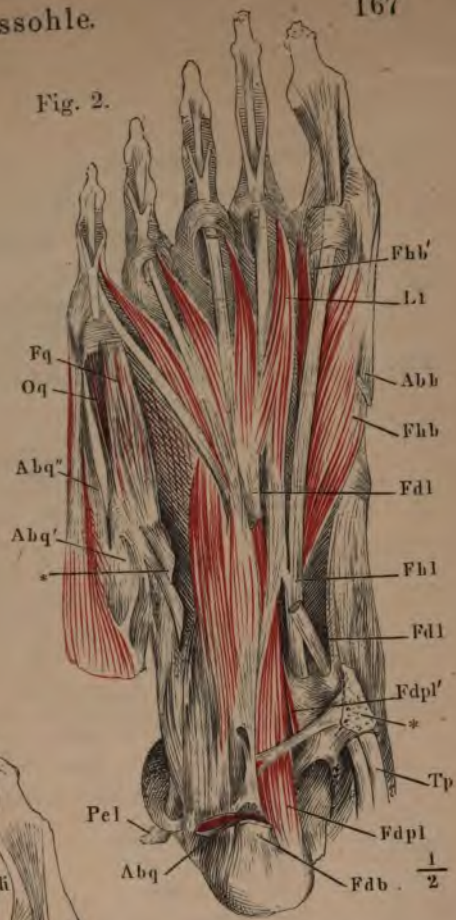


Fig. 1. Unterschenkel und Fuss in Plantarflexion von vorn. *M. extensor digitor. longus* mit dem *M. peroneus tertius* über dem *Lig. cruciatum* durchschnitten.

Fig. 2. Wadenmuskeln, oberflächliche Schichte.

Fig. 3. Wadenmuskeln, tiefe Schichte. Die Köpfe der *Mm. gastrocnemius* und *plantaris* am Ursprung abgeschnitten.

- Bf* *M. biceps femoris*, Insertionssehne.
Bfb *M. biceps femoris*, kurzer Kopf, Ursprung.
cr *Lig. cruciatum*.
Edb *M. extensor digit. (pedis) brevis*.
Edl *M. extensor digit. (pedis) longus*.
Ehb *M. extensor hallucis brevis*.
Ehl *M. extensor hallucis longus*.
FF Beugemuskeln des Fussee.
Gal *M. gastrocnemius*, lateraler Kopf.
Gam *M. gastrocnemius*, medialer Kopf.
Oq *M. opponens digiti quinti*.
PP *Mm. peronei*.
Peb *M. peroneus brevis*, *Peb'* Sehne desselben zur fünften Zehe.
Pel *M. peroneus longus*.
Pet *M. peroneus tertius*, *Pet†* Insertionssehne desselben.
Pla *M. plantaris*.
Po *M. popliteus*.
S *M. soleus*.
Sm *M. semimembranosus*, Insertionssehne.
TA Achillessehne.
Ta *M. tibialis ant.*

Fig. 1.

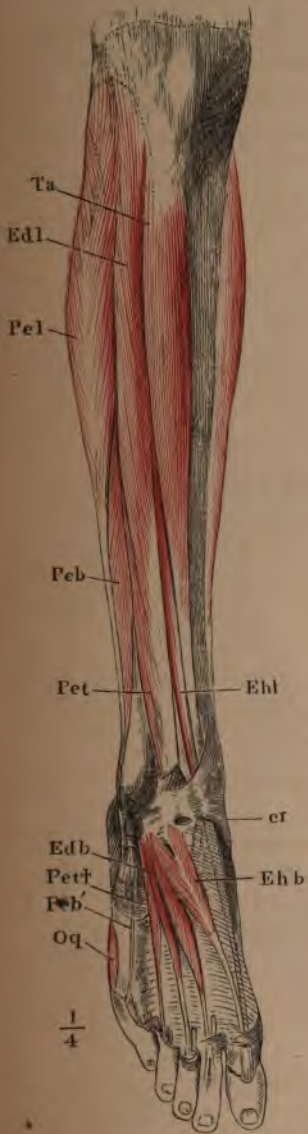


Fig. 2.

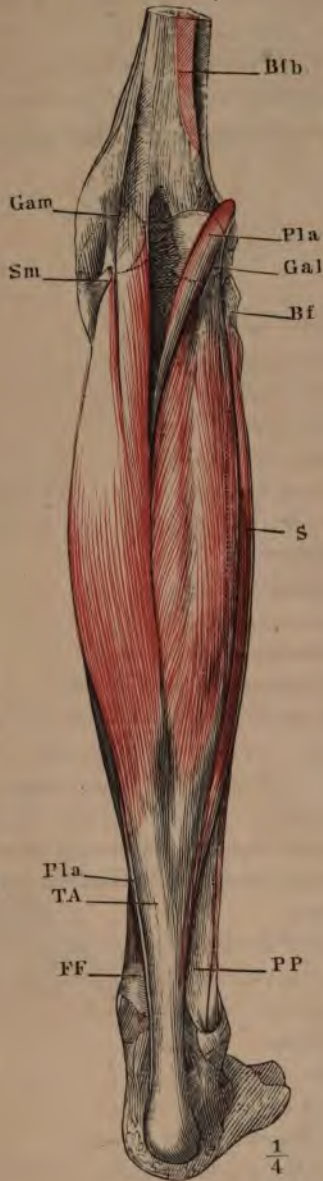


Fig. 3.

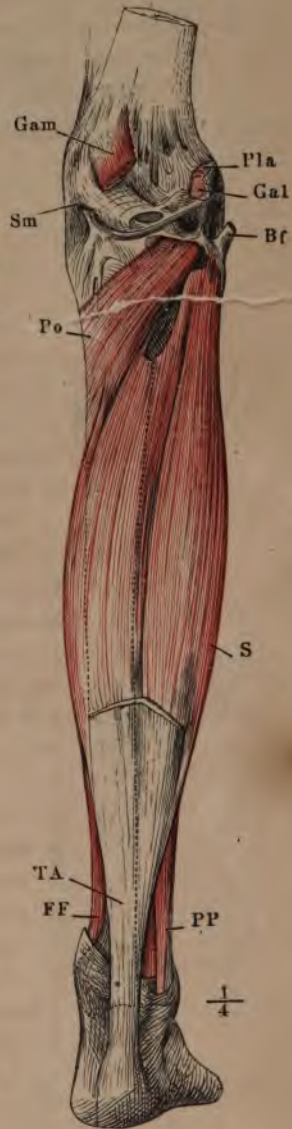


Fig. 1. Muskeln der Fusssohle, oberflächliche Schichte. Die Plantarfascie längs dem Ursprung des *M. flexor digit. brevis* abgeschnitten. Sehne des *M. abductor hallucis* durchschnitten, der Muskelbauch gegen den Fussrand umgelegt.

Fig. 2. Muskeln der Fusssohle, tiefere Schichte. *M. flexor digit. br.* vom Ursprung bis zu den Basen der Zehen ausgeschnitten. *M. abductor hallucis* bis auf die Insertionssehne entfernt. *M. abductor dig. quinti* am Ursprung abgetrennt und nach aussen umgelegt. Von der Sehne des *M. flexor digit. long.* ist ein Stück ausgeschnitten, welches die Theilungsstelle der Sehne des *M. flexor hallucis long.* bedeckte.

Fig. 3. Tiefste Schichte der Fusssohlenmuskeln. *Mm. flexor digit. br. und abductor digiti quinti* am Ursprung abgeschnitten und entfernt; die Sehne des *M. flexor digit. long.* und der plantare Kopf dieses Muskels am Ursprung abgeschnitten.

-
- Abh* *M. abductor hallucis*, *Abh'* Sehne desselben.
Abq *M. abductor digiti quinti*, *Abq'* Insertion seiner Fascie an die Tuberosität des fünften Mittelfussknochens, *Abq''* an die Basis der Grundphalange der fünften Zehe.
Adh *M. adductor hallucis*, *Adh'* dessen querer Kopf.
ccp Lig. calcaneo-cuboid. plantare.
F Plantarfascie.
Fdb *M. flexor digit. brevis*.
Fdl Sehne des *M. flexor digit. long.*
Fdpl Plantarer Kopf des *M. flexor dig. long.* (*Caro quadrata Sylvi*), *Fdpl'* Zipfel desselben vom Lig. laciniatum.
Fhb *M. flexor hallucis brevis*, medialer Bauch, *Fhb'* lateraler Bauch.
Fhl Sehne des *M. flexor hallucis long.*
Fq *M. flexor br. digiti quinti*.
Id *M. interosseus dorsalis*.
Ip *M. interosseus plantaris*.
L *M. lumbricalis*.
Oq *M. opponens digiti quinti*.
Pel Sehne des *M. peroneus long.*
Tp Sehne des *M. tibialis posticus*.
* Reste der Anheftung der Plantarfascie an die Bänder des Gross- und Kleinzehenrandes.
** Insertion der Plantarfascie an die Tuberosität des fünften Mittelfussknochens.

Muskeln der Fusssohle.

167

Fig. 1.

Fig. 2.

Fig. 3.

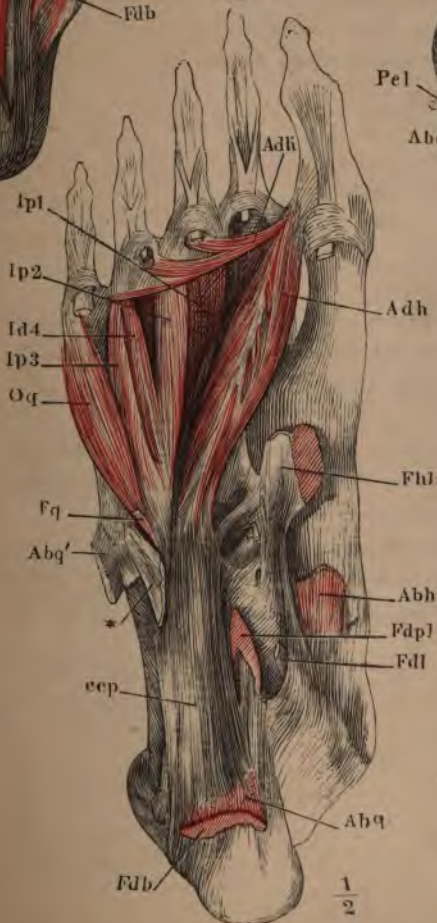
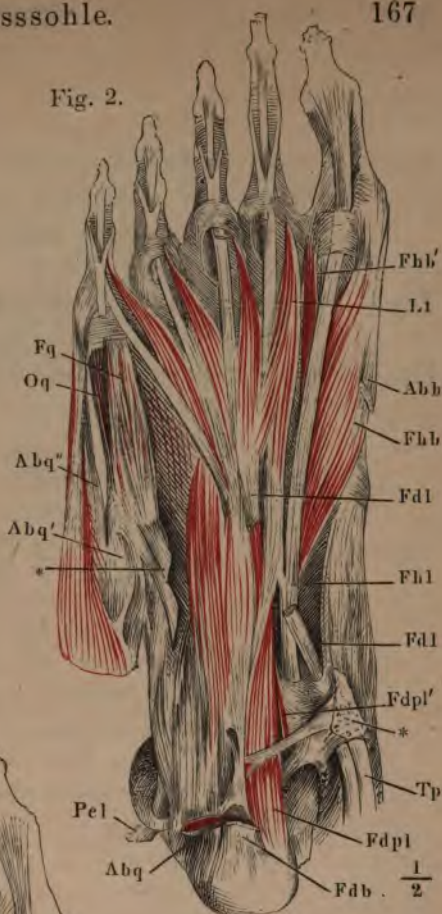
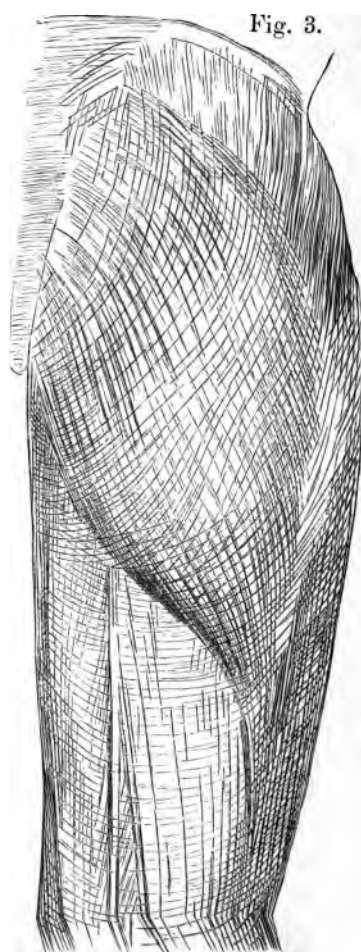
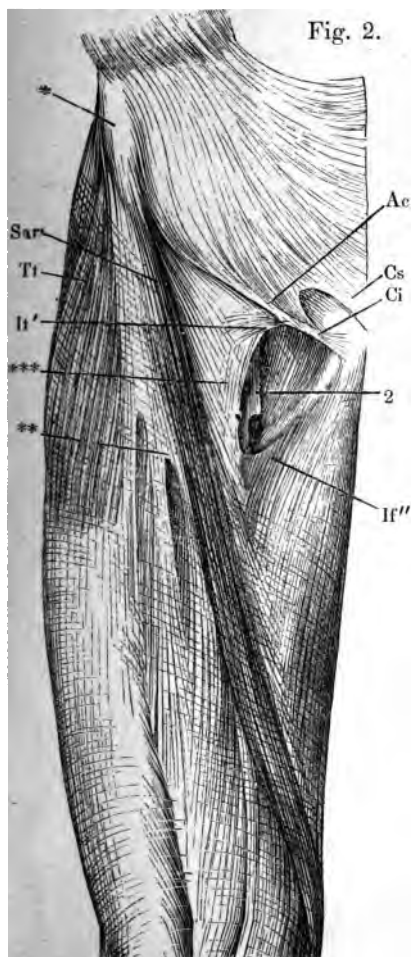
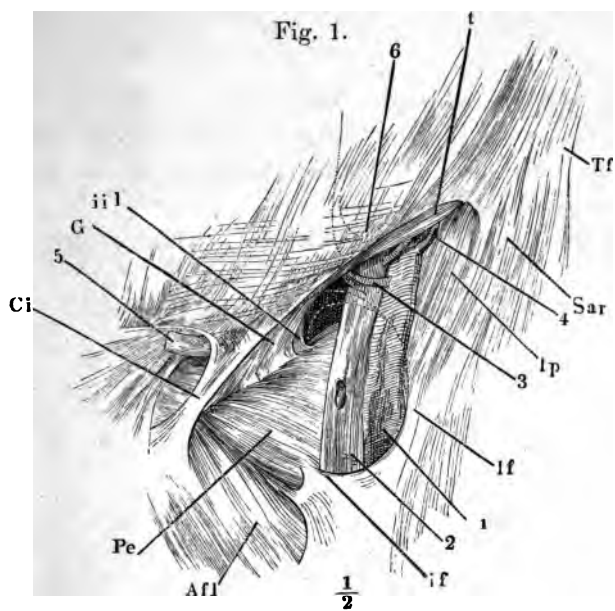


Fig. 1. Gegend des Leisten- und äussern Schenkelrings; von der vordern W des letztern ist die obere Hälfte abgetragen; die verschiedenen A der Fortsetzung der Incisura falciformis nach oben durch Hülfsli angedeutet.

Fig. 2. Fascie der vordern Fläche des Schenkels. Leisten- und äusserer Schenkelring.

Fig. 3. Fascie der hintern Fläche des Oberschenkels.

-
- | | |
|-------------|---|
| <i>Ac</i> | Schenkelbogen (<i>Lig. Poupart</i>). |
| <i>Afl</i> | <i>M. adductor femoris long.</i> |
| <i>Ci</i> | Unterer Schenkel des Leistenrings. |
| <i>Cs</i> | Oberer Schenkel des Leistenrings. |
| <i>G</i> | <i>Ligam. Gimbernati.</i> |
| <i>If</i> | <i>Incisura falciformis</i> , <i>If'</i> oberes Horn derselben, <i>If''</i> unteres Horn derselben. |
| <i>iiil</i> | <i>Ligam. inguinale internum laterale.</i> |
| <i>Ip</i> | <i>M. iliopsoas.</i> |
| <i>Pe</i> | <i>M. pectineus.</i> |
| <i>Sar</i> | <i>M. sartorius.</i> |
| <i>t</i> | <i>Fascia transversalis.</i> |
| <i>Tf</i> | <i>M. tensor fasciae.</i> |
| 1 | <i>A. cruralis.</i> |
| 2 | <i>V. cruralis.</i> |
| 3 | <i>Vasa epigastrica</i> , ihr Verlauf an der Innenfläche der Bauchwand mit einer punktirten Linie bezeichnet. |
| 4 | <i>A. circumflexa ilium.</i> |
| 5 | Samenstrang. |
| 6 | Punktirte Linie, die Stelle andeutend, an welcher auf der innern Fläche der Bauchwand die <i>Plica semilunaris fasciae transv.</i> liegt. |
| * | <i>Spina iliaca ant. sup.</i> |
| ** | Austrittsstelle des <i>N. cutaneus ant.</i> |
| *** | Vordere Wand des Schenkelkanals. |



- Fig. 1. Fascie des Unterschenkels, Vorderseite. * Mediale Fläche der Tibia.
 ** Fasern der Oberschenkelfascie, welche sich an die Tuberosität der Tibia befestigen. *** Ausstrahlung der Sehnen der Mm. sartorius, gracilis und semitendinosus.
- Fig. 2. Fascie des Unterschenkels, Rückseite. * Eintrittsstelle der V. saphena parva.
- Fig. 3. Ursprung des Lig. cruciatum am lateralen Knöchel.

-
- Abq* Ursprung des M. abductor dig. quinti.
cf Lig. calcaneo - fibulare.
cr Lig. cruciatum.
Ecl M. extensor digit. (pedis) longus
EE Kurze Streckmuskeln der Zehen.
Ehl M. extensor hallucis longus.
Peb Sehne des M. peroneus brevis.
Pel Sehne des M. peroneus longus.
pi Lig. patellare inf.
PP Peronealmuskeln.
t Lig. transversum.
TA Achillessehne.
Ta M. tibialis ant.
tcp Lig. talo-calcaneum posticum.
 1 u. 2 Retinaculum peroneorum inf., beide Fächer geöffnet.
 3 Oberflächliche Wurzel des Lig. cruciatum.
 4 Tiefe Wurzel desselben.

Fig. 1.

Fig. 2.

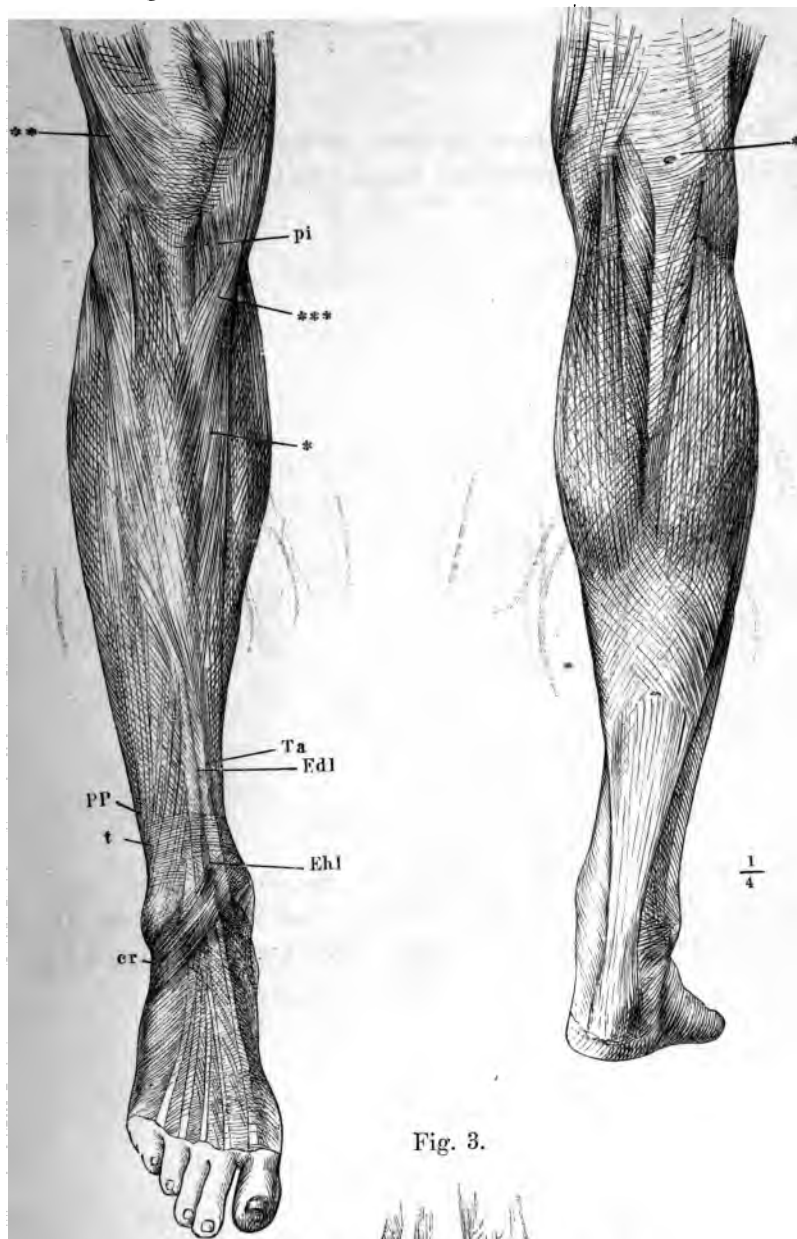
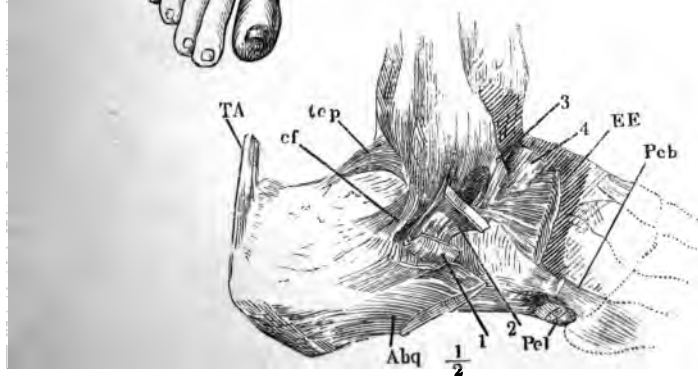


Fig. 3.



Die Muskulatur der Hand und Finger.

- 1. Die Muskulatur der Hand und Finger ist in zwei Gruppen geteilt.
- 2. Die Muskulatur der Hand und Finger ist in zwei Gruppen geteilt.



Fig. 2.



Die Muskulatur der Hand und Finger ist in zwei Gruppen geteilt. Die **Mm. interossei** bilden die **grundlegende** Muskulatur der Hand und Finger. Die **Mm. adductores** und **abductores** des Daumens bilden die **zusätzliche** Muskulatur der Hand und Finger. Die **Mm. adductores** und **abductores** des Daumens bilden die **zusätzliche** Muskulatur der Hand und Finger.

ANATOMISCHER
HAND - A T L A S

ZUM

GEBRAUCH IM SECIRSAAL

VON

DR. J. HENLE,
PROFESSOR IN GÖTTINGEN.

VIERTES HEFT:

G E F Ä S S E.

BRAUNSCHWEIG,
DRUCK UND VERLAG VON FRIEDRICH VIEWEG UND SOHN.
1874.

Die Herausgabe einer Uebersetzung in französischer und englischer Sprache,
sowie in anderen modernen Sprachen wird vorbehalten.

IV.

ANGIOLOGISCHER THEIL.

Fig. 1. Herz mit injicirten Höhlen und Gefäßstämmen, die venöse Abtheilung schwarz, die arterielle roth, vordere Fläche.

Fig. 2. Dasselbe, hintere Fläche.

<i>Aa</i>	Aorta adscendens.
<i>aA</i>	Arcus Aortae.
<i>Ab</i>	A. anonyma brachiocephal.
<i>Ad</i>	Aorta descendens.
<i>Ade</i>	V. anonyma brachiocephal. dextra.
<i>Adx</i>	Auricula dextra.
<i>As</i>	Auricula sin.
<i>Asi</i>	V. anonyma brachiocephal. sin.
<i>Atd</i>	Atrium dextr.
<i>Ats</i>	Atrium sin.
<i>az</i>	V. azygos.
<i>ci</i>	V. cava inf.
<i>crd</i>	A. coronaria cord. dextra.
<i>crs</i>	A. coronaria cord. sin.
<i>Cs</i>	A. carotis sin.
<i>cs</i>	V. cava sup.
<i>La</i>	Lig. arterios.
<i>P</i>	A. pulmonalis, Stamm.
<i>Pd</i>	A. pulmon. dextra.
<i>pd</i>	V. pulmon. dextra.
<i>Ps</i>	A. pulmon. sin.
<i>ps</i>	V. pulmon. sin.
<i>Ssi</i>	A. subclavia sin.
<i>Vc</i>	V. coronaria cordis.
<i>Vd</i>	Ventriculus dexter.
<i>Vs</i>	Ventriculus sin.

Fig. 1.

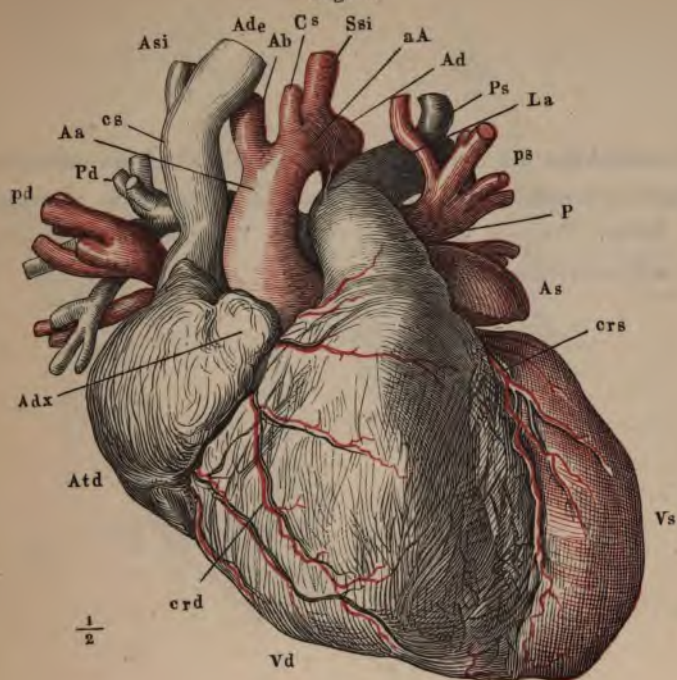


Fig. 2.

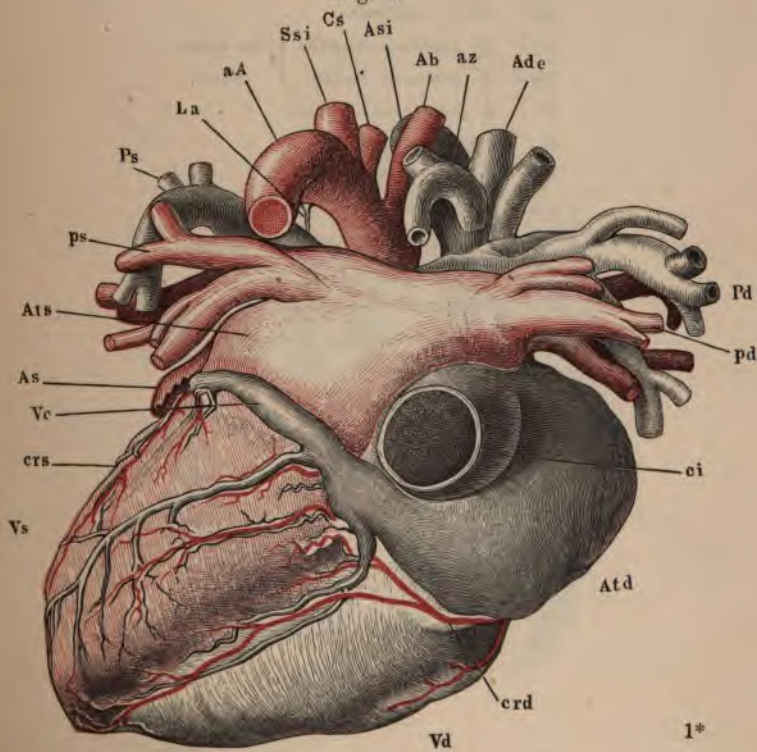


Fig. 1. Frontalschnitt des Herzens. * Durchschnitt der Vasa coronaria.

Fig. 2. Sagittalschnitt des Herzens durch die Axe des Conus arteriosus. Link
Hälfte. * Obere Wand des rechten Ventrikels zwischen der venösen
und arteriellen Mündung.

<i>A</i>	Aorta (schräg durchschnitten).	
<i>Ats</i>	Atrium sin.	
<i>Ca</i>	Con. arterios.	
<i>ci</i>	V. cava inf.	
<i>Fo</i>	Fossa ovalis.	
<i>Mp</i>	Musc. papillaris.	
<i>Mpl</i>	M. papillaris lateralis	} des linken Ventr.
<i>Mpm</i>	M. papillaris medial.	
<i>P</i>	A. pulmonalis, Wurzel.	
<i>S'</i>	Septum atriorum.	
<i>S''</i>	Septum ventriculorum.	
<i>VE</i>	Valvula Eustachii.	
<i>Vmp</i>	Valvula mitralis, hinterer Lappen.	
<i>VT</i>	Valvula Thebesii.	
<i>Vsp</i>	Valvula semilun. pulmonalis.	
<i>Vtm</i>	Valvula tricuspidal. Medialer Lappen.	
<i>Vtp</i>	Valvula tricuspidal. Hinterer Lappen.	

Fig. 1.

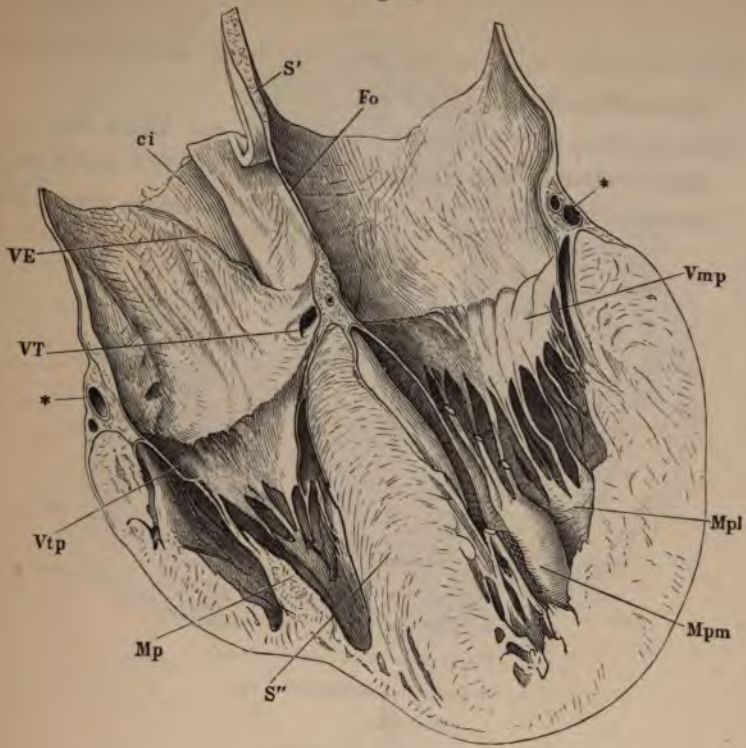


Fig. 2.

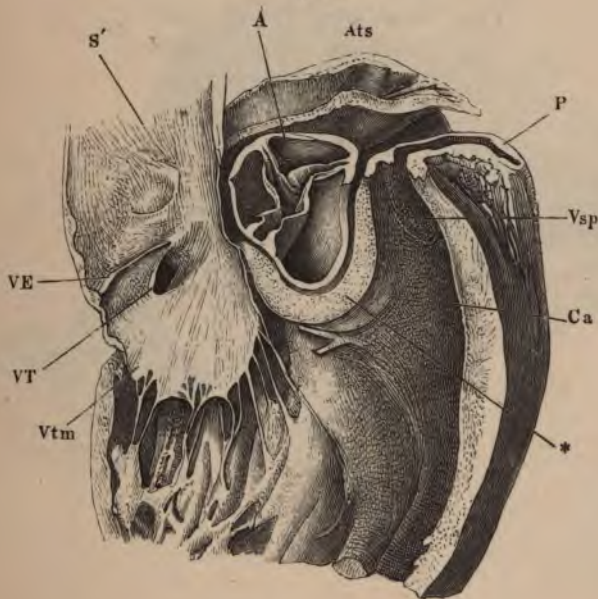


Fig. 1. Herz von oben, die Arterien über den Sinus, die Atrien oberhalb d
Horizontalfurche abgeschnitten.

Fig. 2. Herz von oben, die Arterien an der Wurzel, die Atrien dicht über d
Horizontalfurche abgeschnitten, der linke Ventrikel durch einen Ve
ticalschnitt gespalten, um die Atrioventricularklappe auszubreiten.

<i>A</i>	Aorta.
<i>Atd</i>	Atrium dext.
<i>Ats</i>	Atrium sin.
<i>Ca</i>	Con. arterios.
<i>crd</i>	A. coronaria dextra.
<i>crs</i>	A. coronaria sin.
<i>Nvd</i>	Nodus valv. atrioventric. dexter.
<i>Nvs</i>	Nodus valv. atrioventric. sin.
<i>P</i>	A. pulmonalis.
<i>Sc</i>	Sinus coronarius, geöffnet.
<i>Vd</i>	Ventric. dexter.
<i>Vma</i>	Valvula mitr. Vorderer Lappen.
<i>Vmp</i>	Valvula mitr. Hinterer Lappen.
<i>Vs</i>	Ventric. sin.
<i>Vsp</i>	Valvula semilun. pulmon. -
<i>VT</i>	Valvula Thebesii.
<i>Vta</i>	Valvula tricuspid. Vorderer Lappen.
<i>Vtm</i>	Valvula tricuspid. Medialer Lappen.
<i>Vtp</i>	Valvula tricuspid. Hinterer Lappen.
1	Filum coron. sin.
2	Filum coron. dextr.
3	Linker Ast des Fil. coron. medium.
4	Rechter Ast des Fil. coron. medium.

Fig. 1.

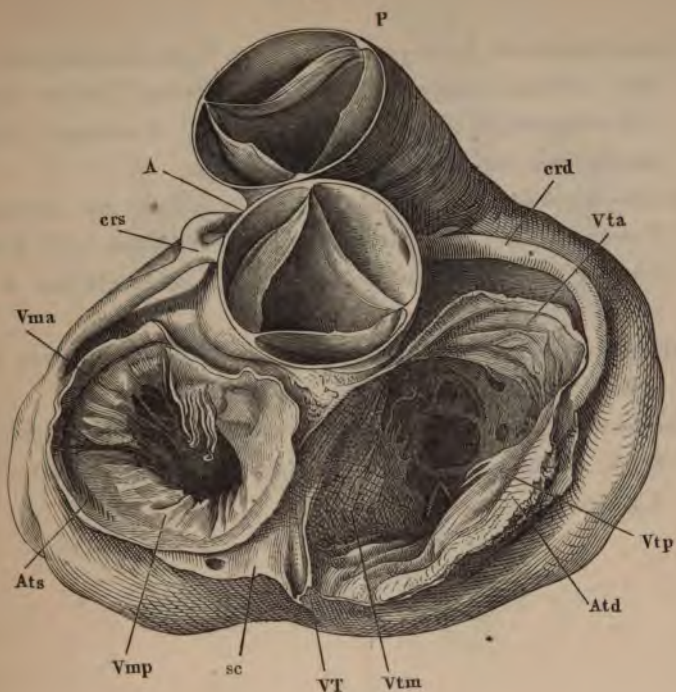
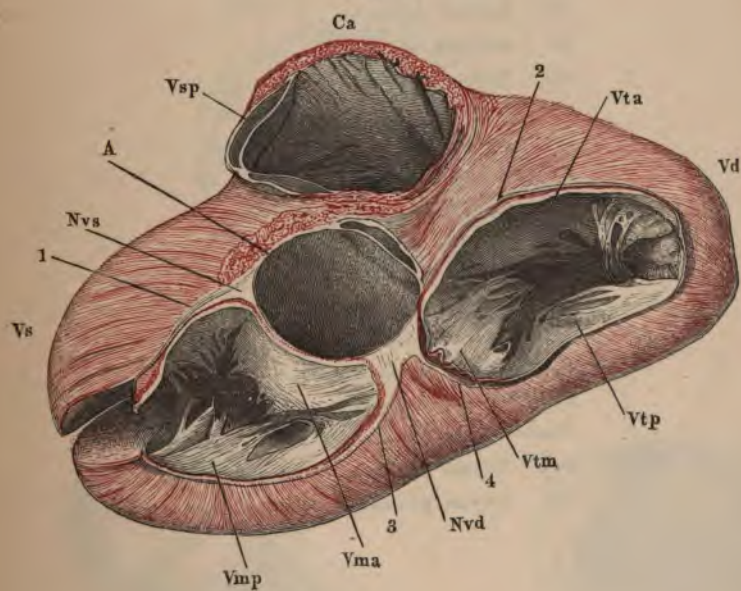


Fig 2.



- Fig. 1. Verticalschnitt der Aorta und des aus der Wand derselben sich fortsetzenden vorderen Lappens der Valv. mitralis. Rechte Schnitthälfte.
* Bindegewebige Platte der Valv. mitralis. 1 schräge, 2 quere Muskelschichten der Wand des linken Atrium.
- Fig. 2. Horizontalschnitt eines Kinderherzens unterhalb der Horizontalfurche. Untere Hälfte. * Durchschnittener Muskelbalken. ** A. coron. dextra, der Länge nach angeschnitten. † Querschnitt der A. coronaria sin. †† Hintere Longitudinalfurche.
- Fig. 3. Scheidewand eines (in Alkohol) gehärteten Fötalherzens, von der rechten Seite. * Einmündung des Sin. coronarius.
- Fig. 4. Horizontalschnitt durch die Atrien eines gehärteten Fötalherzens, unteres Stück, von oben gesehen. 1 Rechte, 2 Linke Atrioventricularöffnung. 3 Eingang in die rechte Auricula.

<i>A</i>	Aorta.
<i>Adx</i>	Auricula dextra.
<i>As</i>	Auricula sin.
<i>ci</i>	V. cava inf.
<i>crd</i>	Eingang der A. coronaria dextra.
<i>Nv</i>	Nodus valvulae atrioventricularis.
<i>P</i>	A. pulmonalis.
<i>S¹</i>	Eigentliches Septum atriorum.
<i>S²</i>	Valvula foram. ovalis.
<i>VE</i>	Valvula Eustachii.
<i>Vma</i>	Valvula mitr. Vorderer Lappen.
<i>Vmp</i>	Valvula mitr. Hinterer Lappen.
<i>Vsa</i>	Valvula seminularis aort.
<i>Vt</i>	Valvula tricuspidalis.
<i>Vta</i>	Valvula tricuspidal. Vorderer Lappen.
<i>Vtm</i>	Valvula tricuspidal. Medialer Lappen.
<i>Vtp</i>	Valvula tricuspidal. Hinterer Lappen.

Herz.

Fig. 1.

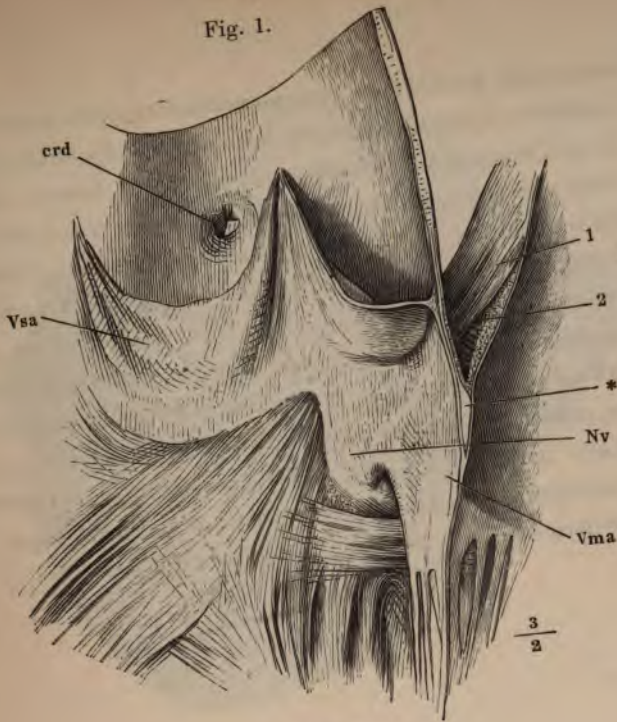


Fig. 2.

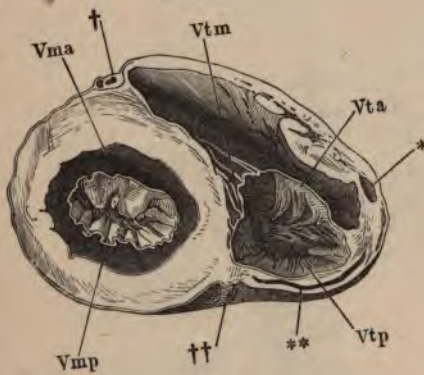


Fig. 3.

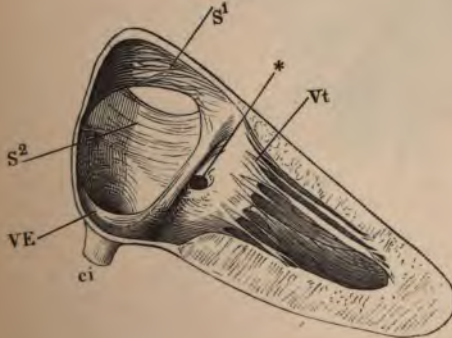


Fig. 4.

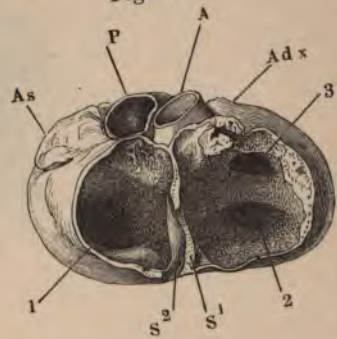


Fig. 1. Transparente Ansicht der Pars membranacea septi ventriculorum, vom geöffneten rechten Herzen aus. 1 rechter, 2 hinterer Sinus der Aorta. 3 am Ursprung abgeschnittene A. coronaria dextra. 4 Mündung des Sinus coronarius. 5 A. coronaria. 6 Valvula tricuspidalis, am rechten Ende dicht an der Basis abgeschnitten, um den Theil der durchsichtigen Stelle des Septum, der in den rechten Ventrikel schaut, zu zeigen.

Fig. 2. Verticalschnitt durch die Pars membranacea septi ventriculorum, hintere Hälfte. 1 Durchschnitt der Aortenwand. 2 Durchschnitt der Wand des rechten Atrium. 3 Septum der Ventrikel. 4 Hintere Valv. semilunaris aortica. 5 Linke Atrioventricularklappe, vorderer Lappen. 6 Scheidewandlappen der rechten Atrioventricularklappe. 7 Medialer Papillarmuskel. 8 Mündung des Sinus coronarius.

<i>A</i>	Aorta.
<i>Atd</i>	Atrium dextr.
<i>P</i>	A. pulmonalis.
<i>Vd</i>	Ventric. dexter.
<i>Vs</i>	Ventric. sin.

Fig. 1.

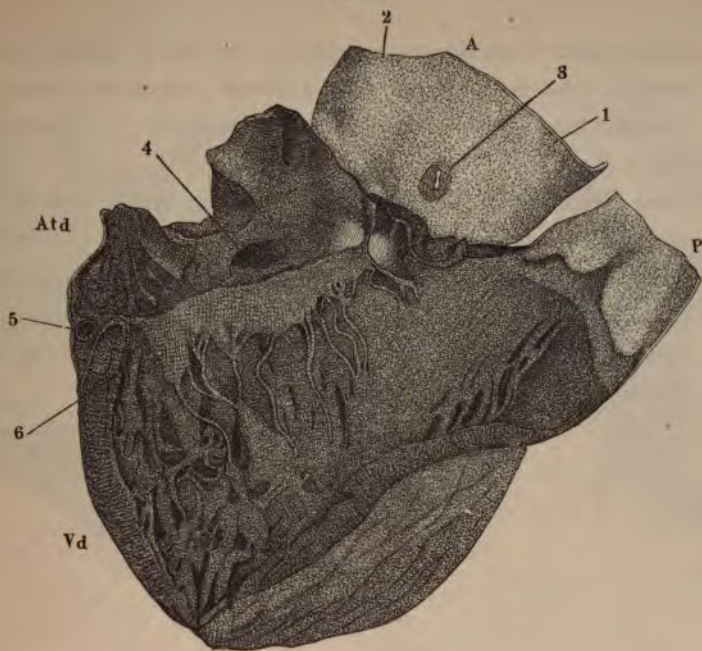
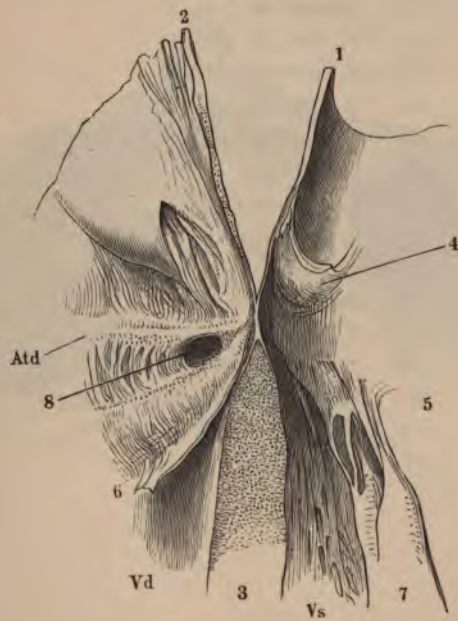


Fig. 2.



- Fig. 1. Sagittalschnitt durch das rechte Atrium und die in dasselbe mündenden Gefässe eines im aufgeblasenen Zustande erhärteten Herzens; linke Schnitthälfte. * Quer abgeschnittene Auricula. † Tuberculum atrii dextri (*Loweri*).
- Fig. 2. Rechtes Atrium, mit zurückgeschlagener äusserer Wand. * Mündung einer kleinen Herzvene.
- Fig. 3. Atrien, von hinten, das linke durch Entfernung der hinteren Wand geöffnet. * (Unbeständiger) klappenförmiger Vorsprung zwischen den Einmündungen der Vv. pulmon. sin. und der Auricula. ** Wulst an der linken Seite der Vv. pulmon. dextrae.

<i>A</i>	Aorta.
<i>As</i>	Auricula sin.
<i>ci</i>	V. cava inf.
<i>crd</i>	A. coronaria dextra.
<i>cs</i>	V. cava sup.
<i>Fo</i>	Fossa ovalis.
<i>Lfo</i>	Limbus fossae ovalis.
<i>P</i>	A. pulmonalis.
<i>pd</i>	V. pulmon. dextr.
<i>ps</i>	V. pulmon. sin.
<i>Sc</i>	Sinus coronarius.
<i>Vc</i>	V. coronaria.
<i>VE</i>	Valvula Eustachii.
<i>Vf</i>	V. foraminis ovalis.
<i>VT</i>	V. Thebesii.
<i>Vt</i>	V. tricuspidalis.

Fig. 1.

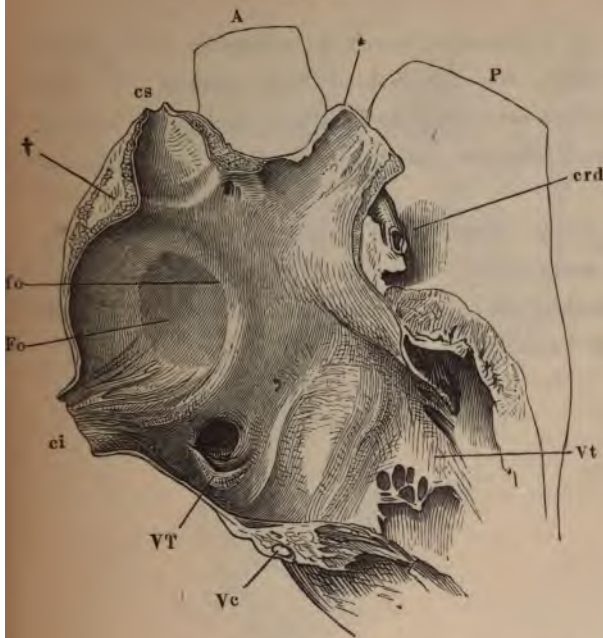


Fig. 2.

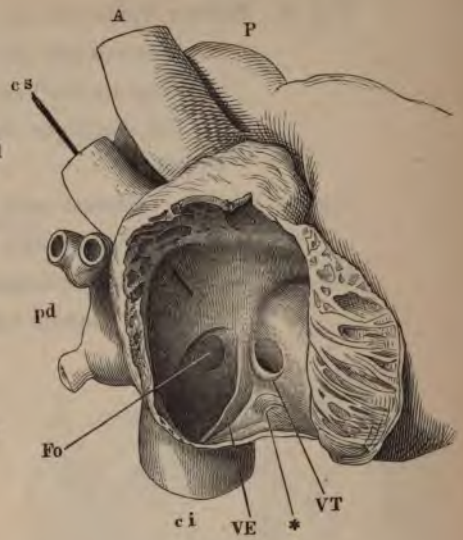
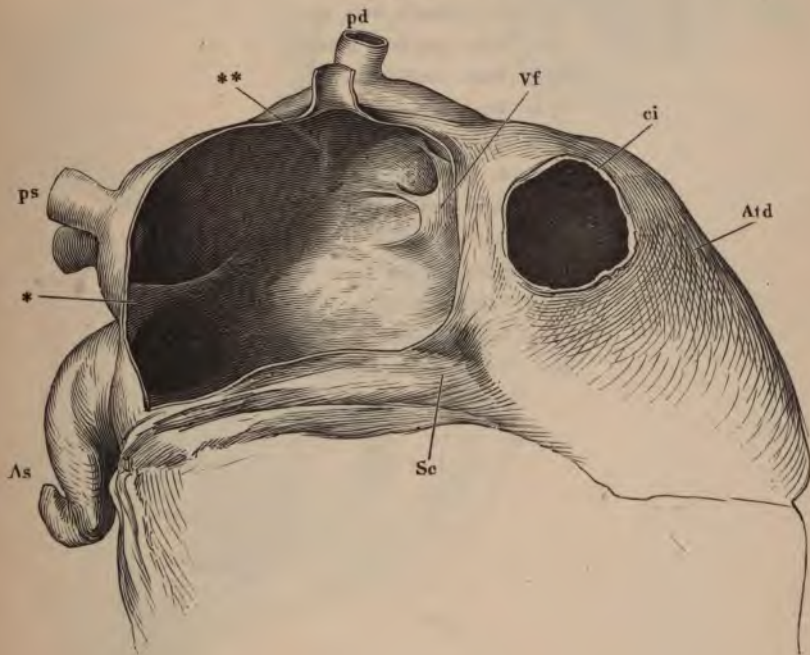


Fig. 3.



- Fig. 1. Rechter Ventrikel und A. pulmonalis, durch Ausschneiden eines Theils der Seitenwand geöffnet, von der rechten Seite gesehen. *,* Aus dem Septum der Ventrikel entspringende Papillarmuskeln und Chorden.
 ** Ueberzähliger Papillarmuskel am vorderen Zipfel der Valv. tricuspid.
- Fig. 2. Linker Ventrikel und Aorta, durch einen Verticalschnitt der vorderen Wand geöffnet und ausgebreitet. * Septum der Ventrikel.
- Fig. 3. Ausgespannte Semilunarklappen der Aorta, vom Ventrikel aus gesehen. * Septum der Ventrikel.

<i>A</i>	Aorta.
<i>crd</i>	A. coronaria cord. dextra.
<i>crs</i>	A. coronaria cord. sin.
<i>Mpl</i>	Musc. papillaris lateralis.
<i>Mpla</i>	Musc. papillaris ant.
<i>Mplp</i>	Musc. papillaris post.
<i>Mpm</i>	Musc. papillaris medialis.
<i>P</i>	A. pulmonalis.
<i>Sd</i>	Sinus dext. der Aorta.
<i>Sp</i>	Sinus post. der Aorta.
<i>Ss</i>	Sinus sin. der Aorta.
<i>Vta</i>	Valvula tricuspid. Vorderer Lappen.
<i>Vtm</i>	Valvula tricuspid. Medialer Lappen.
<i>Vtp</i>	Valvula tricuspid. Hinterer Lappen.

Fig. 1.

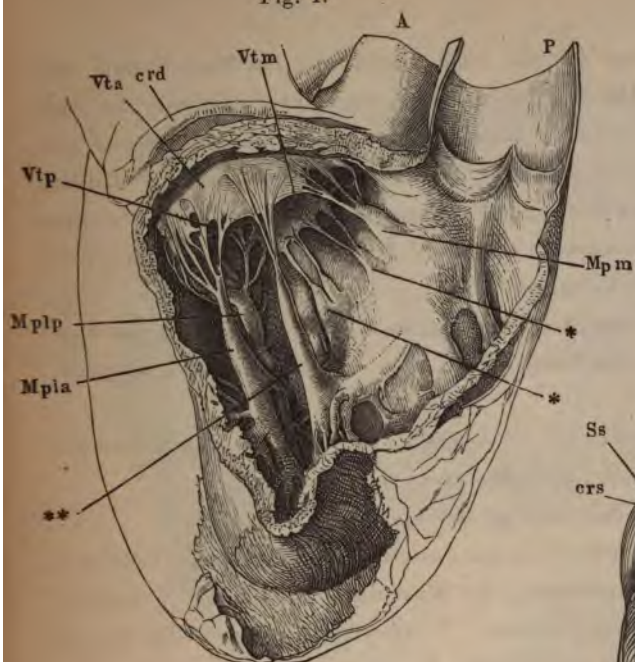
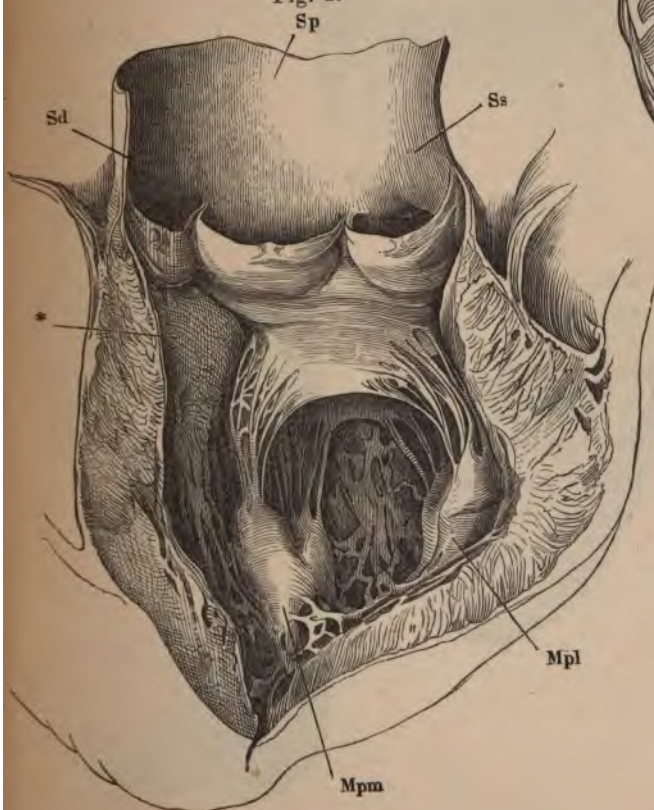


Fig. 3.



Fig. 2.



- Fig. 1. Muskulatur des linken Atrium, nach Entfernung des Endocardium von innen gesehen. Das Atrium ist durch einen Verticalschnitt der äusseren Wand, der zwischen beiden linken Lungenvenen durchgeht und sich in den Ventrikel fortsetzt, geöffnet und ausgebreitet. * Hintere Wand der Aortenwurzel, 1, 2 Faserursprünge vom linken und rechten Knoten der Atrioventricularklappen. 3 Zipfel der Valv. foram. ovalis. 4 Netzförmige Muskelbündel.
- Fig. 2. Faserung der Oberfläche der Herzventrikel, nach Entfernung des Pericardialüberzugs, vom Neugeborenen, von vorn. * Aeussere longitudinale Schichte.
- Fig. 3. Dieselbe, von hinten. *, ** Aeussere longitudinale Muskelschichte, 1 Septum. 2 Linke, 3 rechte Atrioventricularöffnung.
- Fig. 4. Dieselbe, von unten, das Herz auf der hinteren Fläche liegend.
- Fig. 5. Senkrechter Dickendurchschnitt der äusseren Wand des linken Ventrikels, um die blättrige Anordnung der Muskulatur zu zeigen. † Aeussere, †† Innere longitudinale Fasern. ** Oberflächliche, zwischen die Lamellen eingeschobene prismatische Faserzüge.

<i>A</i>	Aorta.
<i>As</i>	Auricula sin.
<i>P</i>	A. pulmonalis.
<i>pd</i>	V. pulmonalis dextra.
<i>ps</i>	V. pulmonalis sin.
<i>Sc</i>	Sinus coronarius.
<i>Vma</i>	Valv. mitralis, vorderer Lappen.

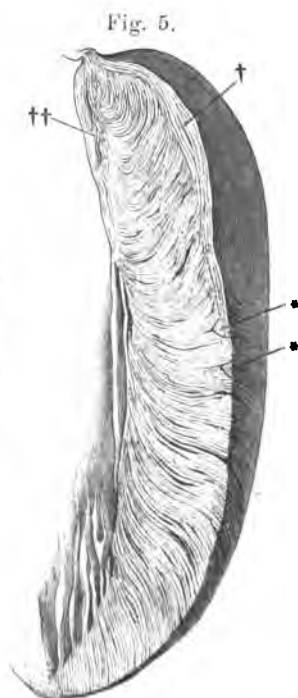
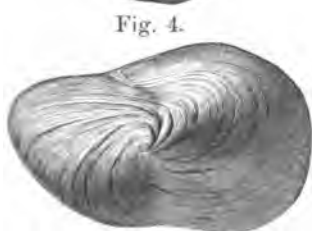
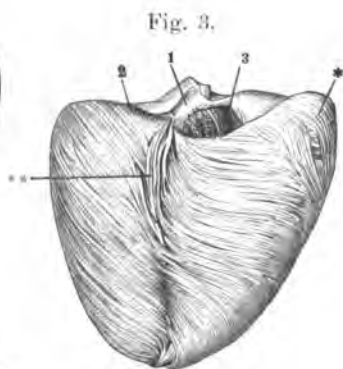
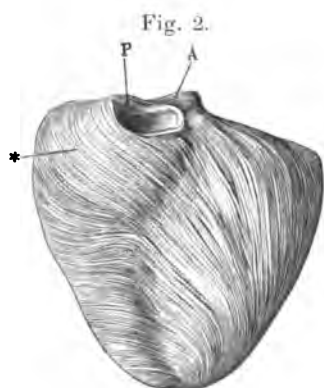
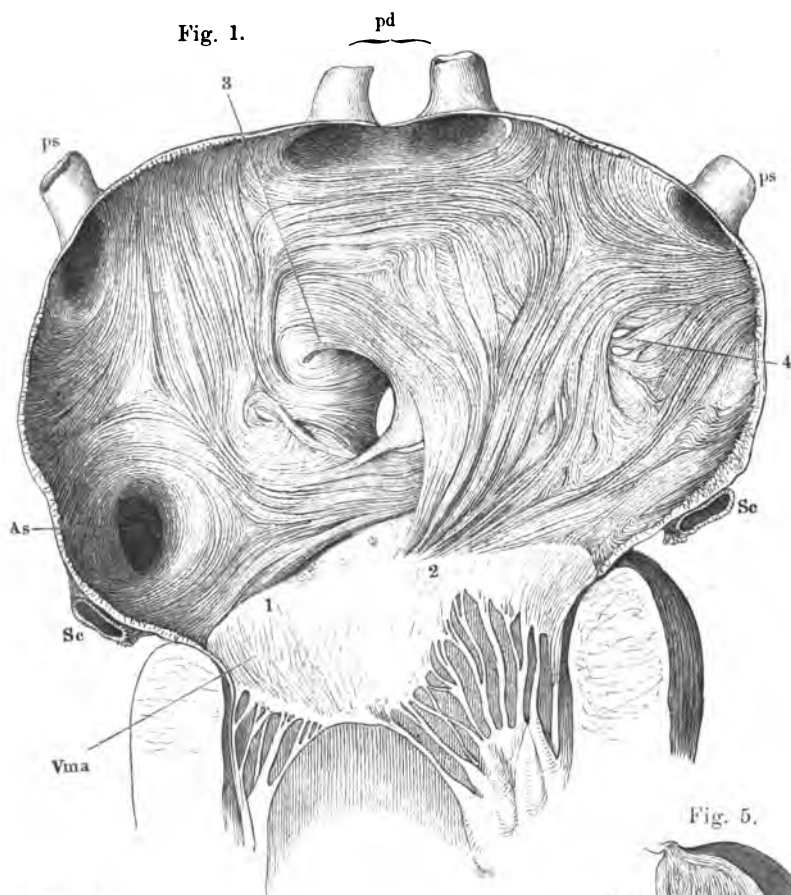


Fig. 1. Herz von der rechten Seite, das fibröse Pericardium (†,†) ringsum dicht an der Uebergangsstelle in das viscerele Blatt abgeschnitten. * Obere Wand des Sinus transv. pericardii.

Fig. 2. Herz des Neugeborenen mit den grossen Gefässstämmen von vorn. 1 Trachea. 2 Linke, 3 rechte Lunge.

<i>A</i>	Aorta.
<i>aA</i>	Arcus aortae.
<i>Ab</i>	A. anonyma brachiocephal.
<i>Ad</i>	Aorta descendens.
<i>Adx</i>	Auricula dextra.
<i>As</i>	Auricula sin.
<i>Cs</i>	Carotis sin.
<i>ci</i>	V. cava inf.
<i>cs</i>	V. cava sup.
<i>Da</i>	Ductus arterios.
<i>P</i>	A. pulmonalis.
<i>Pd</i>	A. pulmonalis, rechter Ast.
<i>pd</i>	V. pulmonalis dextra.
<i>Ps</i>	A. pulmonalis, linker Ast.
<i>Ssi</i>	A. subclavia sin.
<i>Stp</i>	Sinus transv. pericardii.
<i>Vd</i>	Ventriculus dexter.
<i>Vs</i>	Ventriculus sin.

Fig. 1.

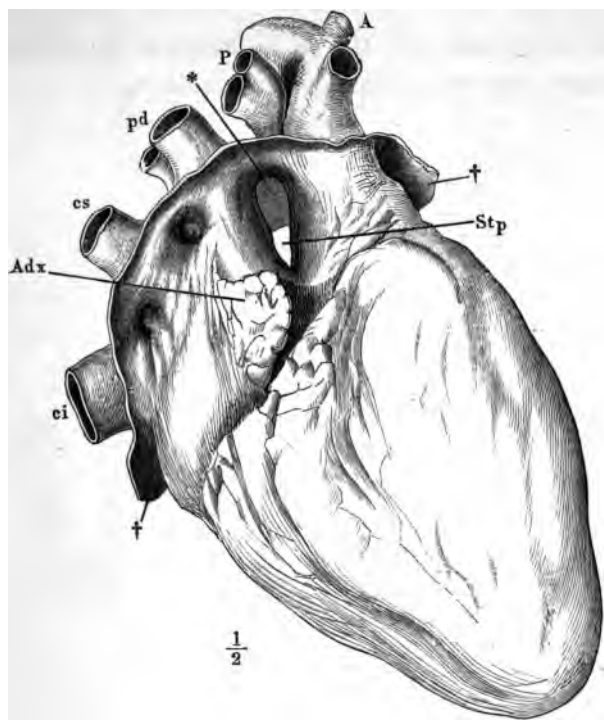
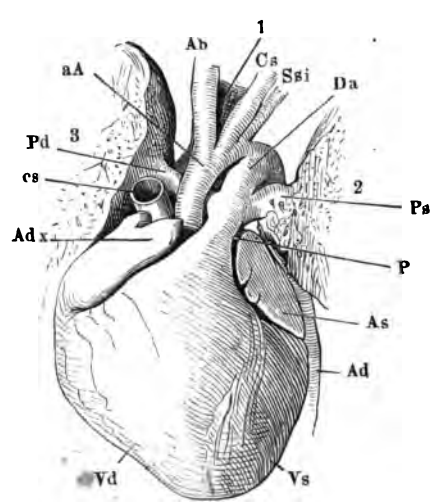


Fig. 2.



Schema der Körperarterien. Die an der Rückseite der Glieder verlaufenden Stämme durch hellere Färbung ausgezeichnet.

<i>Aa</i>	Aorta adscend.
<i>aA</i>	Arcus aortae.
<i>Aab</i>	Aorta abdominalis.
<i>Ab</i>	A. anonyma brachiocephal.
<i>Ai</i>	A. anonyma iliaca.
<i>At</i>	Aorta thoracica.
<i>Ax</i>	A. axillaris.
<i>B</i>	A. brachialis.
<i>C</i>	A. cruralis.
<i>Cd</i>	A. carotis dextra.
<i>crd</i>	A. coronaria cord. dextra.
<i>crs</i>	A. coronaria cord. sin.
<i>Cs</i>	A. carotis sin.
<i>H</i>	A. hypogastrica.
<i>I</i>	A. iliaca.
<i>ico</i>	A. interossea comm.
<i>Pe</i>	A. peronea.
<i>Po</i>	A. poplitea.
<i>R</i>	A. radialis.
<i>Sd</i>	A. subclavia dextra.
<i>sm</i>	A. sacralis media.
<i>Ssi</i>	A. subclavia sin.
<i>Ta</i>	A. tibialis ant.
<i>Tp</i>	A. tibialis post.
<i>U</i>	A. ulnaris.

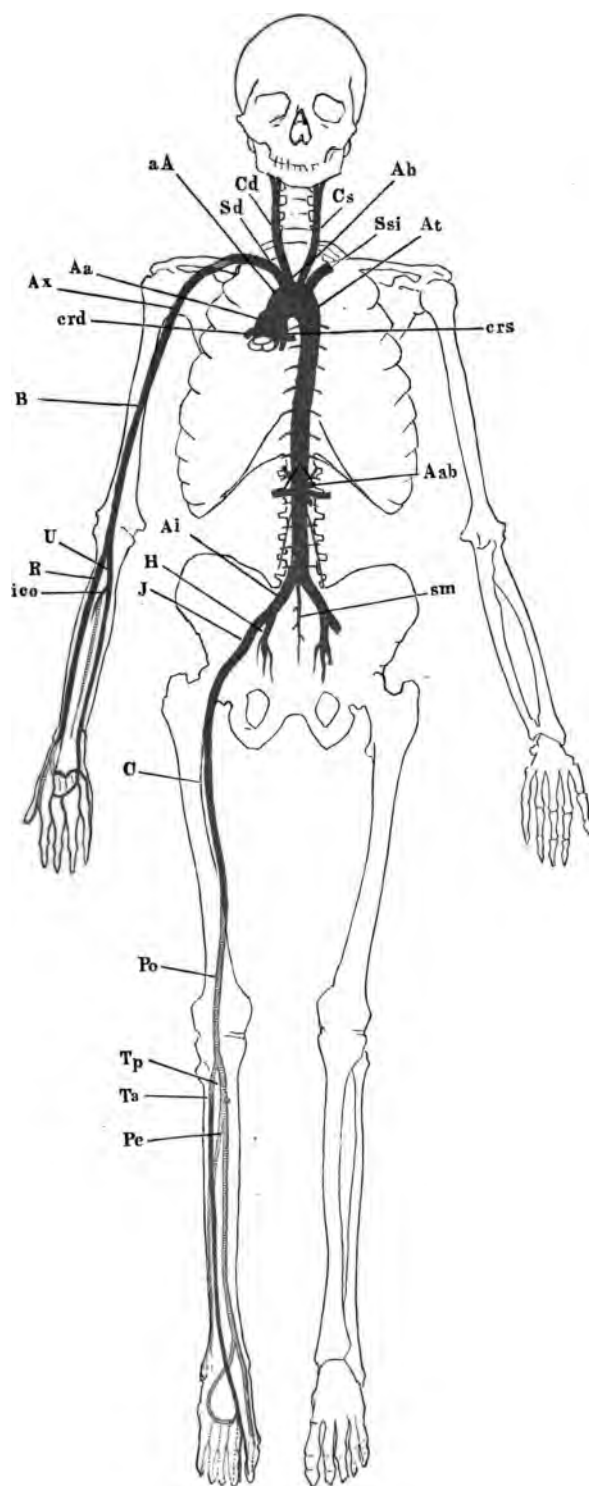


Fig. 1. Herz, vordere Fläche. Die Aorta adscendens und A. pulmonalis dicht über dem Ursprung, die V. cava sup. an der Einmündung abgeschnitten.

Fig. 2. Herz, hintere Fläche. Die V. cava inf. dicht an der Einmündung abgeschnitten.

-
- Aa* Aorta adscend.
 - Adx* Auricula dextra.
 - As* Auricula sin.
 - crd* A. coronaria cordis dextra.
 - crs* A. coronaria cordis sin. *crs^h*, *crs^v*, horizontaler und verticaler Zweig derselben.
 - ci* V. cava inf.
 - cs* V. cava sup.
 - P* Art. pulmon.
 - Vc* V. coronaria magna.
 - Vc'* V. cordis media.
 - ** Zweig der A. coron. zum Atrium.
 - *** Aestchen zur Furche zwischen der vorderen Wand der Atrien und der hinteren Wand der Aortenwurzel.
 - **** Zweig zum Con. arterios.
 - †* Zweig des Randes des Ventrikels.
 - ††* Zweig der hinteren Verticalfurche.

Fig. 1.

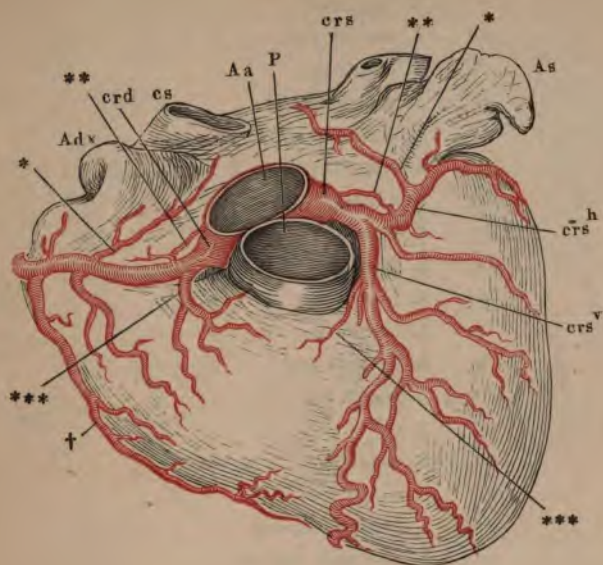
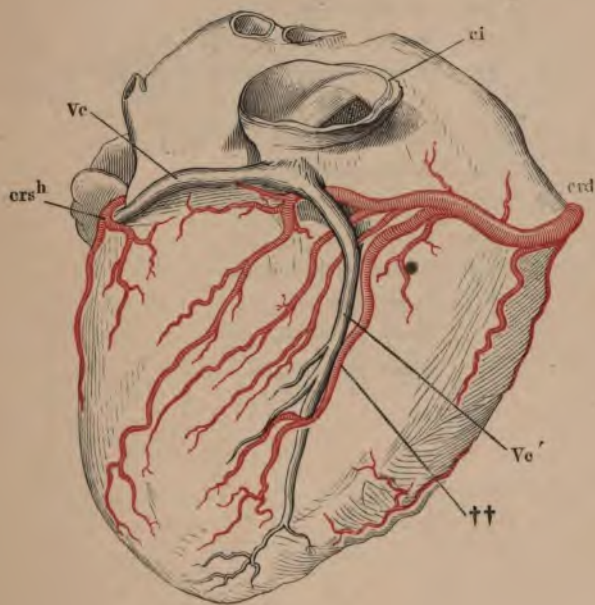


Fig. 2.



<i>a</i>	A. angularis.
<i>ap</i>	A. auricul. post.
<i>Ce</i>	A. carotis ext.
<i>ct</i>	A. cricothyreoidea.
<i>dl</i>	A. dorsalis linguae.
<i>f</i>	A. frontalis (Ast d. A. ophthalm.).
<i>hy</i>	A. hyoidea.
<i>l</i>	A. lingualis.
<i>la</i>	A. lacrymalis (Ast d. A. ophthalm.).
<i>lbi</i>	A. labialis inf.
<i>lbs</i>	A. labialis sup.
<i>ls</i>	A. laryngea sup.
<i>me</i>	A. maxill. ext.
<i>mi</i>	A. maxill. int.
<i>n</i>	A. nasalis (Ast d. A. ophthalm.).
<i>oc</i>	A. occipitalis.
<i>paa</i>	A. palatina adscend.
<i>pha</i>	A. pharyngea adscend.
<i>s</i>	A. sublingualis.
<i>sc</i>	A. sternocleidomastoidea. <i>sc'</i> R. sternocleidomast. der A. occipitalis.
<i>sml</i>	A. submentalialis.
<i>sn</i>	A. septi narium.
<i>so</i>	A. supraorbitalis (Ast d. A. ophthalm.).
<i>st</i>	A. stylomastoidea.
<i>tf</i>	A. transv. faciei.
<i>tm</i>	A. temporalis media.
<i>tps</i>	A. temporalis superfic.
<i>tsu</i>	A. thyreoidea sup.
<i>z</i>	A●zygomatico-orbitalis.
<i>*</i>	R. parotideus.
<i>1</i>	Gland. thyreoidea.
<i>2</i>	Gland. submaxillaris.

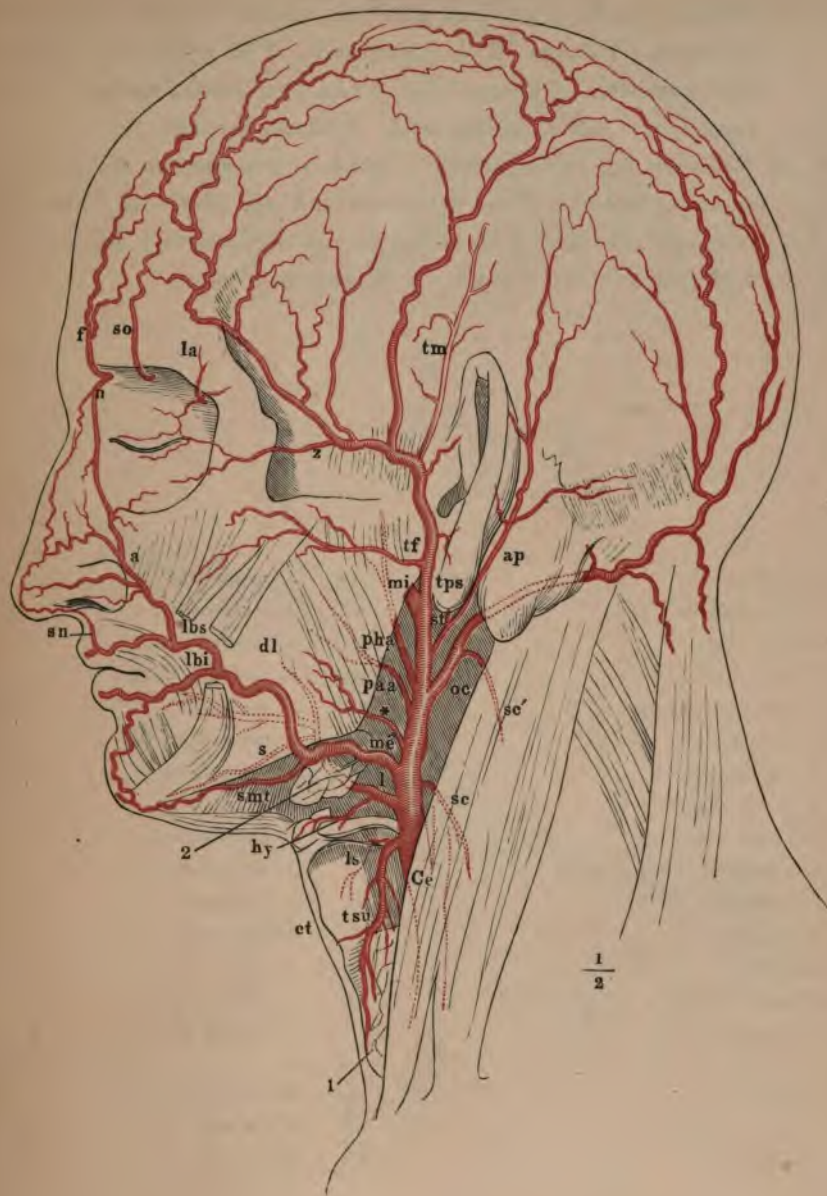


Fig. 1. Verästlung der A. carotis ext. von vorn, um die medianen Anastomosen zu zeigen. 1 Zunge. 2 M. genioglossus. 3 M. hyoglossus. 4 Winkel des Unterkiefers. 5 Zungenbein. 6 Lig. hyothyreoid. medium. 7 Cart. thyreoides. 8 Lig. cricothyreoid. 9 Gland. thyreoid.

Fig. 2. A. maxillaris int. Profilsicht des Schädels, von welchem der Jochbogen nebst der lateralen Wand der Orbita und ein Theil des Unterkieferastes entfernt sind. 1 M. temporalis, an der Insertion abgeschnitten. 2 M. pterygoid. ext. ebenso. 3 M. pterygoid. int.

<i>a</i>	A. angularis.	<i>me</i>	A. maxill. ext.
<i>ai</i>	A. alveolaris inf.	<i>mh</i>	A. mylohyoidea.
<i>ap</i>	A. auric. post.	<i>mi</i>	A. maxillaris int.
<i>apr</i>	A. auric. prof.	<i>mm</i>	A. meningea media.
<i>asa</i>	A. alveolaris sup. ant.	<i>mt</i>	A. mentalis.
<i>asp</i>	A. alveolaris sup. post.	<i>np</i>	A. nasopalatina.
<i>b</i>	A. buccinatoria.	<i>npo</i>	A. nasalis post.
<i>Cc</i>	A. carotis comm.	<i>oc</i>	A. occipitalis.
<i>Ce</i>	A. carotis ext.	<i>pp</i>	A. pterygopalatina.
<i>Ci</i>	A. carotis int. (am Ursprung abgeschnitten).	<i>pt</i>	A. pterygoidea.
<i>ct</i>	A. cricothyreoid.	<i>s</i>	A. sublingual.
<i>hy</i>	A. hyoid.	<i>smt</i>	A. submental.
<i>io</i>	A. infraorbitalis.	<i>sn</i>	A. septi narium.
<i>l</i>	A. lingualis.	<i>sp</i>	A. sphenopalatina.
<i>lbi</i>	A. labialis inf.	<i>t</i>	A. tympanica.
<i>lbs</i>	A. labialis sup.	<i>tpr¹ tpr²</i>	Aa. tempor. prof.
<i>ls</i>	A. laryng. sup.	<i>tps</i>	A. temporalis superfic.
<i>ma</i>	A. masseterica.	<i>tsu</i>	A. thyreoid. sup.
		<i>vd</i>	A. vidiana.

Fig. 1.

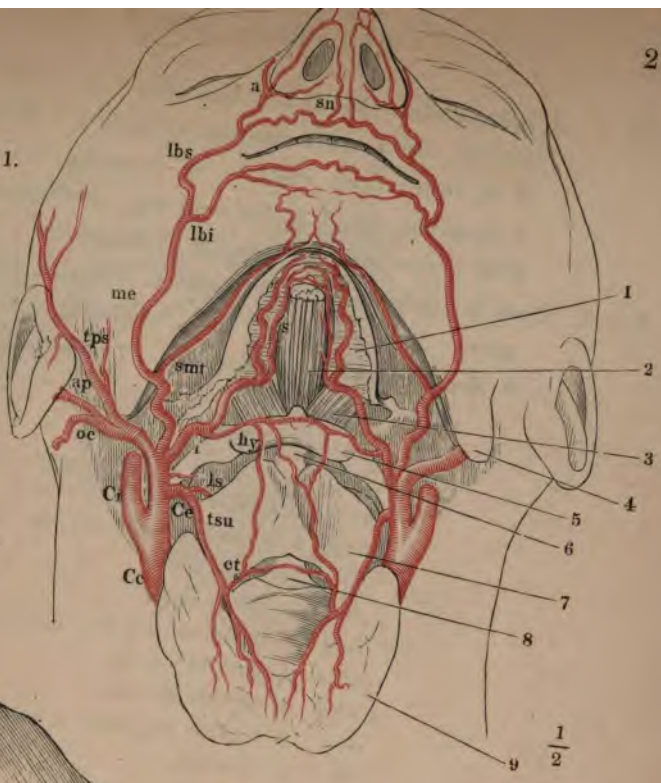
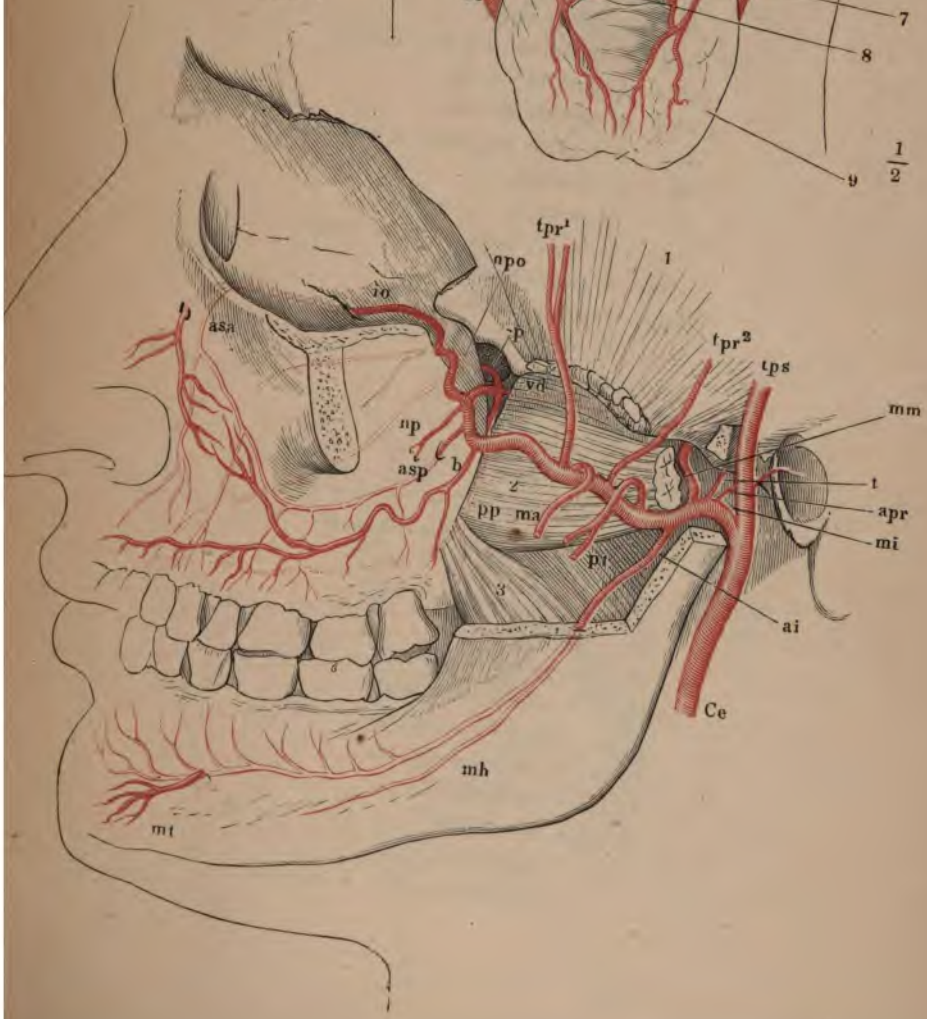


Fig. 2.



- Fig. 1. A. ophthalmica. Die Orbita von oben her geöffnet. N. olfactorius und Periost der Lamina cribrosa entfernt. 1 Trochlea. 2 Crista galli. 3 M. rectus oculi medial. 4 Ursprung des M. obliquus oculi sup. 5 Ursprung des M. rectus oculi sup., zurückgeschlagen. 6 N. opticus. 7 M. rectus oculi lateralis. 8 Thränenrüse.
- Fig. 2. Basis des Gehirns mit den Arterien. I bis IX Erster bis neunter Hirnnerve. 1 Hypophyse. 2 C. candicans. 3 Crus cerebri. 4 Pons. 5 Med. oblongata. 6 Kleinhirn. 7 Rückenmark.

<i>aud</i>	A. auditiva (Ast d. A. basilaris).
<i>ba</i>	A. basilaris (Vereinigung der Aa. vertebr.).
<i>c''</i>	A. ciliaris longa.
<i>ca</i>	A. cerebri ant. (A. corp. callosi).
<i>cbia</i>	A. cerebelli inf. ant.
<i>cbip</i>	A. cerebelli inf. post.
<i>chs</i>	A. cerebelli sup. (Ast d. A. basilaris).
<i>ch</i>	A. choroidea.
<i>ci</i>	A. carotis int.
<i>cm</i>	A. cerebri media (A. fossae Sylvii).
<i>coa</i>	A. communicans ant.
<i>cop</i>	A. communicans post.
<i>cpo</i>	A. cerebri post. (aus d. A. basilaris).
<i>cr</i>	A. centralis retinae.
<i>ea</i>	A. ethmoid. ant.
<i>ep</i>	A. ethmoid. post.
<i>f</i>	A. frontalis.
<i>la</i>	A. lacrymalis. * Ast derselben durch den Can. zygomatico-facialis.
<i>n</i>	A. nasalis.
<i>nf</i>	A. nasofrontalis.
<i>op</i>	A. ophthalmica.
<i>pbli</i>	A. palpebr. later. inf.
<i>pbls</i>	A. palpebr. later. sup.
<i>pلمي</i>	A. palpebr. medialis inf.
<i>pلمs</i>	A. palpebr. medialis sup.
<i>so</i>	A. supraorbitalis.
<i>spa</i>	A. spinalis ant.
<i>spp</i>	A. spinalis post.
<i>v</i>	A. vertebralis. (Ast d. A. subclavia).

A. carotis int.

29

Fig. 1.

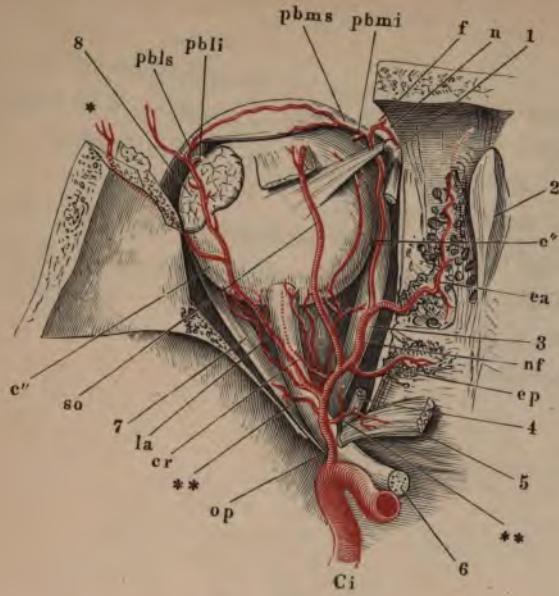
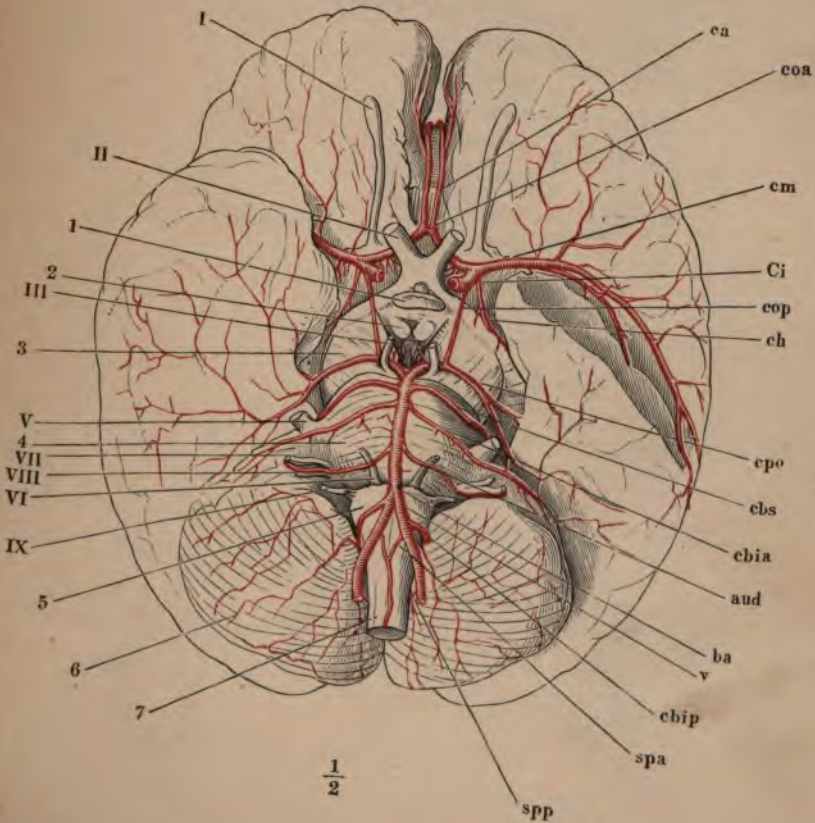


Fig. 2.



$\frac{1}{2}$

- Fig. 1. Verzweigung der A. axillaris. 1 M. subclavius. 2 M. pectoralis minor. 3 M. serrat. ant. 4 M. latiss. dorsi. 5 M. teres maj. 6 M. ancon. long. 7 M. deltoid. 8 M. subscapularis. 9 Sulcus intertubercularis des Armbeins.
- Fig. 2. Verzweigung der Armarterien, Vorderseite. Die auf der Rückseite des Gliedes verlaufenden Aeste sind mit punktierten Linien angegeben. 1 Erbsenbein. 2 Tuberosität des Trapezbeins.
- Fig. 3. Rete cubitale, Rückenfläche; die unter dem M. anconeus gelegenen Aeste und das tiefe Netz (*) durch Hüllslinien angedeutet. 1 Epicondylus medialis. 2 Epicond. later. 3 Köpfchen des Radius. 4 Olecranon. 5 M. brachioradialis. 6 M. ulnaris int.

<i>Ax</i>	A. axillaris.	<i>ico</i>	A. interossea comm.
<i>B</i>	A. brachialis.	<i>ip</i>	A. interossea post.
<i>cdr</i>	A. carpea dors. rad.	<i>ir</i>	A. interossea recurrens.
<i>cdu</i>	A. carpea dors. uln.	<i>m</i>	A. mediana.
<i>cha</i>	A. circumflexa humeri ant.	<i>mdu</i>	A. metacarpea dors. uln.
<i>chp</i>	A. circumflexa humeri post.	<i>mvp</i>	A. metacarpea vol. prof.
<i>cli</i>	A. collateralis rad. inf.	<i>mvs</i>	A. metacarpea vol. subl.
<i>cls</i>	A. collateralis rad. sup.	<i>pb</i>	A. profunda brachii.
<i>cm</i>	A. collateralis media.	<i>R</i>	A. radialis.
<i>csc</i>	A. circumflexa scapulae.	<i>rr</i>	A. recurrens rad.
<i>cui</i>	A. collateralis uln. inf.	<i>ru</i>	A. recurrens uln.
<i>cus</i>	A. collateralis uln. sup.	<i>ss</i>	A. subscapularis.
<i>cvr</i>	A. carpea vol. rad.	<i>tha</i>	A. thoracico-acromial.
<i>cvu</i>	A. carpea vol. uln.	<i>thd</i>	A. thoracico-dorsalis.
<i>dc¹</i>	A. digit. comm. prima.	<i>thl</i>	A. thorac. longa.
<i>ia</i>	A. interossea ant.	<i>ths</i>	A. thorac. supr.
<i>iad</i>	A. interossea ant. dors.	<i>U</i>	A. ulnaris.
<i>iav</i>	A. interossea ant. vol.		

Fig. 2.



Fig. 1.

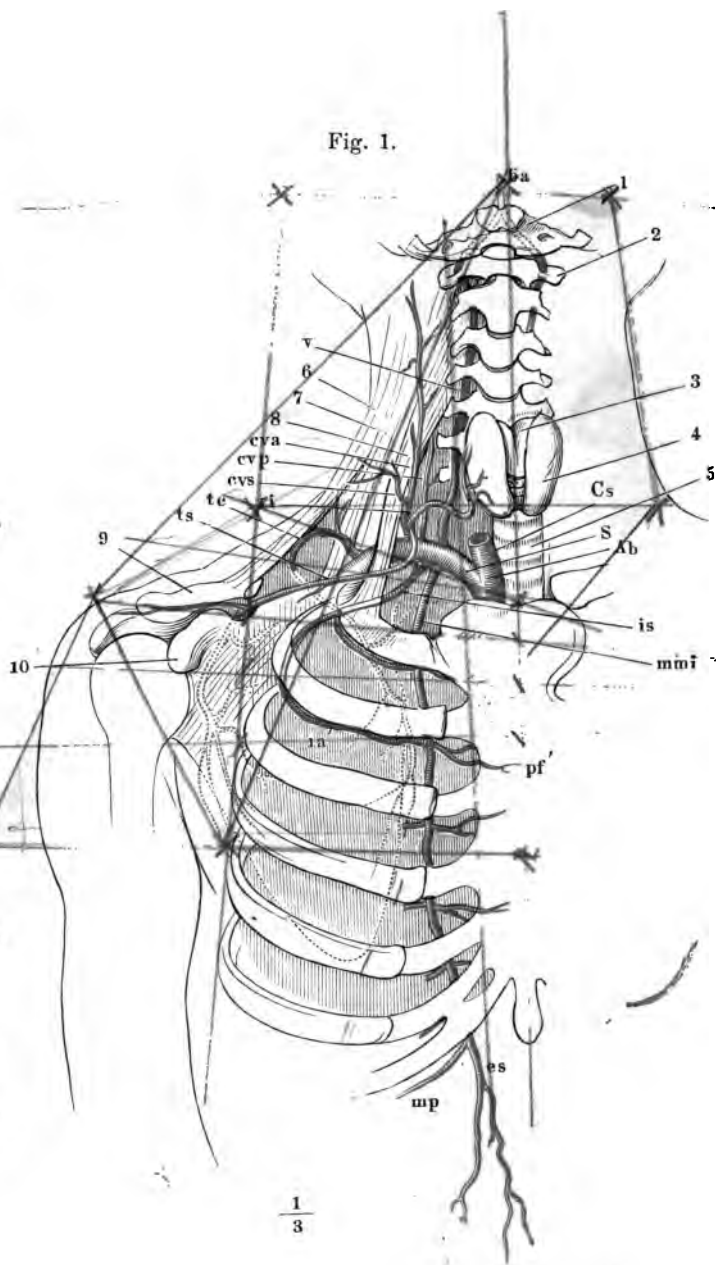


Fig. 1. Arterien des Handrückens. † Lig. carpi comm., aus welchem ein mittleres Stück ausgeschnitten ist, um die tiefen Aeste des Rete carp. dors. zu zeigen.

Fig. 2. Arterien der Volarfläche der Hand. 1 Sehne des M. palmaris long. 2 Erbsenbein.

cdr A. carpea dors. rad.
cdv A. carpea dors. uln.
dc¹ bis *dc⁴* Aa. digit. comm. 1^a bis 4^a.
dd A. digit. dors.
dv A. digit. volaris. *dv¹* Rückenast derselben.
iad A. interossea ant. dors.
imd¹ bis *imd³* A. intermetacarpea dors. 1^a bis 3^a.
imd' Verbindungsast der A. intermetacarpea dors. mit der A. digit. comm.

imv¹ bis *imv³* A. intermetacarpea vol. 1^a bis 3^a.
*imv** R. perforans derselben.
mdr A. metatarsa dors. rad.
mdv A. metatarsa dors. uln.
mvp A. metacarpea vol. prof.
mvs A. metacarpea vol. sublimis.
R A. radialis.
U A. ulnaris.

Fig. 1.

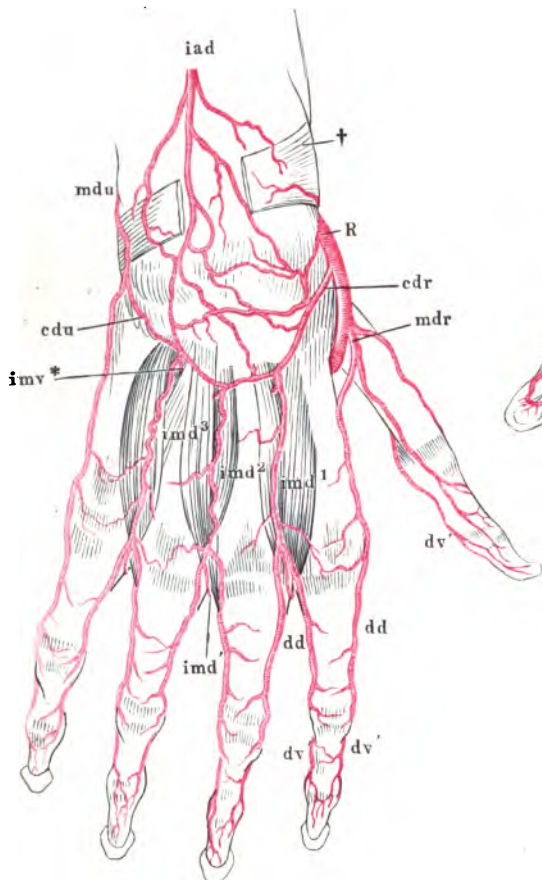
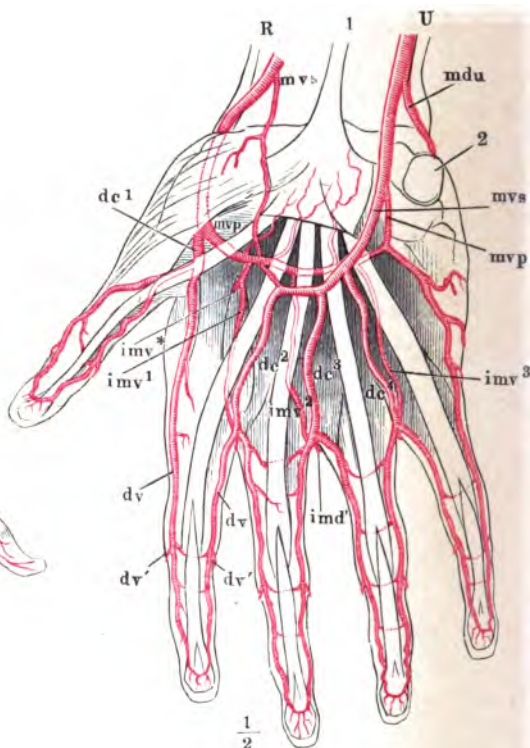
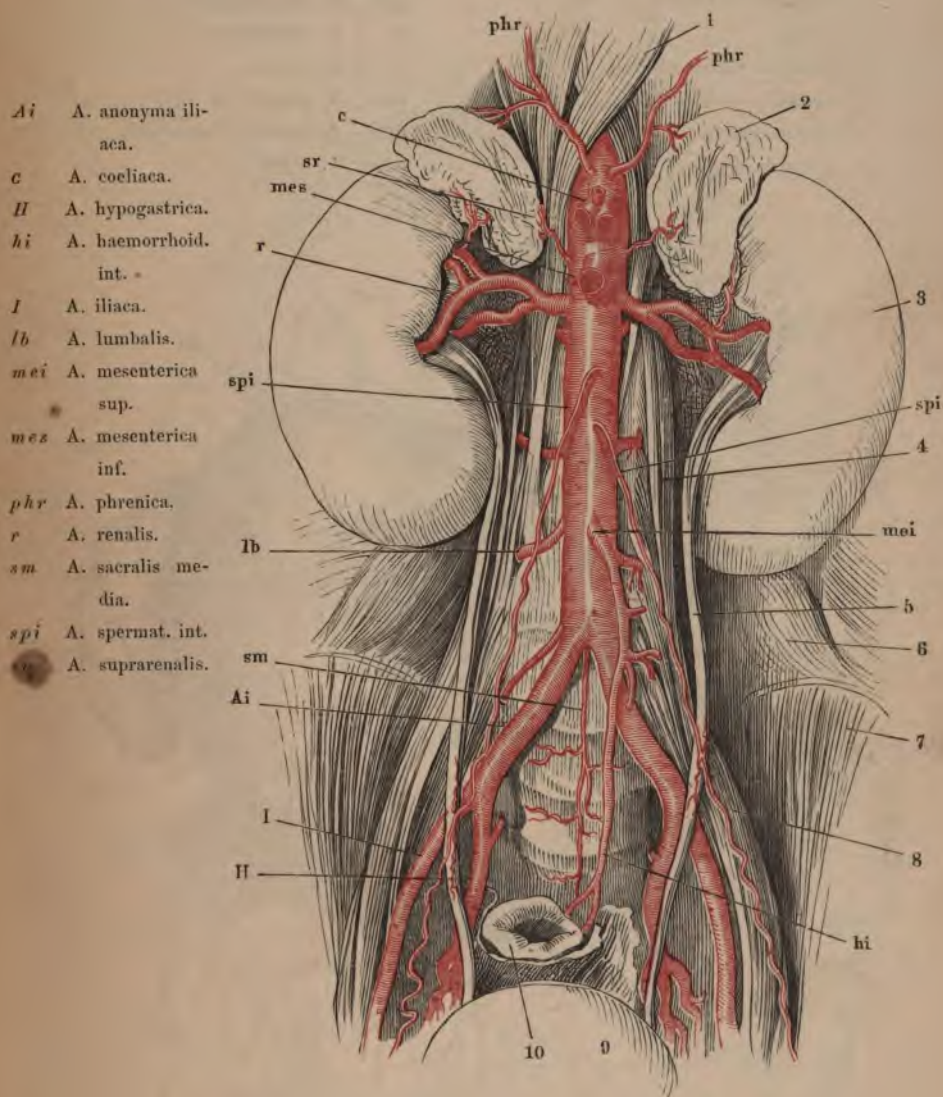

 $\frac{1}{2}$

Fig. 2.


 $\frac{1}{2}$

Symmetrische Aeste der Aorta; die unpaaren visceralen Aeste, mit Ausnahme der A. mesenterica inf., dicht am Ursprung abgeschnitten. 1 Vertebralportion des Zwerchfells. 2 Nebenniere. 3 Niere. 4 M. psoas minor. 5 Ureter. 6 M. quadrat. lumb. 7 M. iliacus int. 8 M. psoas maj. 9 Harnblase. 10 Rectum.

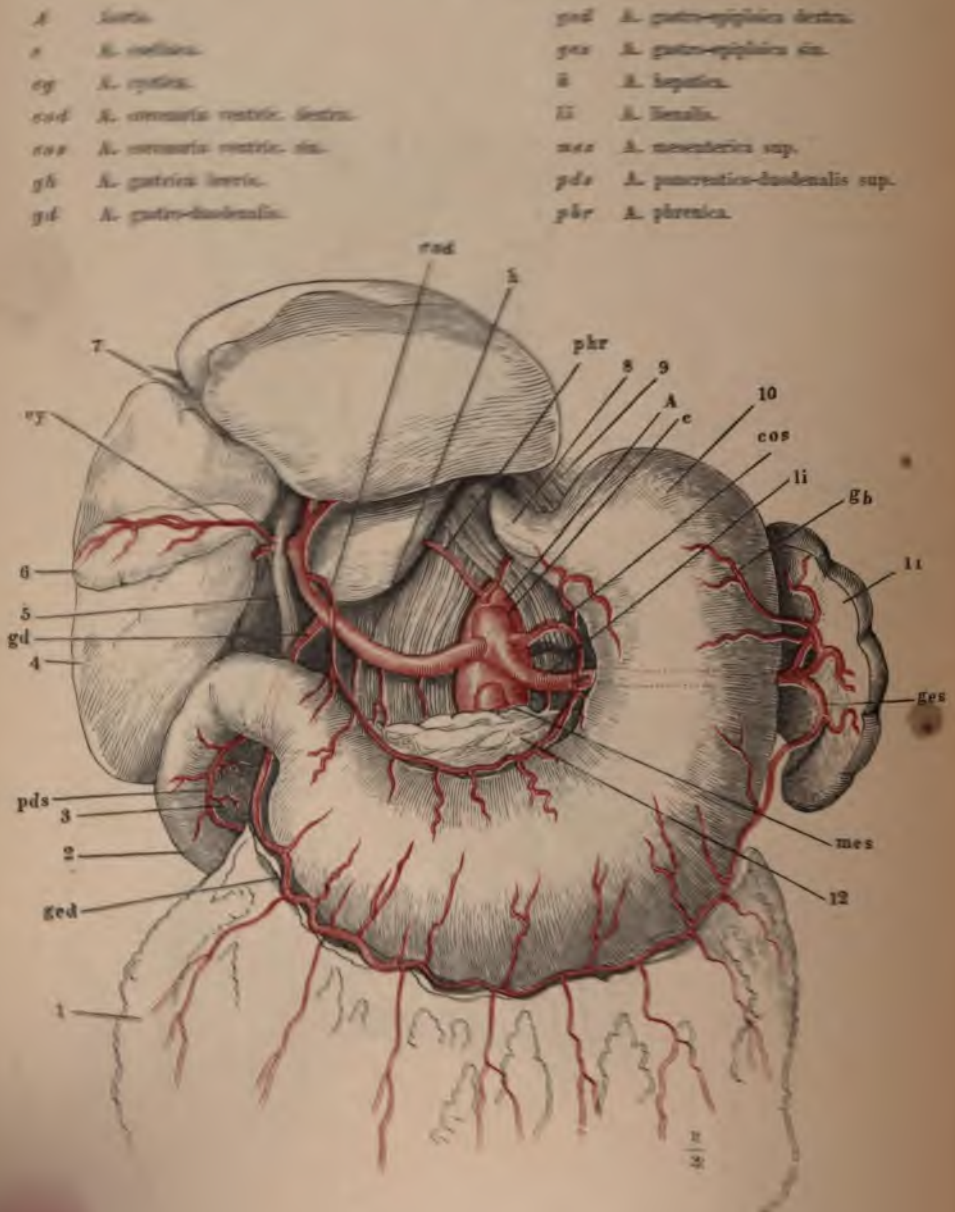


Die Leber unterste gestülpten, der Magen überhängen. 1 Net. 2 Duodenum.

3 Kopf des Pankreas. 4 Leber. 5 Duct. chylif. 6 Gallenblase.

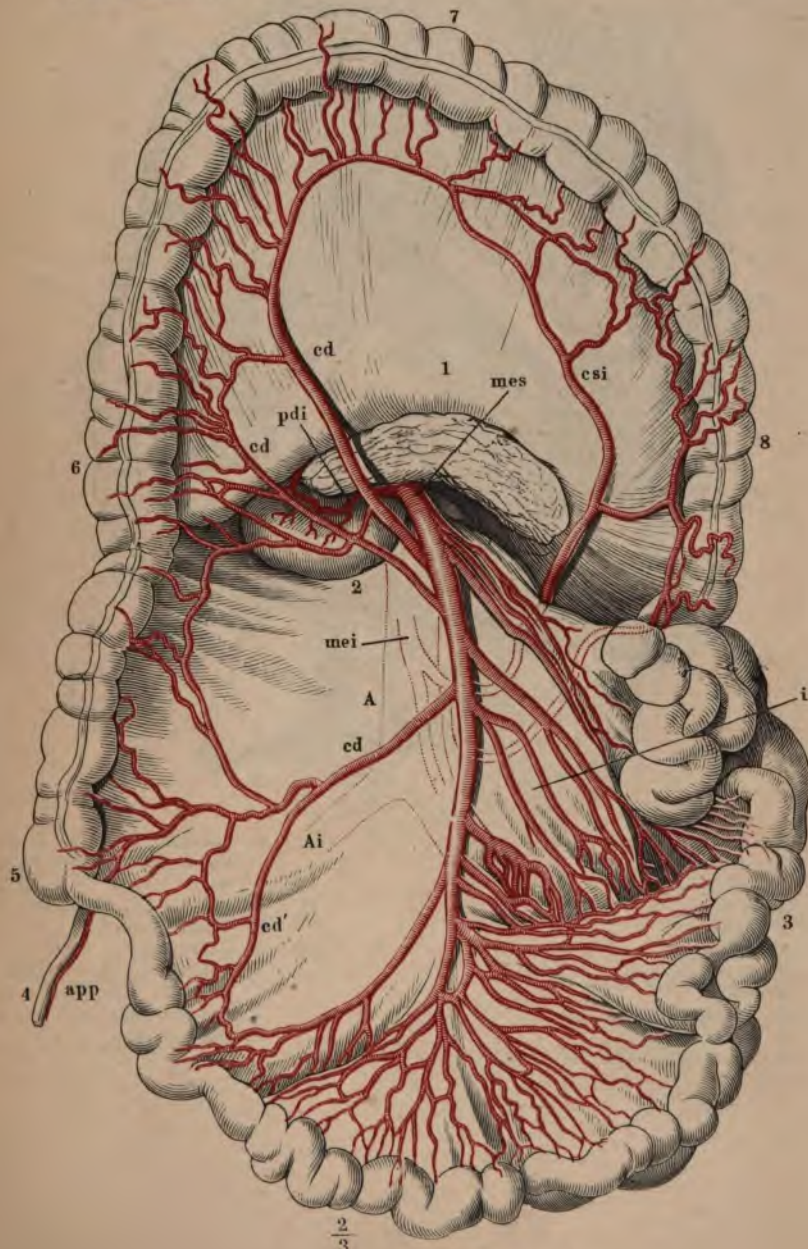
7 Lig. ven. hepatic. 8 Oesophagus. 9 Zwölff. 10 Magen. 11 Milz.

12 Pankreas.

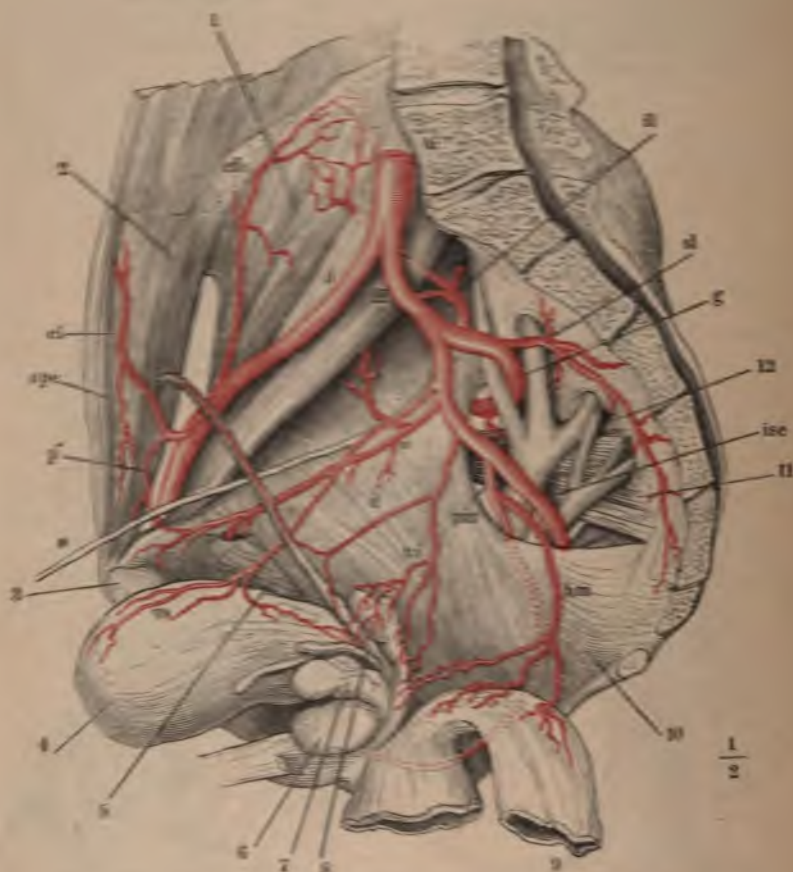


Das Colon transv. aufwärts zurückgeschlagen, der Dünndarm links herabgezogen.
Der vom Mesenterium verdeckte Theil der Arterien ist nur in Conturen
angegeben. 1 Pancreas. 2 Unterer querer Theil des Duodenum. 3 Dün-
ndarm. 4 Proc. vermiformis. 5 Coecum. 6 Colon dextrum. 7 Colon
transv. 8 Colon sinistr.

<i>A</i>	Aorta.	<i>csi</i>	A. colica sin.
<i>Ai</i>	A. anonyma iliaca.	<i>i</i>	Aa. intestinales.
<i>app</i>	A. appendicularis.	<i>mei</i>	A. mesenter. inf.
<i>cd</i>	Aa. colicae dextrae, <i>cd'</i> Verbindungs- ast der untersten mit dem letz- ten R. intestinalis.	<i>mea</i>	A. mesenter. sup.
		<i>pdi</i>	A. pancreatico-duodenalis inf.



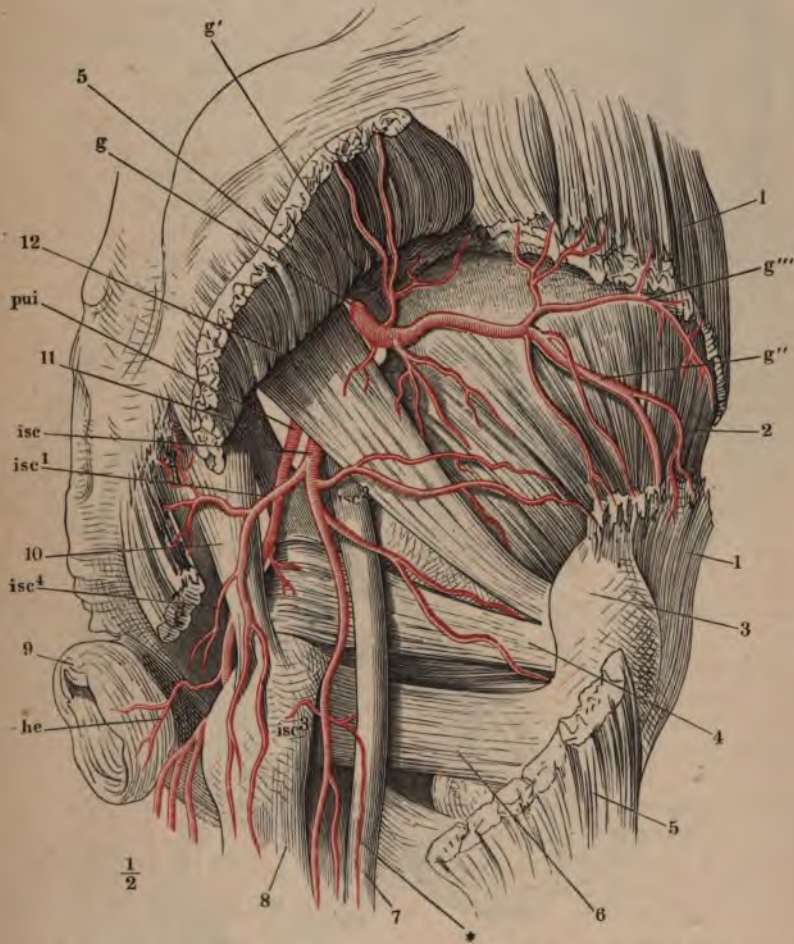
Rechte männliche Beckenhälfte von innen, die Blase vorwärts, das Rectum rückwärts herabgeschlagen. 1 M. iliopsoas. 2 innere Fläche des M. transv. abdom. 3 Synchondrosenfläche des Schambeins. 4 Harnblase. 5 M. obturator int. 6 Prostata. 7 Linke Vesicula semin. 8 Vas deferens derselben Seite, kurz abgeschnitten. 9 Rectum. 10 M. coccygeus. 11 M. pyriformis. 12 Plexus sacralis.



<i>Al</i>	<i>A. anonyma iliaca.</i>
<i>cfi</i>	<i>A. circumflexa ilium.</i>
<i>d</i>	<i>A. deferentialis.</i>
<i>ei</i>	<i>A. epigastr. inf.</i>
<i>g</i>	<i>A. glutea.</i>
<i>h</i>	<i>A. hypogastr.</i>
<i>hm</i>	<i>A. haemorrh. media.</i>
<i>l</i>	<i>A. iliaca.</i>
<i>il</i>	<i>A. ilioumbalis.</i>
<i>isc</i>	<i>A. ischiad.</i>
<i>o</i>	<i>A. obturatoria. Vgl. Taf. CXXII.</i>

<i>p</i>	<i>R. pubicus ders. p' dessen Verbindungsast mit der A. epigastr. inf.</i>
<i>pwi</i>	<i>A. pudenda int. Vgl. Taf. CXXII.</i>
<i>sl</i>	<i>A. sacralis lateralis.</i>
<i>spe</i>	<i>A. sperm. ext.</i>
<i>u</i>	<i>A. umbilicalis. = Obliterirter Theil derselben (Lig. vesicae laterale).</i>
<i>vi</i>	<i>A. vesicalis inf.</i>
<i>vs</i>	<i>A. vesicalis sup.</i>

Hintere Beckenwand, von hinten. Aus den Mm. gluteus max. u. medius ist je ein Stück ausgeschnitten, der Ursprung des M. gluteus max. aufwärts umgeschlagen. 1 M. gluteus medius. 2 M. gluteus minimus. 3 Trochanter. 4 M. obturator int. 5 M. gluteus max. 6 M. quadrat. fem. 7 N. ischiad. 8 Ursprung des M. semitendinosus und des langen Kopfs des M. biceps. 9 M. sphincter ani. 10 Lig. tuberoso-sacr. 11 Lig. spinoso-sacr. 12 M. pyriformis.



g' Ast der A. glutea zum M. glut. max. *g''* zum M. glut. med. *g'''* zum oberen Rande des M. gluteus min.

he A. haemorrhoid. ext.

isc A. ischiad. *isc*¹ Aeste zum M. gluteus max. *isc*² zu den tiefen äusseren Hüftmuskeln. *isc*³ zu den Biegemuskeln und Adductoren. * A. comes n. ischiad. *isc*⁴ zur Excavatio recto-ischiadica.

Fig. 1. Vordere Beckenwand. Verästelung der A. obturatoria und A. penis.

1 M. pectineus. 2 Samenstrang, am äusseren Leistenring abgeschnitten. 3 Ursprung des M. adductor long. 4 Lig. suspensorium penis medium. 5 M. adductor br. am Ursprung durchschnitten und zurückgeschlagen. 6 M. gracilis desgleichen. 7 Mm. adductor minimus und magnus desgleichen. 8 M. obturator ext.

Fig. 1.

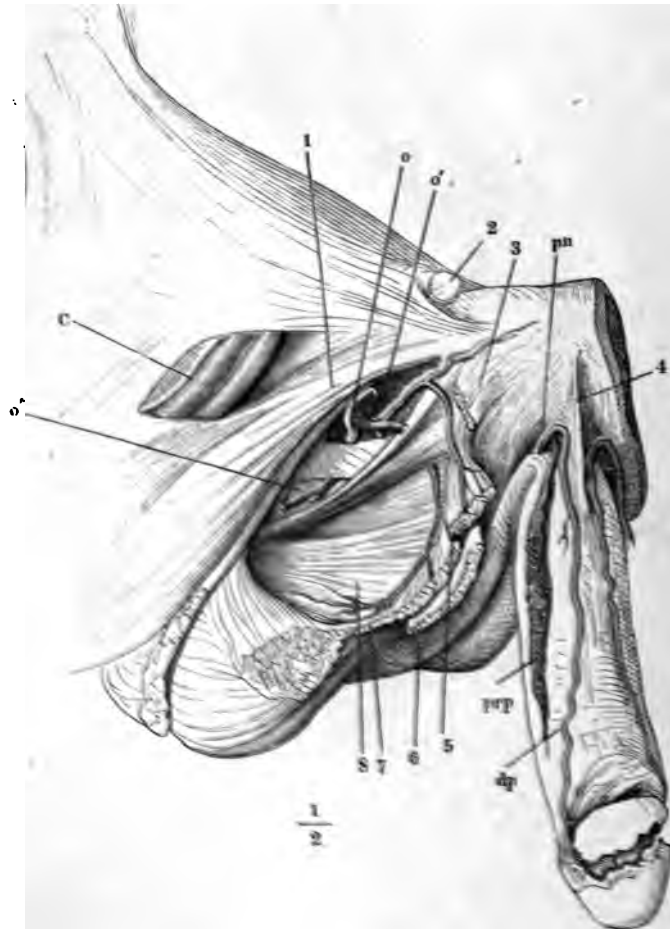


Fig. 2. Verästelung der A. pudenda int. in der Perinealgegend. 1 M. bulbocavernosus, mit dem Bulbus des C. cavernos. uretrae nach links umgelegt. 2 After und M. sphincter ani. 3 Lig. spinoso-sacrum. 4 Lig. tuberoso-sacrum. 5 Tuber ischiad. 6 M. levator ani. 7 M. transvers. perinei superfic. 8 Diaphragma urogenitale. 9, 9' C. cavernos. penis mit dem M. ischio-cavernosus, quer durchschnitten und an der Durchschnittsfläche auseinandergezogen.

Fig. 3. Arterien der inneren Genitalien einer Neuentbundenen, der Uterus vorwärts und nach links umgelegt. 1 Uterus. 2 Oviduct. 3 Ovarium. 4 Harnblase.

Fig. 2.

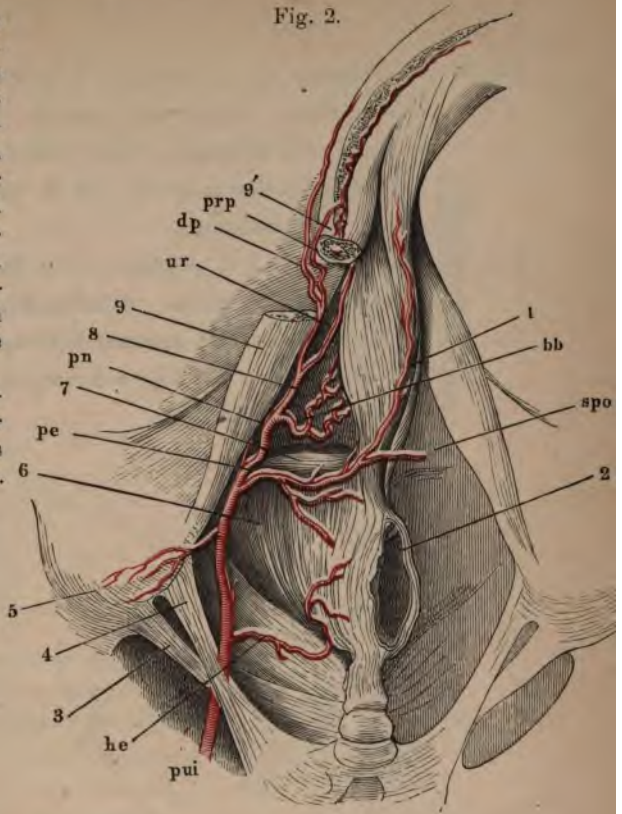
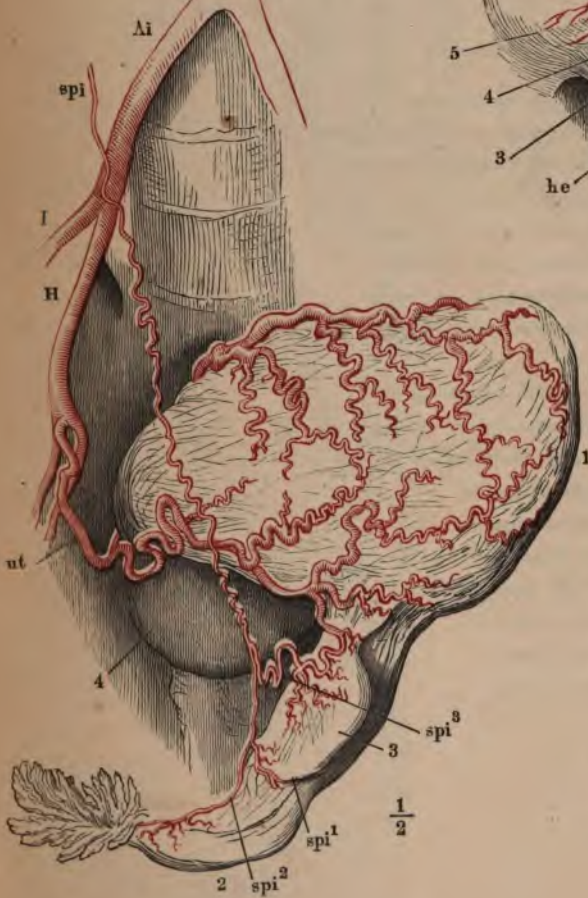


Fig. 3.



- Ai* A. anonyma iliaca.
bb A. bulbosa.
C A. cruralis (mit der A. prof. femoris).
dp A. dorsalis penis.
H A. hypogastrica.
he A. haemorrhoid. ext.
I A. iliaca.
o A. obturatoria. *o'* vorderer, *o''* hinterer Ast.
pe A. perinea.
pn A. penis.
prp A. prof. penis.
pui A. pudenda int.
spi A. spermat. int. *spi*¹ Zweig zum Ovarium. *spi*² zur Ampulle des Oviducts. *spi*³ anastomot. Zweig zur A. uterina.
spo A. scrotalis post.
ur A. urethralis.
ut A. uterina.

Fig. 1. Verästelung der A. cruralis. 1 M. iliopsoas. 2 M. sartorius. 3 M. tensor fasciae. 4 M. rectus femoris. 5 M. vastus medialis. 6 M. pectineus, zurückgezogen. 7 M. adductor longus. 8 M. adductor brevis. 9 M. adductor magnus. 10 M. gracilis. 11 Mm. semimembranosus und semitendinosus.

Fig. 2. Verästelung der A. poplitea. 1 M. biceps fem. 2 M. gastrocnemius lateralis. 3 M. soleus. 4 Sehnenbogen der Mm. adductores. 5 Mm. semitendinosus und semimembranosus. 6 M. gastrocnemius medialis. 7 M. popliteus. 8 Lig. accessorium genu mediale long. durchschnitten und zurückgeschlagen.

-
- agm* A. articularis genu media.
ags A. articularis genu supr. *ags'* tiefer,
ags'' oberflächlicher Ast.
ail A. articularis genu inf. later.
aim A. articularis genu inf. medial.
asl A. articularis genu sup. later.
asm A. articularis genu sup. medial.
cfi A. circumflexa ilium (prof.) A. d.
A. iliaca.
cfl A. circumflexa femoris later.
cfm A. circumflexa femoris medial.
cis A. circumfl. ilium superfic.
esf A. epigastr. superfic.
ms Rr. muscul. supp.
prf A. prof. femoris.
pf¹, pf², pf³ Rr. perforantes.
pue A. pudenda ext.
sul A. suralis later.
sum A. suralis medial.

Fig. 1.

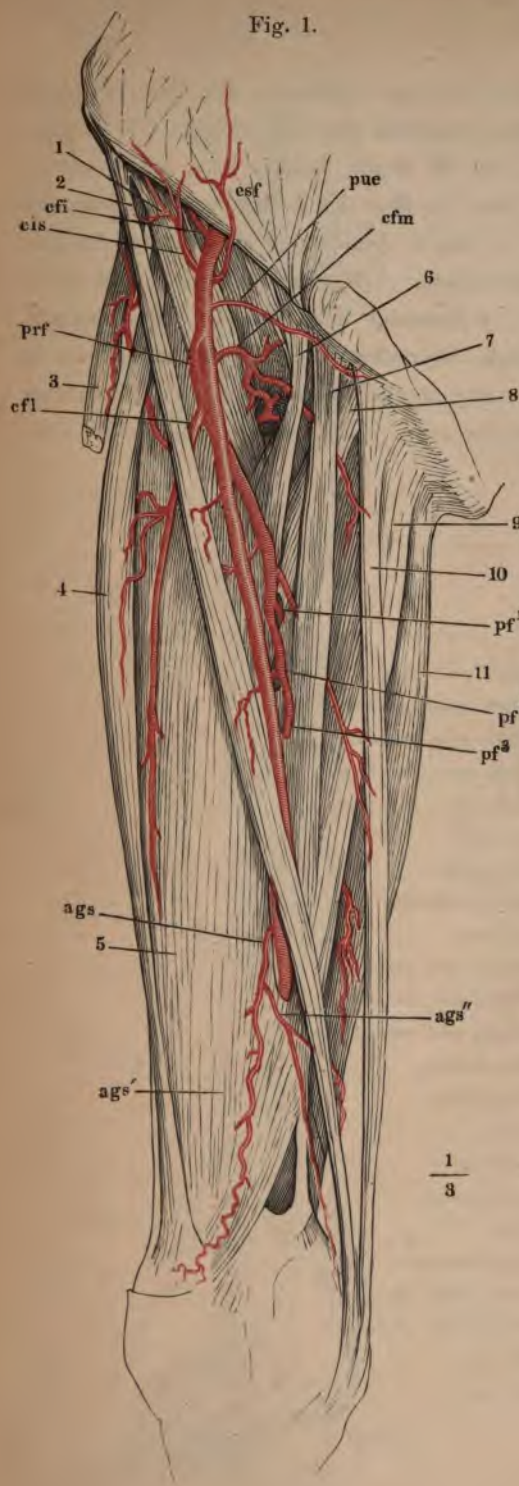
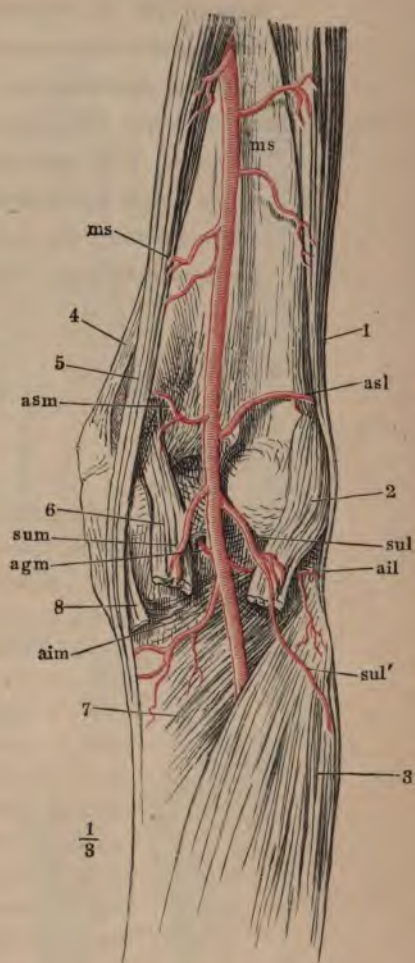


Fig. 2.



$\frac{1}{3}$

$\frac{1}{3}$

Fig. 1. Verästlung der A. tibialis ant. und post. Rückseite des Unterschenkels, die jenseits des Lig. inteross. liegenden Arterien punktirt. 1 M. peroneus brevis. 2 Ursprung des M. flexor hallucis long. 3 Ursprung des M. flexor digit. comm. long., die über der A. peronea entspringenden Muskeln durchschnitten. 4 Tendo Achillis. 5 M. abductor hallucis.

Fig. 2. Kniegelenk von vorn, Rete articulare. 1 M. rectus femoris. 2 M. vastus medialis. 3 M. sartorius. 4 Lateraler Rand des M. vastus lateralis, in die Fascie des Kniegelenks übergehend; ein Theil des Muskels ist ausgeschnitten, um die Arterie sichtbar zu machen. 6 Lig. accessor. genu mediale long., durchschnitten. 7 Lig. patellae inf., desgleichen.

<i>ags</i>	A. articularis genu supr.
<i>ail</i>	A. articularis genu inf. later.
<i>aim</i>	A. articularis genu inf. medial.
<i>asl</i>	A. articularis genu sup. later.
<i>asm</i>	A. articularis genu sup. medial.
<i>cal</i>	A. calcanea later.
<i>cam</i>	A. calcanea medial.
<i>com</i>	A. coronaria malleolaris.
<i>fs</i>	A. fibularis sup.
<i>mal</i>	A. malleolaris ant. later.
<i>mam</i>	A. malleolaris ant. medial.
<i>mpm</i>	A. malleolaris post. medial.
<i>nuf</i>	A. nutritia fibularis.
<i>nut</i>	A. nutritia tibialis.
<i>Pe</i>	A. peronea.
<i>pll</i>	A. plantaris later.
<i>plm</i>	A. plantaris medial.
<i>Po</i>	A. poplitea.
<i>ppf</i>	A. peronea perforans.
<i>rta</i>	A. recurrens tibial. ant.
<i>rtp</i>	A. recurrens tibial. post.
<i>Ta</i>	A. tibialis ant.
<i>Tp</i>	A. tibialis post.

Fig. 1.

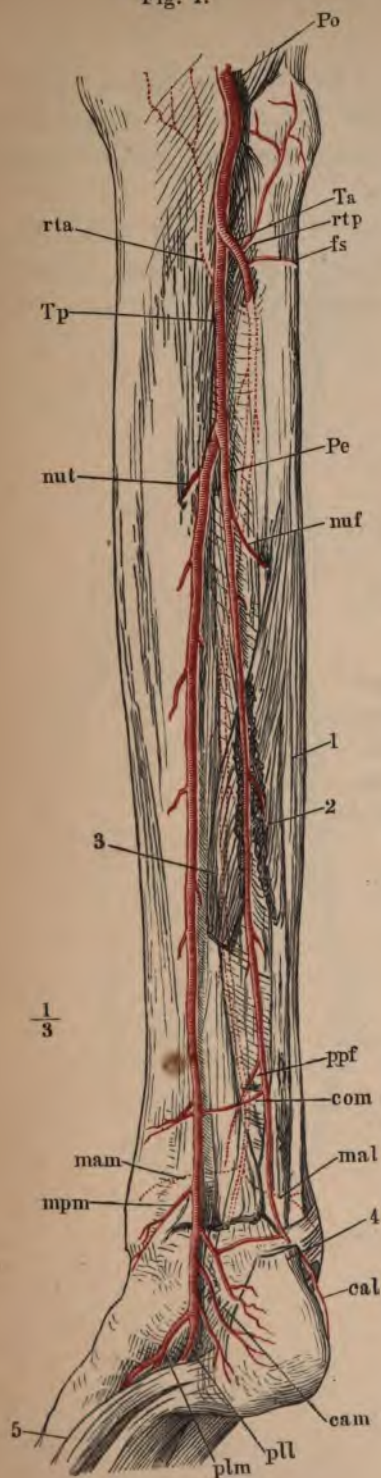


Fig. 2.

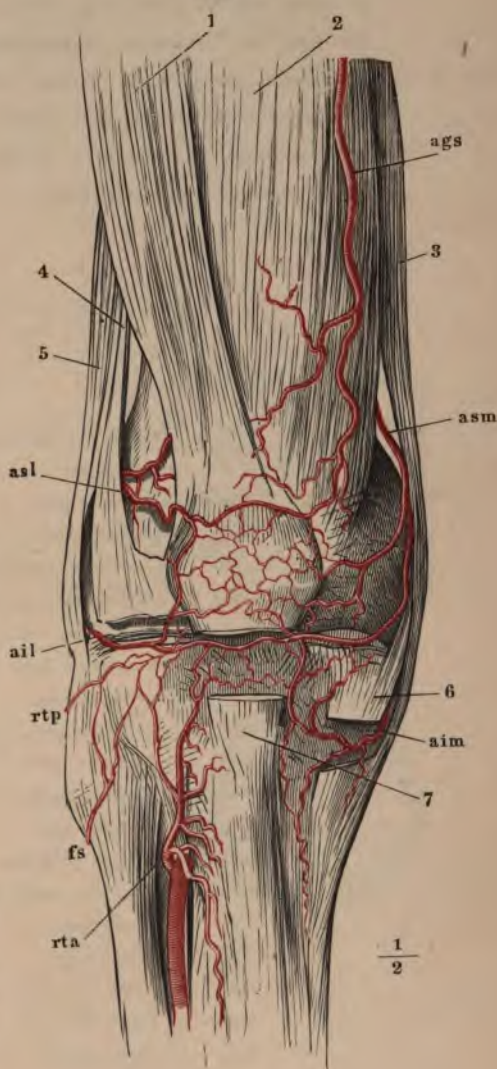


Fig. 1. A. dorsalis pedis. 1 M. tibialis ant. 2 Mm. extensor digit. comm. und extensor hallucis long., über dem Knöchelgelenk abgeschnitten. 3 Sehne des M. peron. br. 4 M. extensor digit. und extensor hallucis br. dicht am Ursprung abgeschnitten.

Fig. 2. Plantarfläche des Fusses. Arcus volaris. 1 Sehne des M. tibialis post. 2 Sehne des M. flexor dig. comm. long. 3 Caput plantare desselben. 4 M. abductor dig. quinti. 5 M. abductor hallucis. 6 Insertion des M. interosseus dorsalis primus.

-
- dc*¹ bis *dc*⁴ Aa. digitales comm.
dd Aa. digit. dors.
Dpd A. dorsalis pedis.
dv A. digitalis volaris propria.
*imd*¹ bis *imd*⁴ Aa. intermetatarsae dors.
mal A. malleolaris ant. later.
mam A. malleolaris ant. medial.
mdf A. metatarsae dors. fibularis.
pfa A. perforans ant.
pfp A. perforans post.
pll A. plantaris later.
plm A. plantaris medial.
plp A. plantaris prof.
ppf A. peronea perforans.
spm A. superficial. pedis medial.
Ta A. tibialis ant.
Tp A. tibialis post.
tla A. tarsea lat. ant.
tlp A. tarsea lat. post.
tsm A. tarsea medial.

Fig. 1.

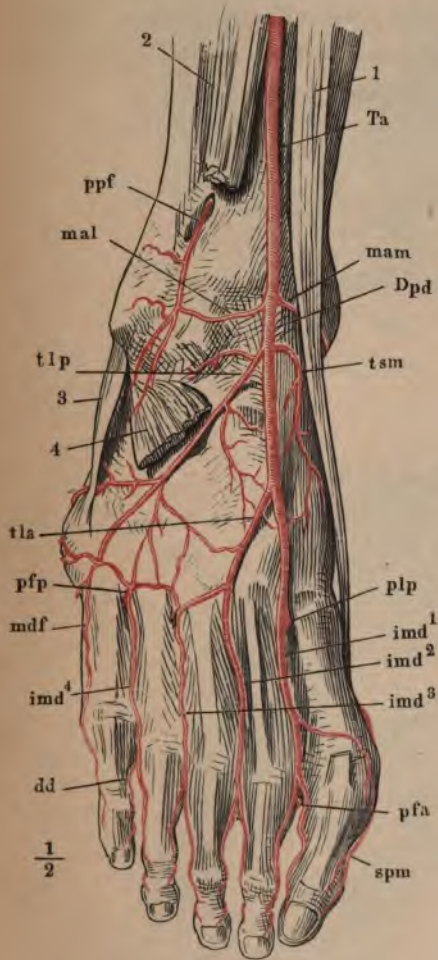


Fig. 2.

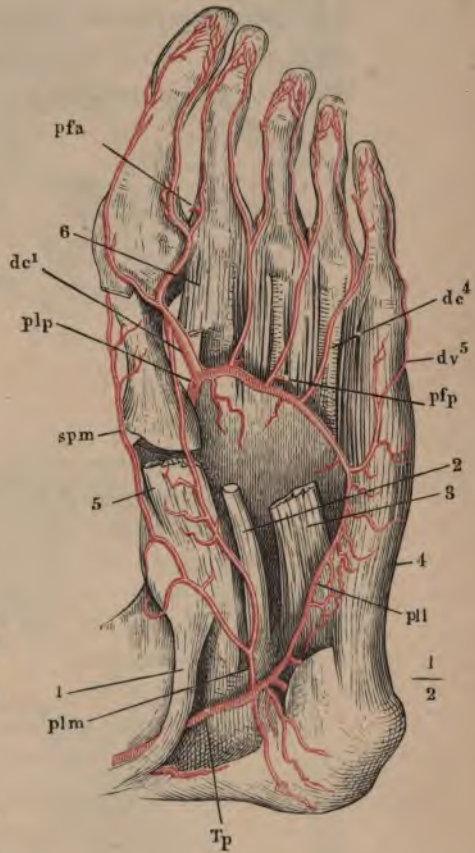


Fig. 1. Frontalschnitt des Schädels mit der Falx cerebri durch die Forr. ovalia, hinterer Abschnitt, um Weniges nach links gedreht. 1 Querschnitt der A. carotis int. 2 des N. abducens. 3 Dritter Ast des N. trigeminus. 4 Falx cerebri. 5 Tentorium cerebelli.

Fig. 2. Schädelbasis mit geöffneten Sinus. 1 Horizontalschnitt der Falx cerebri. 2 N. opticus, am Eintritt in den Can. opticus abgeschnitten. 3 Stamm der A. carotis int. 4 N. oculomotorius. 5 Dorsum sellae. 6 Die aus dem For. jugulare austretenden Nerven.

<i>Pb</i>	Plexus basilaris.	
<i>Sc</i>	Sinus cavernosus.	
<i>Sia</i>	Sinus intercavernos. ant.	} <i>Sin. circuli Ridleyi.</i>
<i>Sip</i>	Sinus intercavernos. post.	
<i>So</i>	Sinus occipitalis.	
<i>Sp_i</i>	Sinus petrosus inf.	
<i>Sp_s</i>	Sinus petrosus sup.	
<i>Si_i</i>	Sinus sagittalis inf.	
<i>Sp</i>	Sinus sphenoparietalis.	
<i>Ss</i>	Sinus sagittalis sup.	
<i>Str</i>	Sinus transversus. <i>Str'</i> dessen Uebergang in die V. jugularis.	

Fig. 1. Aeste der *V. anonyma brachiocephalica*. 1 *M. mylohyoideus*. 2 Zungenbein. 3 Kehlkopf. 4 *Gl. thyreoidea*. 5 Trachea.

Fig. 2. Der Jochbogen und die linke Seitenhälfte des Unterkiefers nebst dem *Masseter* ist entfernt, die *Orbita* entleert. 1 *M. pterygoid. ext.*, dicht am Ursprung abgeschnitten. 2 *M. styloglossus*, Zungeninsertion. 3 Sublingualdrüse. 4 *M. hyoglossus*. 5 *M. geniohyoideus*. 6 *M. mylohyoideus*, an der Kieferinsertion durchschnitten. 7 *M. sternohyoideus*. 8 *M. thyreochoideus*. 9 *M. omohyoideus*. 10 *M. stylohyoideus*. 11 *M. styloglossus*, am Ursprung abgeschnitten. 12 *M. stylopharyngeus*.

<i>Abd</i>	<i>V. anonyma brachioceph. dextra.</i>	<i>lbs</i>	<i>V. labialis sup.</i>
<i>Abs</i>	<i>V. anonyma brachioceph. sin.</i>	<i>mmi</i>	<i>V. mammaria int.</i>
<i>a</i>	<i>V. angularis.</i>	<i>n</i>	<i>V. nasalis.</i>
<i>cs</i>	<i>V. cava sup.</i>	<i>oi</i>	<i>V. ophthalm. inf.</i>
<i>cvp</i>	<i>V. cervical. prof.</i>	<i>os</i>	<i>V. ophthalm. sup.</i>
<i>dl</i>	<i>V. dorsalis linguae.</i>	<i>ph</i>	<i>V. pharyngea.</i>
<i>f</i>	<i>V. frontalis.</i>	<i>Pp</i>	<i>Plexus pterygoid.</i>
<i>fa, fa'</i>	<i>V. facialis ant., aus welcher ein Stück ausgeschnitten ist. fa' oberfläch- licher, fa'' tiefer Zweig.</i>	<i>S</i>	<i>V. subclavia.</i>
<i>fc</i>	<i>V. facialis comm.</i>	<i>s</i>	<i>V. sublingualis.</i>
<i>fp</i>	<i>V. facialis post. fp' oberflächlicher, fp'' tiefer Zweig.</i>	<i>sca</i>	<i>V. subcutaneus colli ant.</i>
<i>is</i>	<i>V. intercost. supr.</i>	<i>ti</i>	<i>V. thyreoidea inf.</i>
<i>je</i>	<i>V. jugularis ext.</i>	<i>tm</i>	<i>V. temporalis media.</i>
<i>ji</i>	<i>V. jugularis int.</i>	<i>tp</i>	<i>V. temporalis prof.</i>
<i>l</i>	<i>V. lingualis.</i>	<i>tps</i>	<i>V. temporalis superfic.</i>
		<i>tsu</i>	<i>V. thyreoid. sup.</i>
		<i>v</i>	<i>V. vertebralis.</i>
		<i>*</i>	<i>Plexus thyreoid. impar.</i>

Fig. 1.

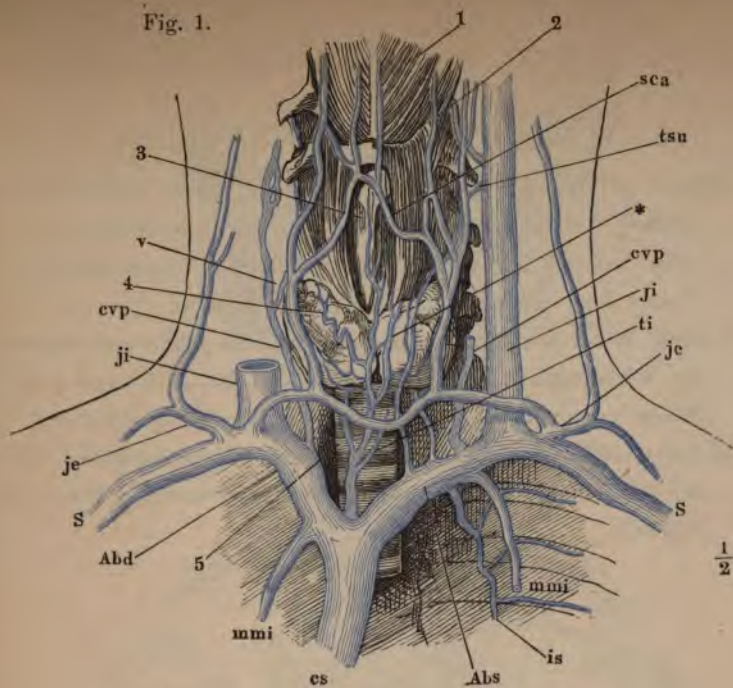
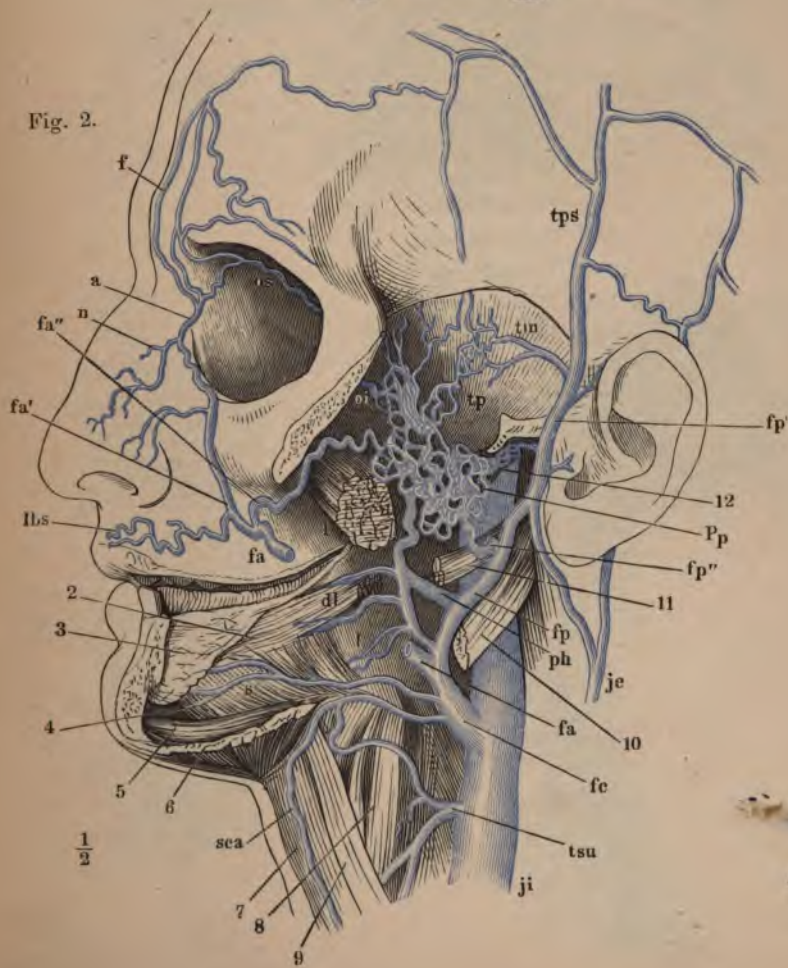


Fig. 2.



- Fig. 1. Schädel und oberer Theil der Wirbelsäule, durch einen Frontalschnitt geöffnet. Hintere Fläche der fibrösen Rückenmarkshaut mit den dieselbe bedeckenden Venenplexus und deren Communicationen mit den Plexus vertebr. cervic. und den Plexus dorsales.
- Fig. 2. Vordere Wand des durch einen Frontalschnitt geöffneten obersten Theils der Wirbelhöhle nach Entfernung des Rückenmarks und seiner Hüllen. Plexus spinal. ant. 1 Hinterhaupt. 2 Erster Brustwirbel.
- Fig. 3. Medianschnitt des Hinterhaupts und der Halswirbelsäule. Venenplexus der Wirbelhöhle und deren Zusammenhang mit den Sinus der Schädelhöhle.

<i>bv</i>	V. basivertebralis.
<i>cvp</i>	V. cervic. prof.
<i>oc</i>	V. occipit.
<i>Pb</i>	Plexus basilaris.
<i>Pld</i>	Plexus dorsalis.
<i>Pp</i>	Plexus pterygoid.
<i>Ps</i>	Plexus spinal. post.
<i>Pv</i>	Plexus vertebr. cervic.
<i>So</i>	Sinus occipit.
<i>sp'</i>	R. spinalis.
<i>Sp s</i>	Sinus petros. sup.
<i>S s s</i>	Sinus sagitt. sup.
<i>St</i>	Sinus tentorii.
<i>Str</i>	Sinus transv.
<i>*</i>	Vordere; hintere und seitliche Verbindungsäste.

Fig. 1.

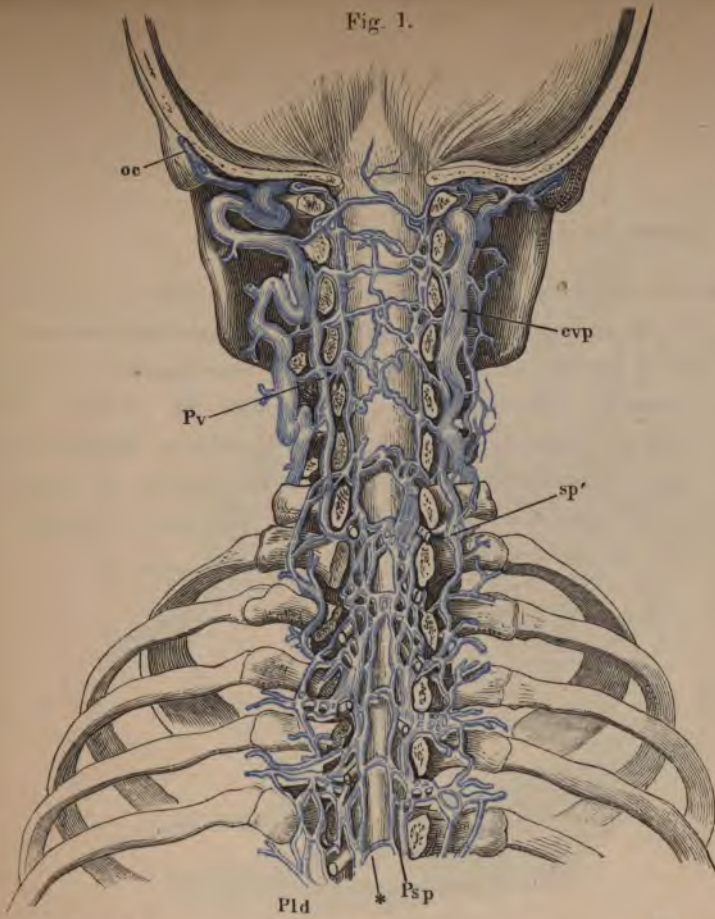


Fig. 2.

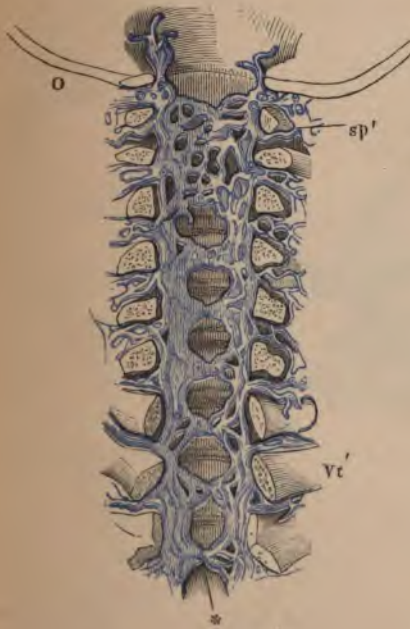


Fig. 3.

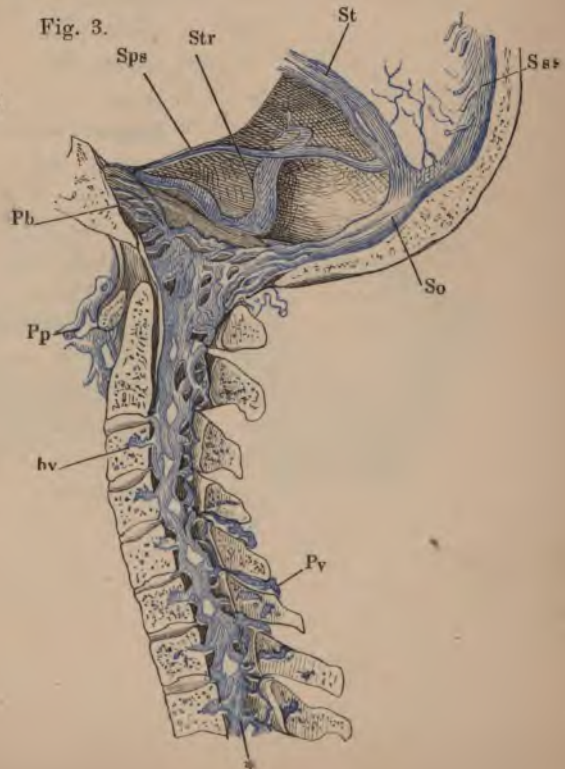


Fig. 1. }
 Fig. 2. } Stämme der V. azygos und hemiazygos.

Fig. 3. Männliches Becken mit injicirten Venen, durch einen an der linken Seite der Schambeinsynchondrose geführten Sagittalschnitt geöffnet. 1 Linkes C. cavernosum penis, am Ursprung abgeschnitten. 2 C. cavernos. uretrae. 3 Durchschnitt des M. obturator int. 4 After. 5 Unterer Theil der horizontal durchschnittenen Harnblase, abwärts geschlagen, um deren rechte Wand zu zeigen. 6 Vas deferens der rechten Seite.

Fig. 4. Venen der inneren weiblichen Genitalien. 1 Uterus. 2 Ovarium. 3 Oviduct. 4 Lig. ovarii.

<i>Aid</i>	V. anonyma iliaca dextra.
<i>Ais</i>	V. anonyma iliaca sin.
<i>Cd</i>	V. cruralis dextra.
<i>ci</i>	V. cava inf.
<i>dp</i>	V. dorsalis penis.
<i>ei</i>	V. epigastr. inf.
<i>g</i>	V. glutea.
<i>Hd</i>	V. hypogastr. dextra.
<i>Is</i>	V. hypogastr. sin.
<i>isc</i>	V. ischiadica.
<i>o</i>	V. obturatoria.
<i>Ppi</i>	Plexus pubicus impar.
<i>prp</i>	V. profunda penis.
<i>pui</i>	V. pudenda int. dextra, <i>pui'</i> V. pudenda int. sin.
<i>Pvs</i>	Plexus vesicalis.
<i>sl</i>	V. sacralis later.
<i>sm</i>	V. sacra media.
<i>spi</i>	V. spermat. int.
<i>ut</i>	V. uterina.

Fig. 1.



Fig. 3.

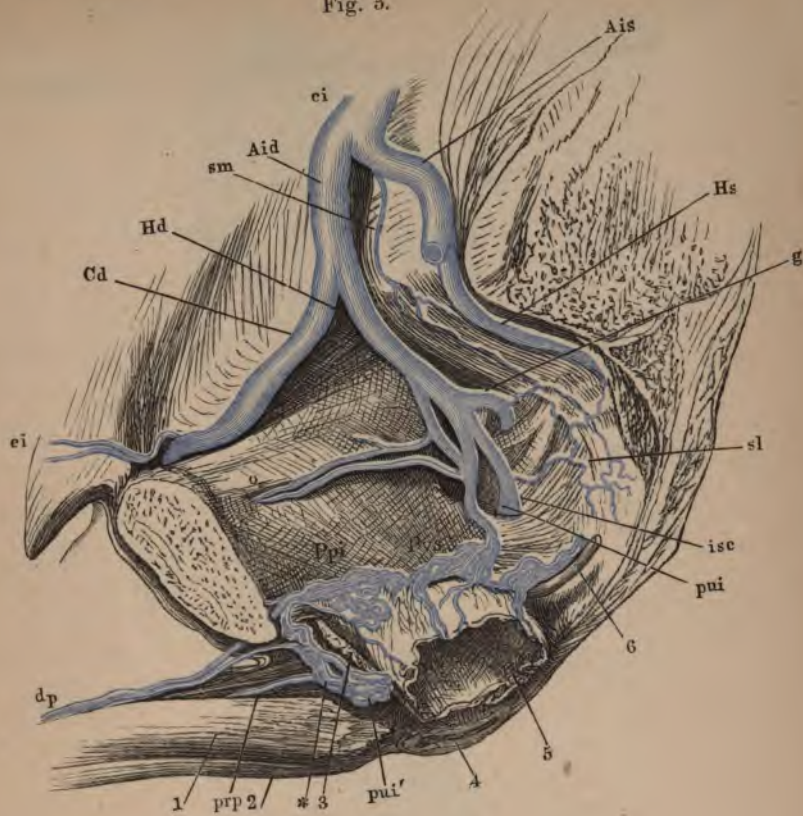
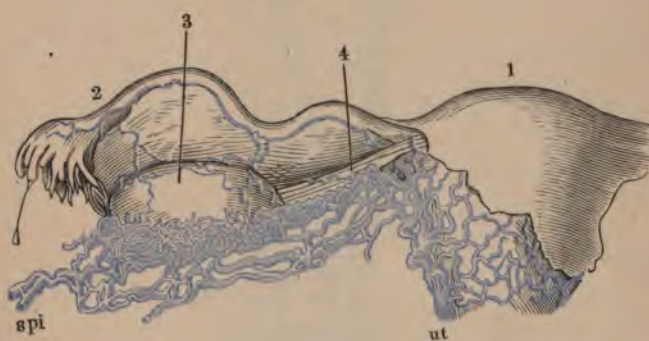


Fig. 2.



Fig. 4.



Mediale Fläche der unteren Extremität mit den subcutanen Venen.

C V. cruralis.
pl V. plantaris.
Rd Rete dorsale pedis.
sam V. saphena magna.
sap V. saphena parva.



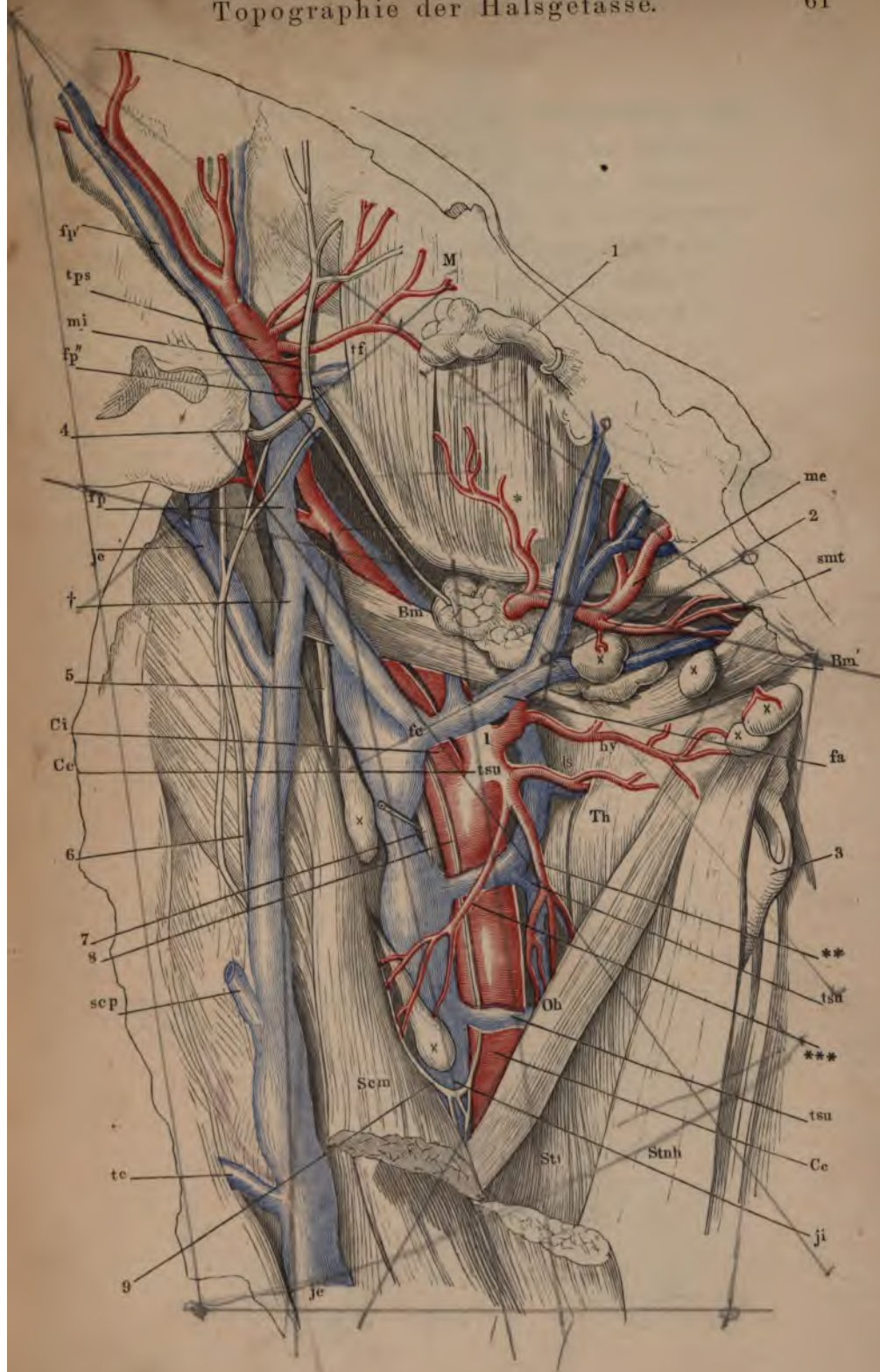
Leber und Magen aufwärts umgelegt, das Colon transversum ausgeschnitten.

1 Leber. 2 Gallenblase. 3 Magen, hintere Fläche. 4 Pancreas. 5 Milz.

6 Duodenum. 7 Dünndarm. 8 Coecum. 9 Colon dextr. 10 Colon sinistr.

11 Rectum.

<i>cd</i>	Vv. colicae dextrae.
<i>csi</i>	V. colica sin.
<i>cv</i>	V. coronaria ventriculi.
<i>cy</i>	V. cystica.
<i>gb</i>	Vv. gastricae breves.
<i>ged</i>	V. gastro-epiploica dextra.
<i>ges</i>	V. gastro-epiploica sin.
<i>hi</i>	V. haemorrh. int.
<i>i</i>	Rr. intestinales.
<i>li</i>	V. lienalis.
<i>mei</i>	V. mesenterica inf.
<i>mes</i>	V. mesenterica sup.
<i>vp</i>	V. portarum.



[REDACTED]

[REDACTED]

100

100

100
100
100
100
100

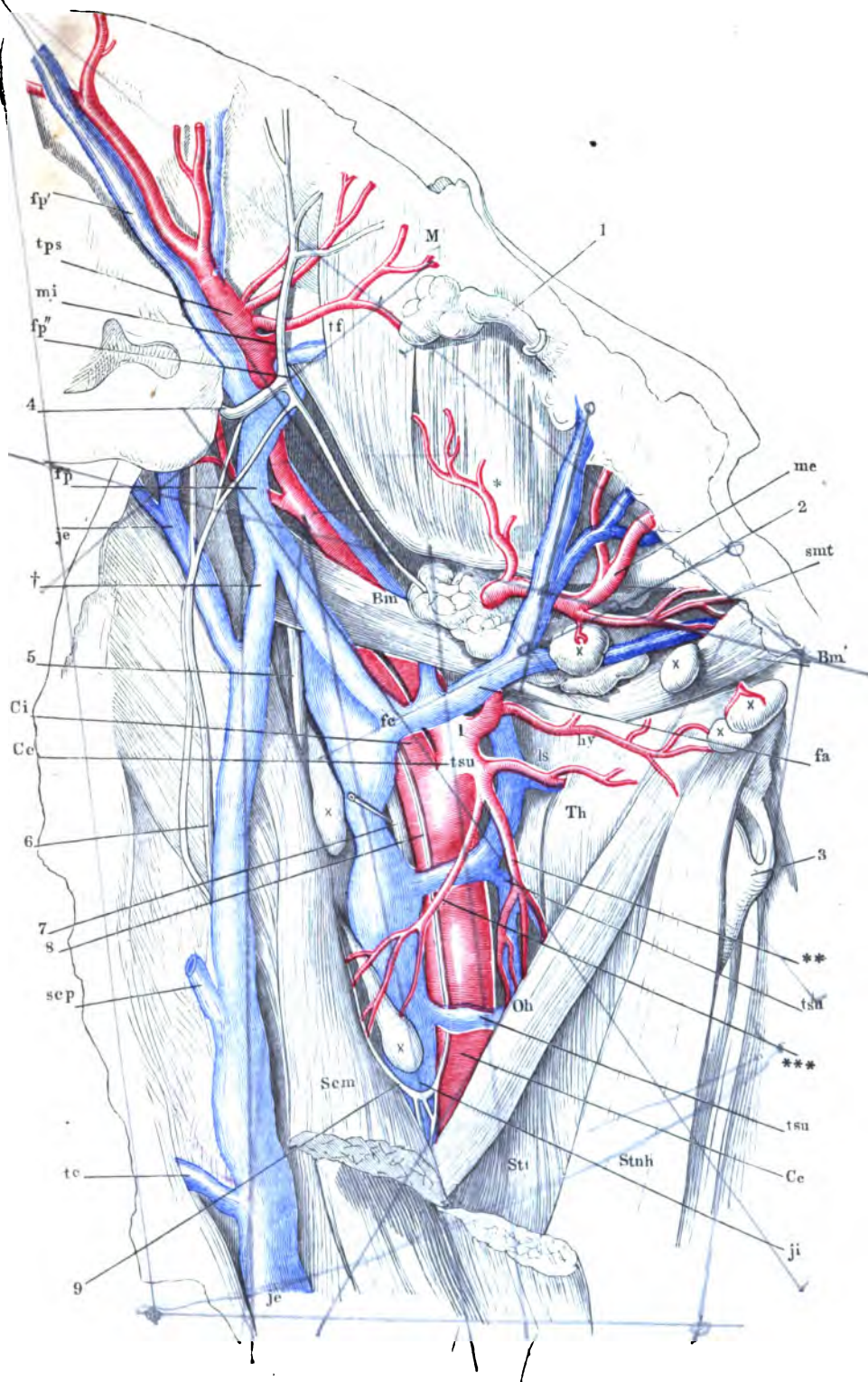


Fig. 1. Fossa supraclavicularis nach Entfernung der Haut mit dem *M. subcutaneus colli* und dem oberflächlichen Blatte der *Fascia cervicalis*. 1 Plexus brachialis. 2, 2 Nn. supraclaviculares.

Fig. 2. Horizontalschnitt des Thorax durch den Körper des zweiten Brustwirbels, obere Fläche nach Entfernung der Pleura. 1 Sternoclaviculargelenk. 2 *N. vagus*. 3 Trachea. 4 Oesophagus im Querschnitt. 5 Grenzstrang des *N. sympath.* 6 *Ggl. cervicale inf.*

<i>Ab</i>	<i>V. anonyma brachiocephal.</i>
<i>C</i>	<i>A. carotis comm.</i>
<i>C¹, C²</i>	erste, zweite Rippe.
<i>c⁸</i>	<i>N. cervicalis VIII.</i>
<i>cpr</i>	<i>A. cervic. prof.</i>
<i>d¹, d²</i>	<i>N. dorsalis I, II.</i>
<i>is</i>	<i>A. intercost. supr.</i>
<i>je</i>	<i>V. jugularis ext.</i>
<i>ii</i>	<i>M. intercost. int.</i>
<i>mmi</i>	<i>A. mammaria int.</i>
<i>Oh</i>	<i>M. omohyoid.</i>
<i>S</i>	<i>A. und V. subclavia.</i>
<i>Sca</i>	<i>M. scalenus ant.</i>
<i>Scm</i>	<i>M. sternocleidomast.</i>
<i>Scmd</i>	<i>M. scalenus medius.</i>
<i>tc</i>	<i>A. und V. transv. colli.</i>
<i>Tr</i>	<i>M. trapezius.</i>
<i>ts</i>	<i>A. und Vv. transv. scapulae.</i>
<i>v</i>	<i>A. vertebralis.</i>
<i>Vt²</i>	Körper des zweiten Brustwirbels.

Fig. 1.

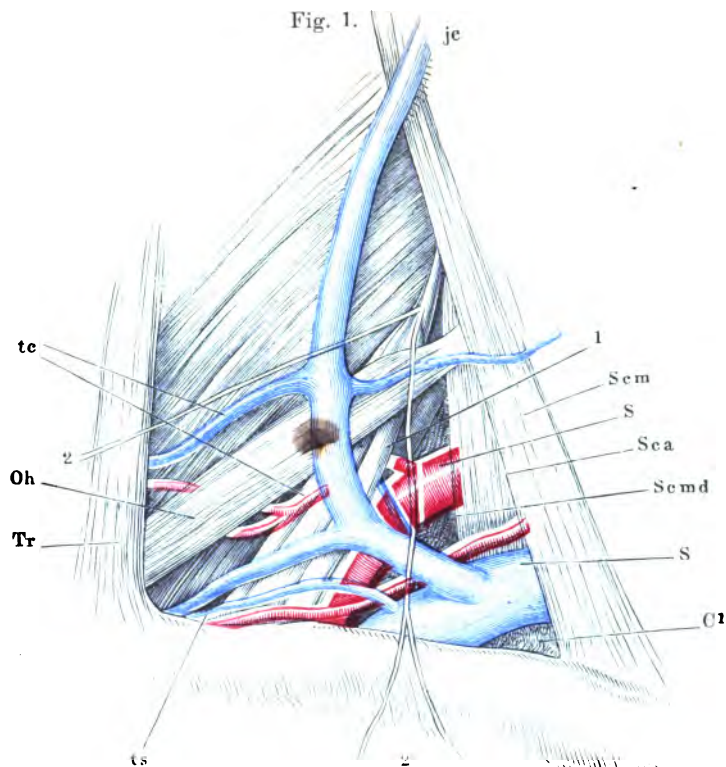


Fig. 2.

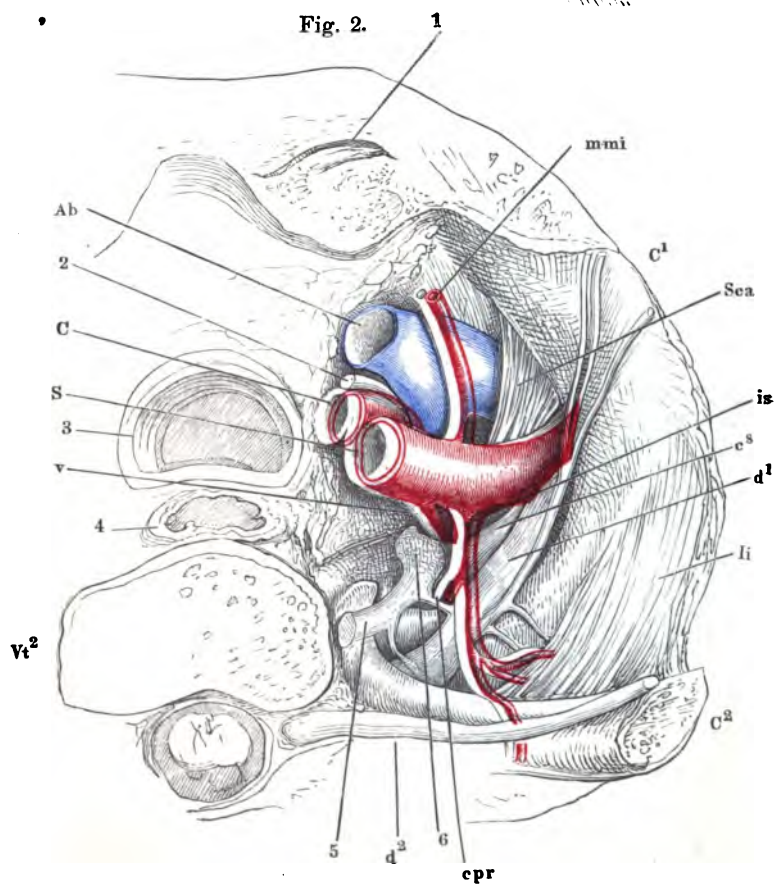


Fig. 1. Lage der Gefäße und Nerven in der Achselgrube bei erhobenem Arm.

1 N. cutaneus medial. 2 N. cutaneus later. 3 N. cutaneus medius.
4 N. medianus. 5 N. ulnaris. 6 N. subscapularis. 7 R. perforans
des N. intercost. II.

Fig. 2. Oberarm, vordere Fläche. Die Fascie ist über der Mitte des M. biceps

der Länge nach gespalten und zur Seite gezogen. 1 N. cutaneus
medial. 2 N. cutaneus medius. 3 N. medianus. 4 N. cutaneus later.

<i>Al</i>	M. anconeus long.
<i>Ax</i>	A. und V. axillaris.
<i>bas</i>	V. basilica.
<i>Bb</i>	M. biceps caput br.
<i>Bi</i>	M. brachialis int.
<i>Bl</i>	M. biceps cap. long.
<i>Cb</i>	M. coracobrachialis.
<i>chp</i>	A. und V. circumflexa humeri post.
<i>csc</i>	A. und V. circumflexa scapulae.
<i>Ld</i>	M. latiss. dorsi.
<i>Pmj</i>	M. pectoralis maj.
<i>Sa</i>	M. serrat. ant.
<i>ss</i>	A. und V. subscapular.
<i>thl</i>	A. und V. thorac. longa.
<i>Tmj</i>	M. teres maj.
*	Lymphdrüse.

Fig. 2.

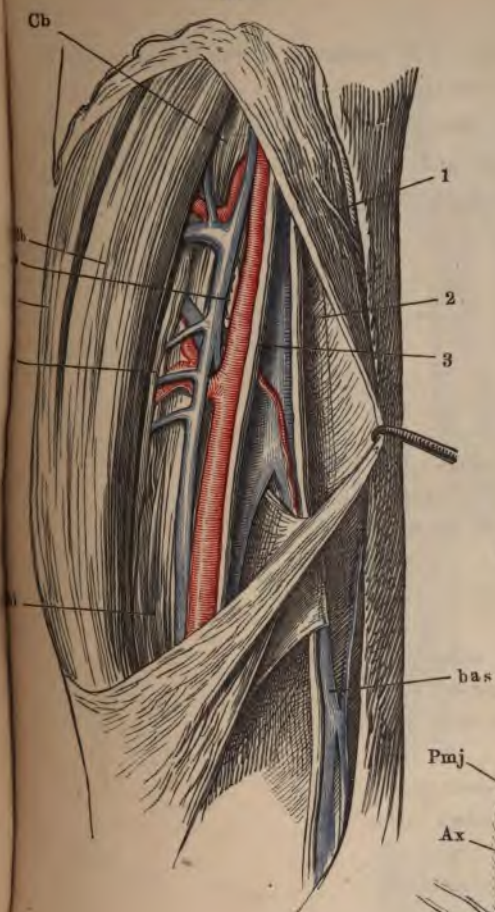


Fig. 1.

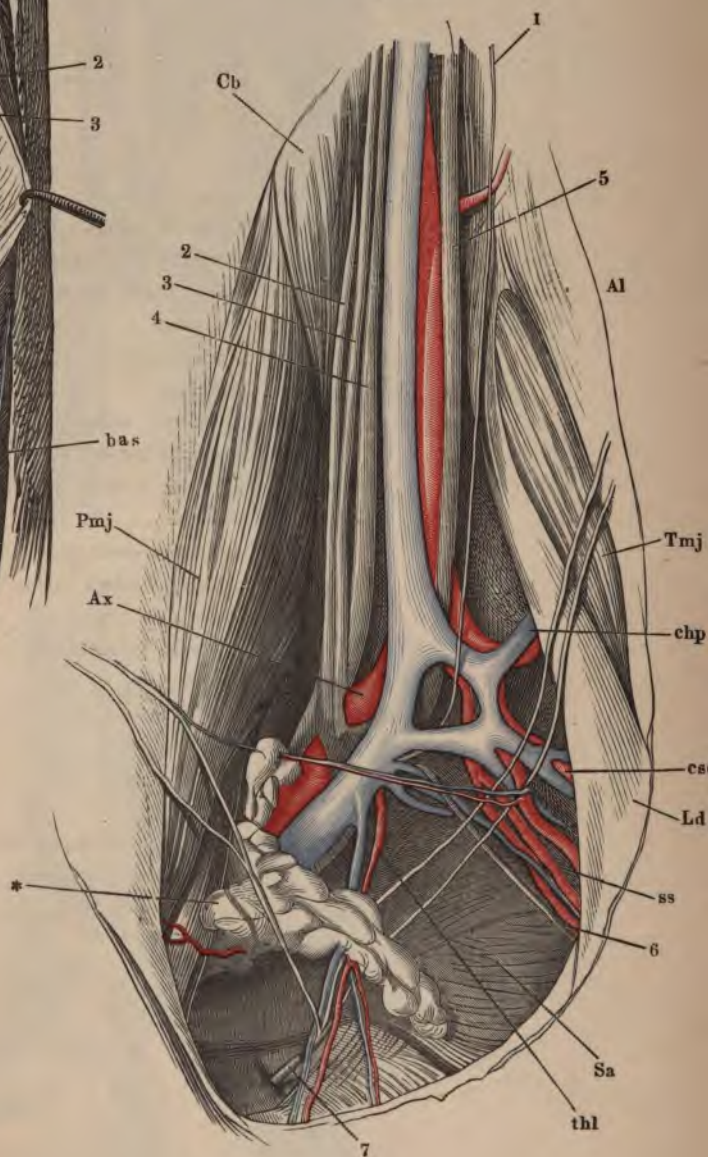
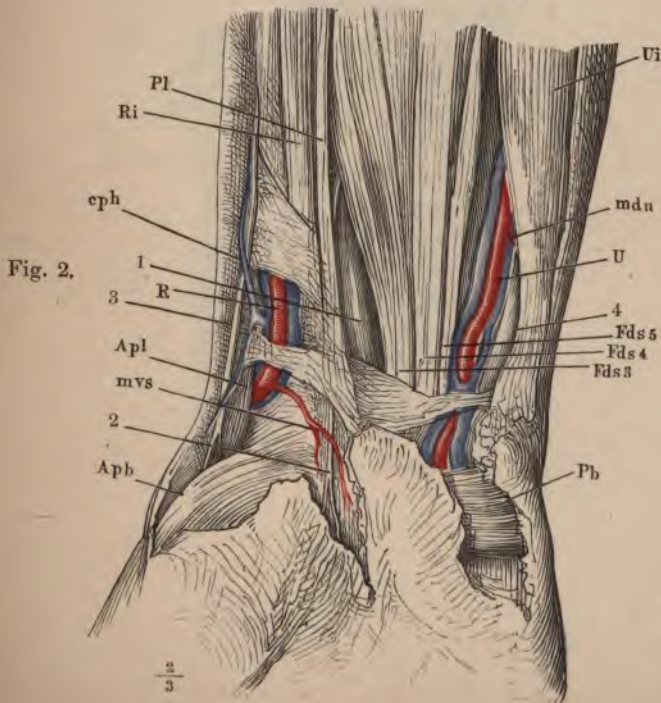
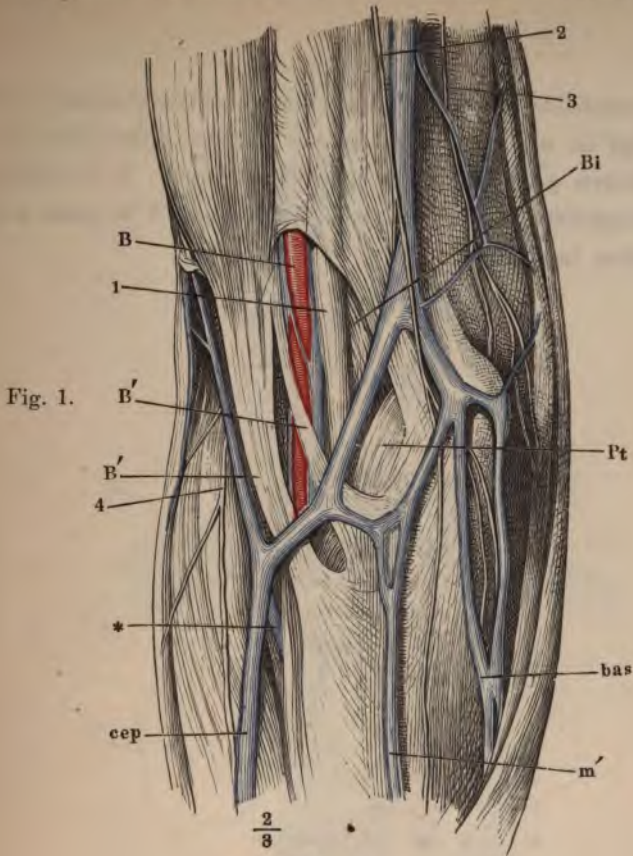


Fig. 1. Ellenbogenbeuge, vordere Fläche. 1 N. median. 2 und 3 Aeste des N. cutaneus medius. 4 N. cutaneus later.

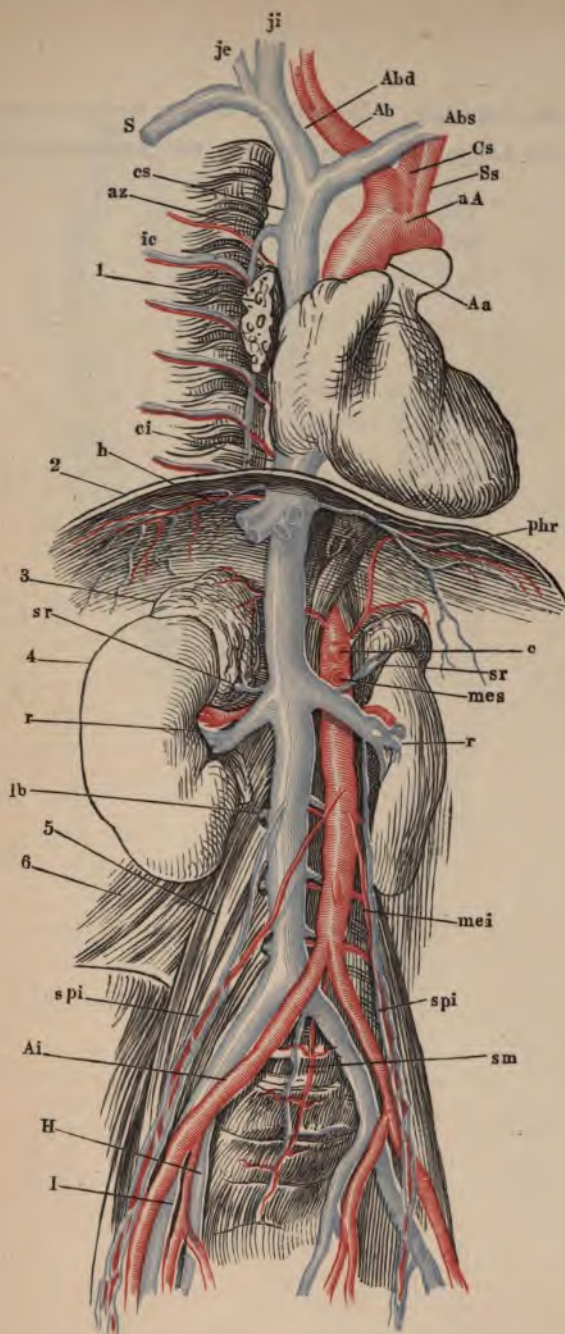
Fig. 2. Vorderfläche des Handgelenks. Die Fascie ist bis auf einen schmalen Streifen über den Aa. radialis und ulnaris entfernt. 1 N. medianus. 2 Hautast desselben. 3 N. radialis. 4 N. ulnaris.

-
- Apb* M. abductor poll. br.
ApI Sehne des M. abductor poll. long.
B A. brachialis u. Vv. brach. proff.
B'B' Oberflächl. Sehne des M. biceps.
bas V. basilica.
Bi M. brachial. int.
cep V. cephalica.
cph Ein mit der V. radial. prof. communicirender Ast der V. cephal.
Fds³⁻⁵ Sehnen des M. flexor dig. subl.
m' V. mediana.
mdu A. metacarpea dorsi uln.
mvs A. metacarpea volaris sublim. rad.
Pb M. palmaris br.
Pl Sehne des M. palmaris long.
Pt M. pronator teres.
R A. und Vv. radial.
Ri M. radialis int.
U A. und Vv. ulnares.
Ui M. ulnaris int.
*** Anastomose der oberflächl. und tiefen Venen des Unterarms.



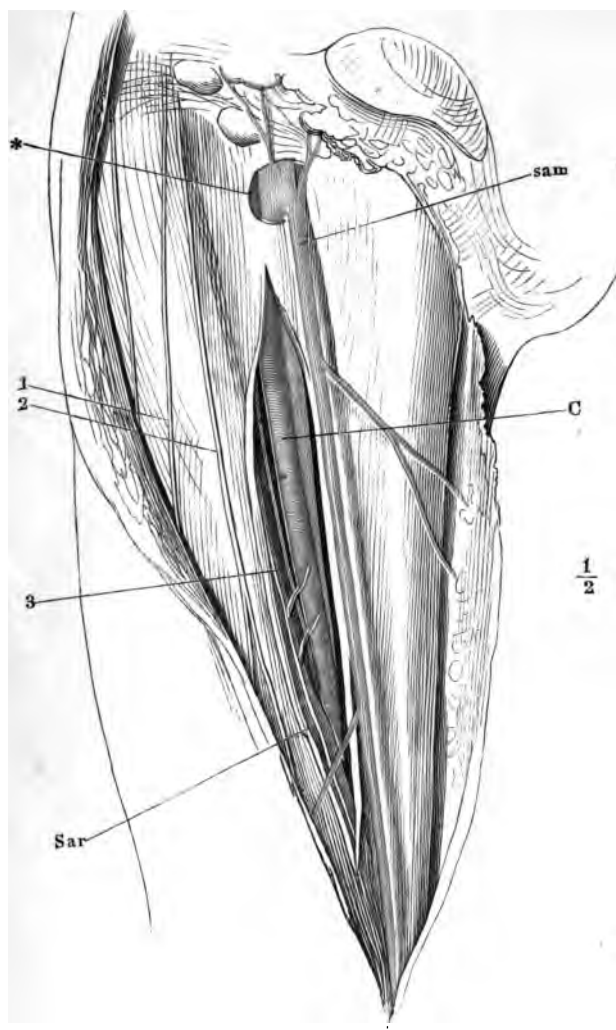
Brust- und Bauchhöhle geöffnet. Lungen und Verdauungsorgane entfernt. Der Rumpf ist um seine verticale Axe mit der linken Seite um Weniges rückwärts gedreht. 1 Rechte Lungenwurzel. 2 Zwerchfell, frontal durchschnitten. 3 Nebenniere. 4 Niere. 5 M. psoas maj. 6 M. quadrat. lumborum.

<i>Aa</i>	Aorta adscend
<i>aA</i>	Arcus aortae.
<i>Ab</i>	A. anon. brachiocephal.
<i>Abd</i>	V. anon. brachiocephal. dextra.
<i>Ab s</i>	V. anon. brachiocephal. sin.
<i>Ai</i>	A. und V. anonyma iliaca.
<i>az</i>	V. azygos.
<i>c</i>	A. coeliaca.
<i>ci</i>	V. cava inf.
<i>Cs</i>	A. carotis sin.
<i>cs</i>	V. cava sup.
<i>H</i>	A. und V. hypogastr.
<i>I</i>	A. und V. iliaca.
<i>ic</i>	V. intercostalis.
<i>je</i>	V. jugularis ext.
<i>ji</i>	V. jugularis int.
<i>h</i>	Vv. hepat.
<i>lb</i>	V. lumbalis.
<i>mei</i>	A. mesenter inf.
<i>mes</i>	A. mesenter sup.
<i>p hr</i>	A. und V. phren.
<i>r</i>	A. und V. renalis.
<i>S</i>	V. subclavia.
<i>sm</i>	A. und V. sacralis media.
<i>spi</i>	A. und V. spermat. int.
<i>sr</i>	V. suprarenalis.
<i>Ss</i>	A. subclavia sin.



Vordere Fläche des Schenkels. Die Fascie an der medialen Seite des *M. sartorius* der Länge nach eingeschnitten und zurückgeschlagen.

-
- | | |
|--------|--|
| 1 u. 2 | Nn. cutanei antt. |
| 3 | N. saphenus. |
| C | A. cruralis. |
| sam | V. saphena magna. |
| Sar | M. sartorius. |
| * | Incisura falciformis des oberflächl. Blattes der Fascie. |



Kniekehle, Haut und Fascie zurückgeschlagen.

-
- | | |
|------------|------------------------------|
| 1 | N. tibial. |
| 2 | Ast desselben zum M. soleus. |
| 3 | N. communicans tibial. |
| 4 | N. peroneus. |
| 5 | N. communicans peroneus. |
| <i>Bff</i> | M. biceps femoris. |
| <i>Gal</i> | M. gastrocnemius later. |
| <i>Gam</i> | M. gastrocnemius medial. |
| <i>Po</i> | A. und V. poplitea. |
| <i>sam</i> | Zweige der V. saphena magna. |
| <i>sap</i> | V. saphena parva. |
| <i>sul</i> | A. und V. surales later. |
| <i>sum</i> | A. und V. surales medial. |

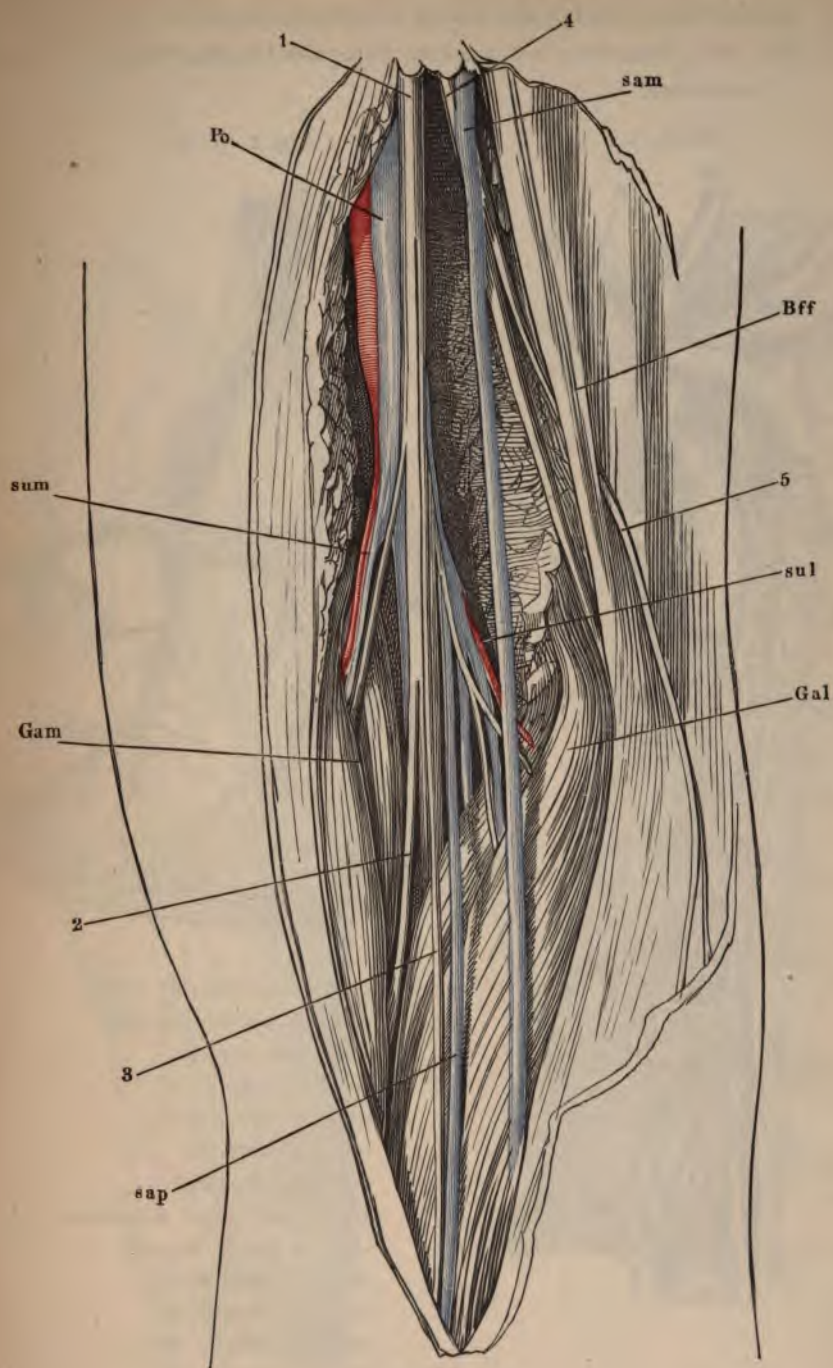
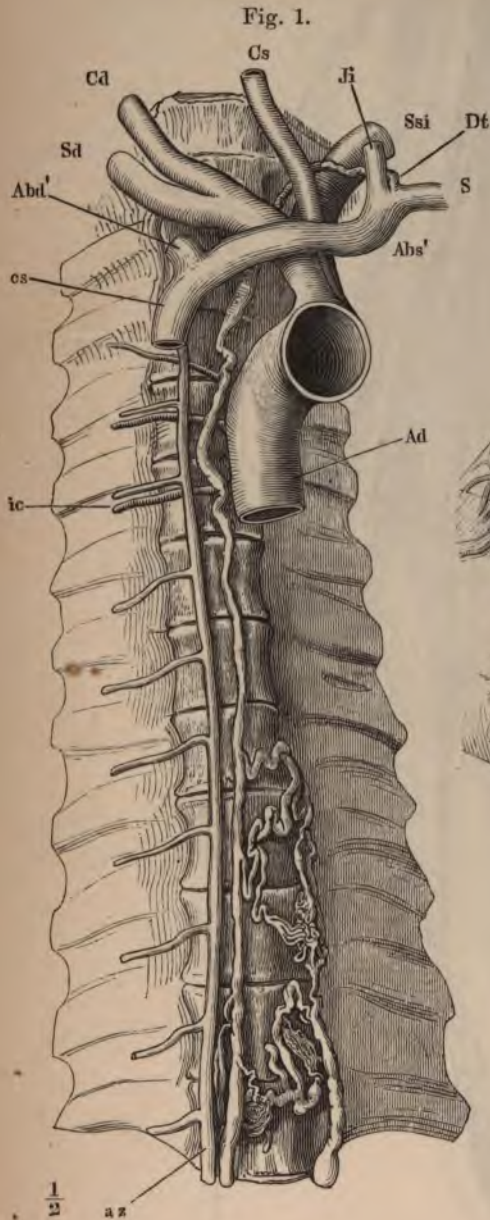


Fig. 1. Ductus thoracicus, bis zum achten Brustwirbel doppelt.

Fig. 2. Ein Stück Dünndarm mit injicirten Blut- und Lymphgefäßen. * Mesenterialdrüse.



- Abd* V. brachiocephal. dextra.
Abs V. brachiocephal. sin.
Ad Aorta descend.
az V. azygos.
cd A. carotis dextra.
Cs A. carotis sin.
cs V. cava sup.
Dt Ductus thorac. Einmündung.
ic A. und V. intercost.
Ji V. jugularis int.
S V. subclavia sin.
Sd A. subclavia dextra.
Ssi A. subclavia sin.

Fig. 1. Oberflächliche Lymphgefäße des Oberschenkels.

Fig. 2. Tiefe Lymphgefäße des Oberschenkels.

Fig. 1.

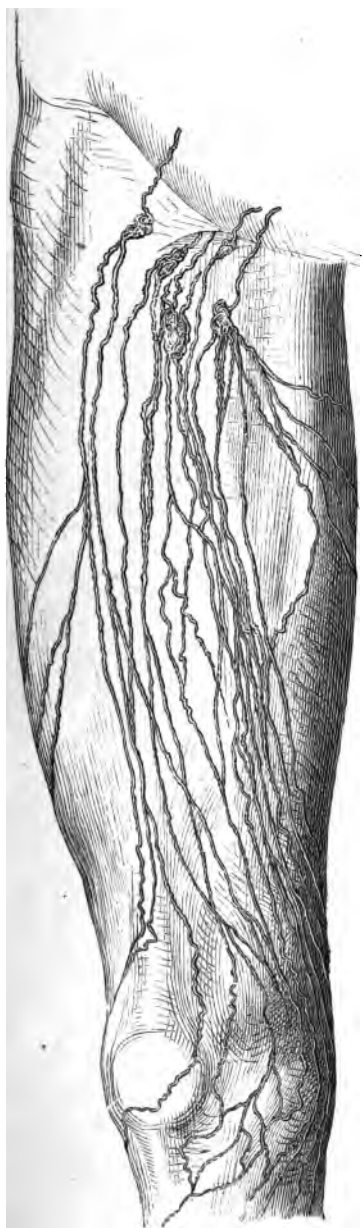
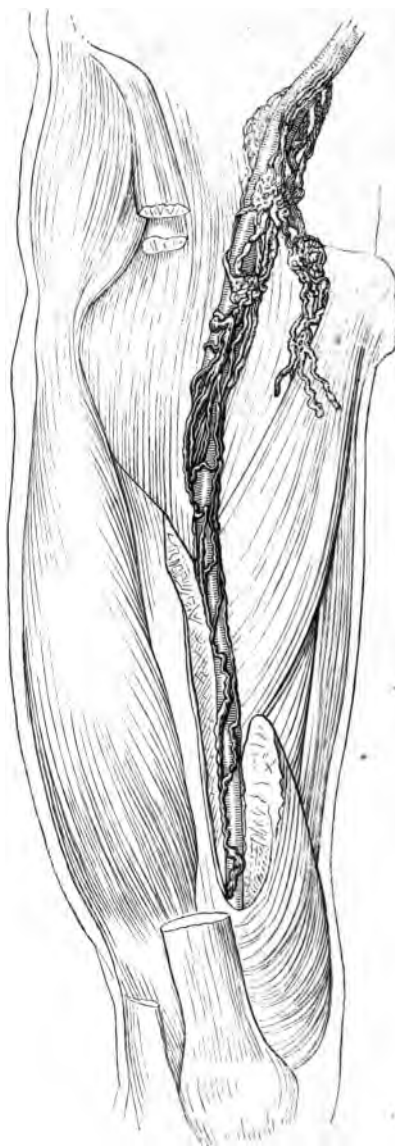
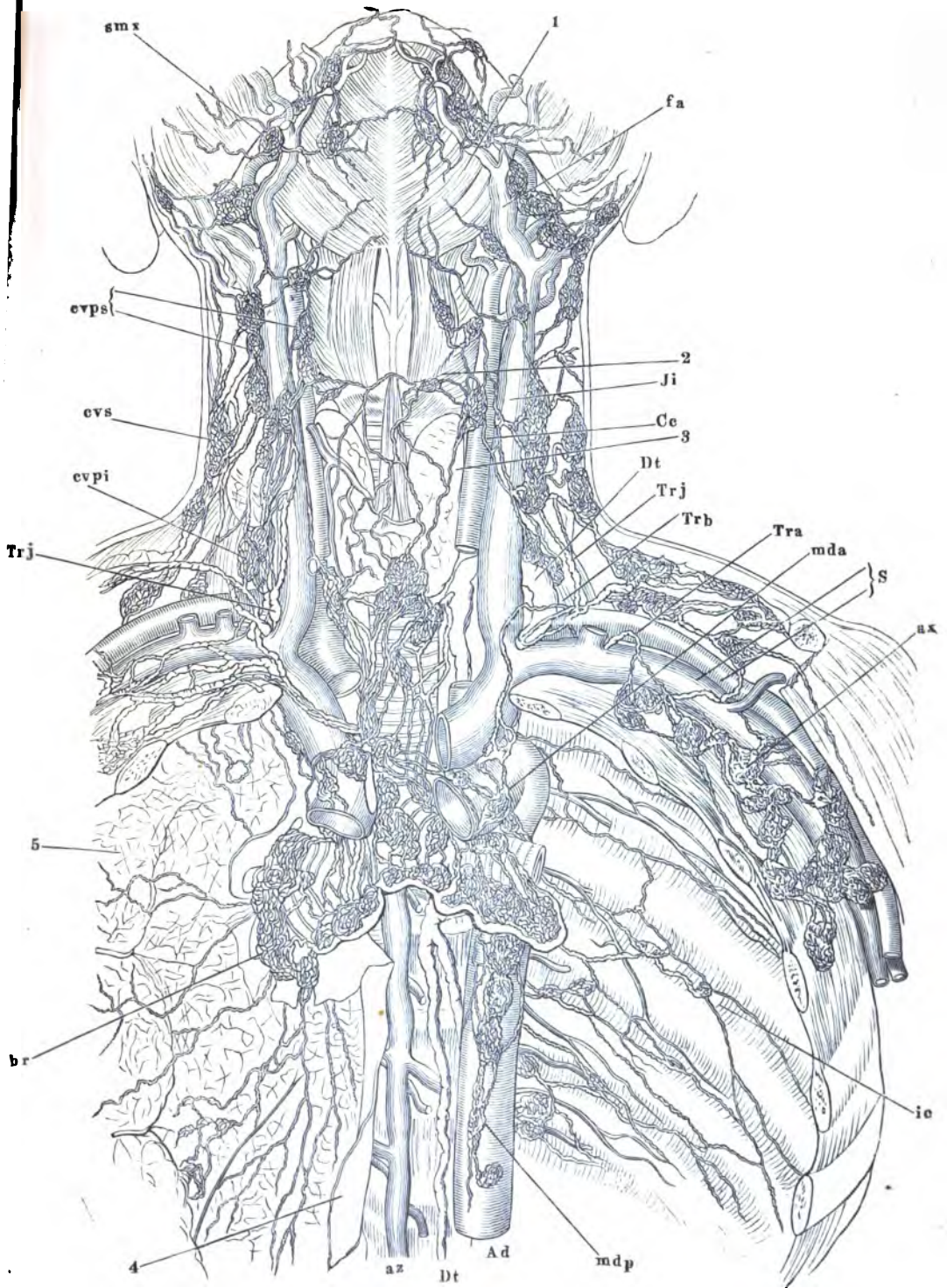


Fig. 2.



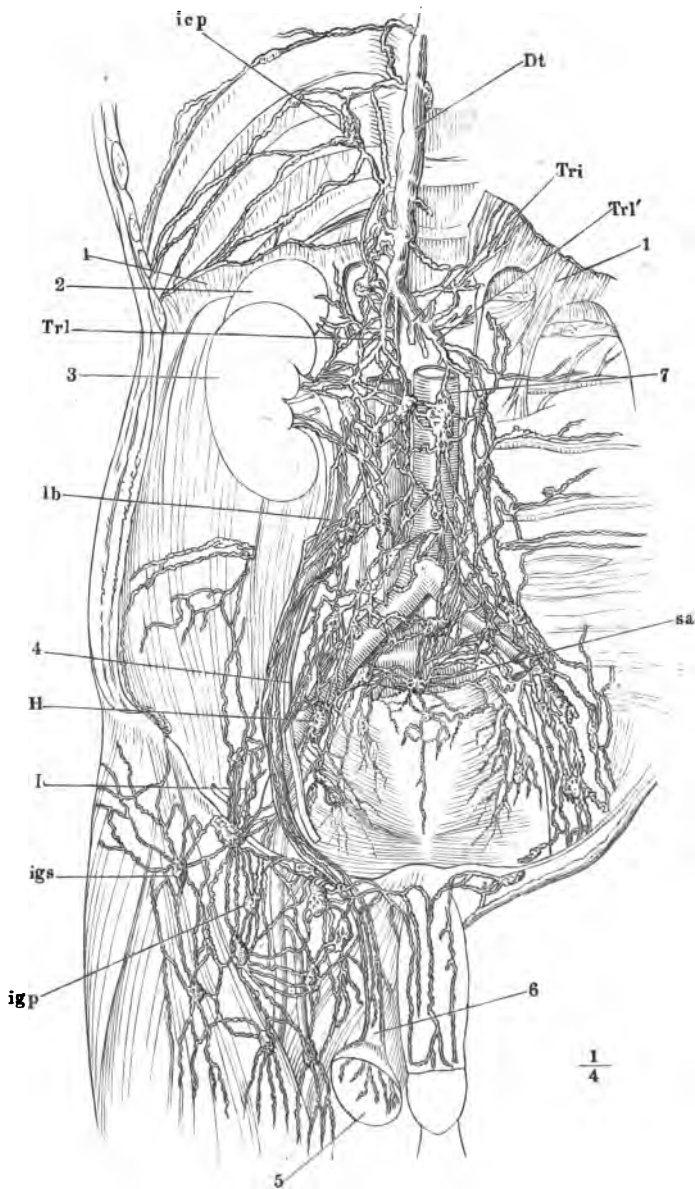
Die Brusthöhle von vorn, weit geöffnet und Lunge und Pleura linkerseits entfernt.

1	M. mylohyoid.
2	M. thyreohyoid.
3	Gland. thyreoid.
4	Rechte Lamelle des hinteren Mediastinum.
5	Lunge mit den oberflächlichen Lymphgefäßen.
<i>Ad</i>	Aorta descend.
<i>ax</i>	Gland. lymphat. axillares.
<i>az</i>	V. azygos.
<i>br</i>	Gland. lymphat. bronchiales.
<i>Cc</i>	A. carotis comm.
<i>cvs</i>	Gland. lymphat. cervic. superfic.
<i>cōpi</i>	Gland. lymphat. cervic. proff. inf.
<i>cōps</i>	Gland. lymphat. cervic. proff. supp.
<i>Dt</i>	Duct. thorac.
<i>fa</i>	V. facial. ant.
<i>ic</i>	Gland. lymphat. intercost.
<i>Ji</i>	V. jugularis int.
<i>mda</i>	Gland. lymphat. mediastinae antt.
<i>mdp</i>	Gland. lymphat. mediastinae postt.
<i>S</i>	A. und V. subclavia (am Uebergange in die V. axillaris).
<i>smx</i>	Gland. lymphat. submaxill.
<i>Tra</i>	Truncus lymphat. axillaris.
<i>Trb</i>	Truncus lymphat. bronchiomedastinus.
<i>Trj</i>	Truncus lymphat. jugularis.



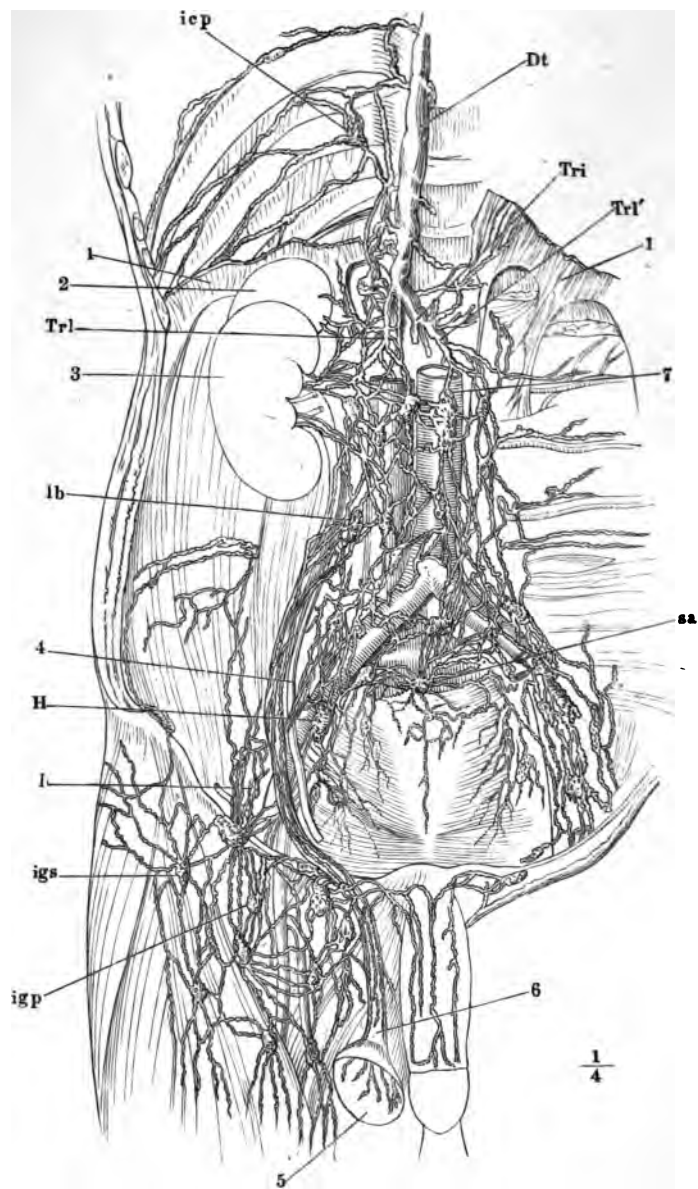
Die Bauchhöhle von vorn geöffnet, der Verdauungsapparat entfernt.

-
- 1 Vertebraltheil des Zwerchfells, über
 seinem Ursprunge abgeschnitten.
 - 2 Nebenniere.
 - 3 Niere.
 - 4 Ureter.
 - 5 Testikel.
 - 6 Samenstrang.
 - Dt* Duct. thorac.
 - H* Gland. lymphat. hypogastr.
 - I* Gland. lymphat. iliacae.
 - icp* Gland. lymphat. intercost. postt.
 - igp* Gland. lymphat. inguin. proff.
 - igs* Gland. lymphat. inguin. superfic.
 - lb* Gland. lymphat. lumbales.
 - sa* Gland. lymphat. sacrales.
 - Tri* Truncus lymphat. intestinalis.
 - Trl* Rechter, *Trl'* linker Truncus lym-
 phat. lumbalis.



Die Bauchhöhle von vorn geöffnet, der Verdauungsapparat entfernt.

-
- 1 Vertebraaltheil des Zwerchiell. über
 seinem Ursprunge abgeschnitten.
 - 2 Nebenniere.
 - 3 Niere.
 - 4 Ureter.
 - 5 Testikel.
 - 6 Samenstrang.
 - Dt* Duct. thorac.
 - H* Gland. lymphat. hypogastr.
 - I* Gland. lymphat. iliacae.
 - icp* Gland. lymphat. intercost. postt.
 - igp* Gland. lymphat. inguin. proff.
 - igs* Gland. lymphat. inguin. superfic.
 - lb* Gland. lymphat. lumbales.
 - sa* Gland. lymphat. sacrales.
 - Tri* Truncus lymphat. intestinalis.
 - Trl* Rechter, *Trl'* linker Truncus lym-
 phat. lumbalis.



LANE MEDICAL LIBRARY

To avoid fine, this book should be returned
on or before the date last stamped below.

--	--	--

E25 Henle, J. Anatomischer
H51 Hand-Atlas.
1874 13607

V.3-4

[illegible]

